

Tanım nedir? Kabarcık kullanarak tespit edilen nadir bir anomali

İbrahim Akpinar¹, Muhammet Rasit Sayin¹, Turgut Karabag¹, Sait Mesut Dogan¹,
Sumru Tanju Sen², Naile Eris Gudul¹, Mustafa Aydin¹

¹Bülent Ecevit Üniversitesi, Tıp Fakültesi, Kardiyoloji Anabilim Dalı, Zonguldak
²Atatürk Devlet Hastanesi, Radyoloji Kliniği, Zonguldak

What is your diagnosis? A rare anomaly detected using bubbles

İbrahim Akpinar¹, Muhammet Rasit Sayin¹, Turgut Karabag¹, Sait Mesut Dogan¹,
Sumru Tanju Sen², Naile Eris Gudul¹, Mustafa Aydin¹

¹Bülent Ecevit University, Faculty of Medicine, Department of Cardiology, Zonguldak
²Ataturk State Hospital, Department of Radiology, Zonguldak

Case: A 60-year-old woman was admitted to our cardiology department complaining of palpitations. She had a rhythm disturbance for the last 5 years and Holter monitoring detected paroxysmal atrial fibrillation. The physical examination was normal except for a 2/6 systolic murmur in the apical and left upper parasternal areas. The electrocardiogram showed normal sinus rhythm and her heart rate was 72 beats/min. The transthoracic echocardiogram revealed normal left ventricular systolic function, with mild mitral and tricuspid regurgitation. There was no significant enlargement of the cardiac chambers. Her systolic pulmonary pressure was 30 mmHg and color Doppler echocardiography revealed no defect in the interatrial-interventricular septum. A significantly dilated coronary sinus (2.2 cm in diameter) was detected in the atrioventricular groove. Suspecting a persistent left superior vena cava, a bubble study with agitated saline was performed via the left antecubital vein (Figure 1). First, the bubbles filled the coronary sinus and then the right cardiac chambers. The bubbles filled both atria simultaneously via the right antecubital vein before the ventricles (Figure 2). Transesophageal echocardiography was recommended, but the patient refused. Magnetic resonance imaging (MRI) was performed.

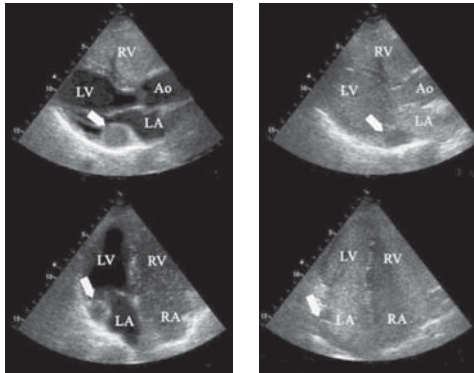
MRI: After the patient was administered a contrast agent simultaneously in both arms, absence of the left innominate vein was detected, in addition to the persistent left superior vena cava. The right superior vena cava was found to be associated with both atria via an atrial septal defect (ASD) located in the superior interatrial septum (Figure 3, arrow). There was no significant shunt in the echocardiographic assessment ($Qp/Qs = 1.4$). Follow up with medical treatment was planned.

Discussion: Although a persistent left superior vena cava (PLSVC) is not encountered often on echocardiography, it is the most common congenital anomaly of the venous return in the thorax. Resulting from the failure of left anterior cardinal vein regression during the intrauterine period, a PLSVC is characterized by dilatation of the coronary sinus (CS). In its isolated form, the PLSVC drains into the right atrium via the CS, but rarely into the left atrium.

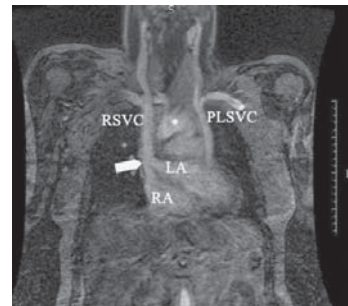
A contrast study with agitated saline should be performed in both arms because a PLSVC may be associated with other venous return anomalies.

If we observe many bubbles in the left cardiac chambers in addition to the right chambers in a saline study via the right arm, further evaluations are required, such as transesophageal echocardiography, computed tomography, and MRI. Finally, the accurate detection of such significant anomalies of the venous return in patients with a dilated coronary sinus is of vital importance for preventing complications during pacemaker implantation and central venous catheterization.

Diagnosis: A persistent left superior vena cava, absence of the innominate vein, and atrial septal defect



Transthoracic echocardiographic images. When the agitated saline was given via the right antecubital vein, bubbles were detected throughout the heart, indicating a right to left shunt. Parasternal long-axis and apical four-chamber view of the heart; LA, left atrium; LV, left ventricle; RA, right atrium; RV, right ventricle; Ao, aorta. (CS:arrow)



Magnetic resonance imaging of the persistent left superior vena cava (PLSVC) shows the absence of the left innominate vein(*), and the right superior vena cava(RSVC) connected with both atria via the atrial septal defect (ASD; arrow).

S-104

Yünsü saç ve el ve ayaklarda hiperkeratozun eşlik ettiği nadir bir kardiyomiyopati nedeni

Hasan Kaya¹, Mustafa Oylumlu¹, Faruk Ertaş¹, Murat Yüksel¹, Mehmet Guli Çetinçakmak², Mesut Aydin¹, Mehmet Ata Akıl¹, Mehmet Siddik Ülgen¹

¹Dicle Üniversitesi Tıp Fakültesi, Kardiyoloji Anabilim Dalı, Diyarbakır

²Dicle Üniversitesi Tıp Fakültesi, Radyoloji Anabilim Dalı, Diyarbakır

S-104

Naxos disease: an unusual cause of cardiomyopathy with woolly hair and palmoplantar hyperkeratosis

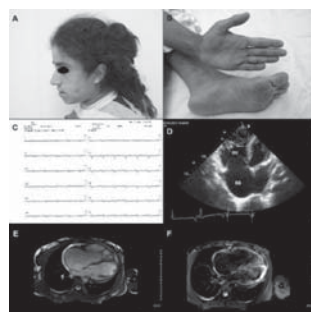
Hasan Kaya¹, Mustafa Oylumlu¹, Faruk Ertaş¹, Murat Yüksel¹, Mehmet Guli Çetinçakmak², Mesut Aydin¹, Mehmet Ata Akıl¹, Mehmet Siddik Ülgen¹

¹Dicle University, Faculty of Medicine, Department of Cardiology, Diyarbakır

²Dicle University, Faculty of Medicine, Department of Radiology, Diyarbakır

Case: A 23-year-old female presented with progressive dyspnea. On physical examination, her blood pressure was 110/70 mmHg and pulse rate was 75/min. On auscultation, a gallop rhythm and basilar rales were detected. She had wooly hair and palmoplantar hyperkeratosis which were present from childhood (Panel A and B). The electrocardiogram showed sinus rhythm with low voltage, flat T waves in V1-V3 and inverted T waves in V4-V6 (Panel C). No epsilon waves were found. The 24-hour Holter ECG did not reveal any arrhythmia. There was severe cardiomegaly on the chest X-ray. Echocardiography revealed severe right atrial and right ventricular dilatation with trabecular configuration, global hypokinesia of both ventricles with a left ventricular ejection fraction of 23% (Panel D). Cardiac magnetic resonance imaging showed dilatation and hypokinesia of both ventricles and trabecular disarray of the right ventricular myocardium in T2 weighted images (Panel E). On late-enhancement imaging, a transmural contrast enhancement of the left ventricular apex and free wall observed in T1-weighted SPIR images, which actually corresponds to a region of fibrosis and inflammation (Panel F).

The diagnosis of Naxos disease was suggested with wooly hair, palmoplantar keratosis and right ventricular dysplasia. The remaining living members of the family were healthy and did not present this phenotype. The patient was discharged with maximal medical therapy for heart failure.



S-105

Kalp kateterizasyonu sonrası inguinal pansuman: Geleneksel bası uygulamasına karşı transparan film

Rokaia Mohammed Al Shualah

Royal Commision Hospital, JUBAIL-KSA

S-105

Groin dressing post cardiac catheterization: traditional pressure vs transparent film

Rokaia Mohammed Al Shualah

Royal Commision Hospital, JUBAIL-KSA

Introduction: Post cardiac catheterization puncture site care is usually done with a tight pressure dressing in many institutions due to the belief that it should prevent the bleeding. This practice is uncomfortable to the patients. Nurses have also described difficulty in assessing the sheath insertion site in the groin when pressure dressing is in place. A new way of dressing using transparent film dressing (TFD) has approved and rated better with regard to: comfort, less pain, ease of dressing removal, decrease hematoma formation and facilitates nurses assessment of the puncture wound site after femoral sheath removal.

Purpose of the study:

To determine the efficacy of using a small transparent non pressure dressing compared with the traditional controlled pressure dressing applied to the femoral artery puncture wound site to maintain haemostasis following cardiac catheterization procedures.

Material-Method: Design: An experimental design, randomized study.

Setting: King Fahd University Hospital in Khobar, Kingdom of Saudi Arabia (KSA).

Patients: 80 post cardiac catheterization patients were randomized to have their groins dressed either with pressure dressing (N=40) or Transparent Film Dressing (N = 40). Patients ambulated 8 hours after the procedures. Outcome variables were hematoma formation or bleeding, patient discomfort, and nurse-reported ease of observation of the groin puncture site after the procedure. Five instruments were used for data collection: 1) Demographic and medical data sheet, 2) Hematoma Formation and Bleeding Scale, 3) Skin Integrity Scale, 4) Patient Discomfort and Pain Scale & 5) Nurses Ease of Assessment Scale.

Results: There were no significant differences in base line characteristics and medical data between the two groups. 100% in TFD group vs 55% in pressure dressing group reported feeling very comfortable (p value of 0.003). Hematoma formation was equal in the two dressing groups with no incidence of bleeding complications. Nurses rated the ease of assessing the groin significantly higher for TFD than for pressure dressing (p value of 0.000).

Conclusion: Dressing of the puncture site after cardiac catheterization with TFD was more comfortable than the conventional pressure dressing without any difference in hematoma or bleeding complications. So TFD can be used safely and comfortably after achieving hemostasis.

S-106

TAVİ (transkater aort kapak implantasyonu) yapılan hastalarda yaşam kalitesindeki değişiklikler

Ahmet Kara, Çiğdem Uruç, Mujgan Mutlu Alkan, Genco Yücel

VKV Amerikan Hastanesi, Kardiyoloji Bölümü, İstanbul

Giriş: Çalışmamız Amerikan Hastanesinde 24 Mayıs 2009 tarihinden itibaren TAVİ işlemi uygulanan hastaların işlem öncesi ve sonrası yaşam kalitelerindeki değişimi değerlendirmek amacıyla yapılmıştır.**Yöntem:** Çalışan hastaların gereklisi izinler alındıktan sonra gönüllü hastalarla SF 36 Yaşam Kalitesi Ölçeği ve SPSS istatistik programı kullanılarak yapılmıştır. SF 36 cerrahi, ortopedi ameliyatları sonrası ve psikiyatri tedavilerinde gibi hastaların durumlarını değerlendirmek için yaygın olarak kullanılan uluslararası güvenilirliği olan yaşam kalite ölçeridir. Hastalarla işlem öncesi hastaneyeye yattıklarında ve post-op 1. ayda SF 36 yaşam kalitesi formu doldurulmuştur.

TAVİ işlemi yapılan toplam 42 hastanın tamamında işlem başarılı olmasına rağmen, işlem sonrası 1. ay takiplerde ölütm, gelişen komplikasyonlar, hastaya ulaşımama gibi sebeplerden dolayı 8 hasta çalışmaya alınmamıştır.

34 hastanın yaş ortalaması 82 ve hastaların %44'ü (15 hasta) erkektir.

SF 36 anketin bazı soruları ve verilen cevaplar aşağıdadır.

Genel sağlık durumunu değerlendirmeye;

İşlem öncesi işlem sonrası

Mükemmeli 0 8, Çok iyi 0 9, İyi 4 10, Orta 28 7, Küçük 2 0

Geçen yıl ile karşılaştırıldığında sağlığını şu an için nasıl değerlendirdiğiniz?

İşlem öncesi işlem sonrası

Geçen seneden çok daha iyi 0 5, Geçen seneden biraz daha iyi 0 15, Geçen sene ile aynı 12 7

Geçen seneden biraz daha kötü 17 7, Geçen seneden çok kötü 5 0

Günümüz fiziksel aktivitelerde sağlığımızı bunu yaparken sizin sınırlandırmakta mıdır?

İşlem Öncesi

AKTİVİTE Evet, çok kısıtlıyor Evet, çok az kısıtlıyor Hayır, kısıtlamıyor

Pek çok katı çıkmak 22 10 2, Tek katı çıkmak 18 9 7, 1 km'den fazla yürümek 17 12 5

İşlem Sonrası

AKTİVİTE Evet, çok kısıtlıyor Evet, çok az kısıtlıyor Hayır, kısıtlamıyor

Pek çok katı çıkmak 15 17 12, Tek katı çıkmak 5 22 14, 1 km'den fazla yürümek 7 21 12

Geçen 4 hafta içerisinde, fiziksel sağlık veya duygusal problemler, sosyal aktivitelerinize (arkadaş, akraba ziyaret etmek gibi) ne kadar engel oldu?

İşlem öncesi işlem sonrası

Her zaman 5 2, Çoklu zaman 14 8, Çok az zaman 10 16, Hiçbir zaman 5 8

Sonuç: İşlenden önce aktiviteleri kısıtlamalar olan, fiziksel sağlık ve duygusal problemler yaşayan, sosyal aktivitelerinde engelleri olan hastaların işleminden sonra 1. Ay kontrollerinde SF36 ile yapılan değerlendirme çerçevesinde kendilerini daha iyi hissettiler, rahat hareket ettiler, günlük gereksinimlerini yerine getirebildiler, fiziksel sağlık ve duygusal problemlerinde azalmalar ve sosyal aktivitelerinde artış olduğu gözlemlenmiştir. Hastalar kendilerini genellikle daha mutlu oldukları ifade etmişlerdir.

S-107

Koroner anjiyografi uygulanacak hastalara verilen görsel-işitsel eğitimin fizyolojik ve psikososyal parametreler üzerinde etkisiAslı Balçı¹, Nuray Enç²¹Istanbul Üniversitesi İstanbul Tip Fakültesi, Kardiyoloji Anabilim Dalı, İstanbul²Istanbul Üniversitesi Florence Nightingale Hemşirelik Yüksekokulu, İstanbul**Giriş-Amaç:** Koroner anjiyografi, Koroner Arter Hastalığının tanılanması sırasında kullanılan yaygın invaziv bir tanı yöntemidir. Kalbe iliskin görüşmeler, bireylerin ölüm korkusu, yoğun anksiyete ve stres yaşamasına neden olur. Anksiyete ve stresin devam ettiği durumda, geçici miyokart iskemisi, kalp hızında artış, çarpıntı ve göğüs ağrısı gelişebilir. Anksiyetemin en önemli nedenlerinden biri de tani ve tedavi yöntemleri hakkındaki bilgi eksiksliğidir. Çalışmamızın amacı koroner anjiyografi uygulanacak hastalarla işlem öncesi verilecek görsel-işitsel/video eğitiminin fizyolojik (kalp hızı, kan basıncı, solunum sayısı) ve psikososyal (stres, anksiyete, depresyon) faktörler üzerinde etkinliğinin değerlendirilmesidir.**Yöntem:** Çalışmaya ilk kez koroner anjiyografi uygulanan 30 deney (ortalama yaşı: 55,4±10,4 ve %50 kadın, %50 erkek) ve 30 kontrol (ortalama yaşı: 56,9±9,1 ve %46,7 kadın, %53,3 erkek) dahil edildi. Veriler genel bilgi formu ve Depresyon Anksiyete Stres (DASS-42) Ölçeği ile toplandı, işlem öncesi deney grubuna görsel-işitsel/video eğitimi uygulandı. Elde edilen veriler Independent Samples Test, Paired Sample t testi, Kruskal Wallis test, Mann Whitney U test, Wilcoxon işaret testi ile değerlendirildi.**Bulgular:** Deney grubundaki hastaların kalp hızı, sistolik kan basıncı, diastolik kan basıncı, solunum sayısı ortalama değerleri işlem öncesi sırayla (72±10,17/dk, 124,27±18,289 mm/Hg, 72,33±8,790 mm/Hg, 21,17±1,82/dk) iken anjiyografiden sonra, (70,20±9,97/dk, 114,87±14,864 mm/Hg, 65,13±8,689 mm/Hg'ye, 20,13±2,374/dk p<0,05) düştü. Kontrol grubundaki hastaların kalp hızı, sistolik kan basıncı, diastolik kan basıncı, solunum sayısı ortalama değerleri işlem öncesi sırayla (72,73±13,941/dk, 120,83±13,824 mm/Hg, 68,13±10,856 mm/Hg, 20,33±1,749/dk) iken anjiyografiden sonra (76,17±14,201/dk, 127,57±14,352 mm/Hg, 72,20±9,827 mm/Hg, 19,57±1,612 dk p<0,01) yükseldi. Çalışmamızda işlem öncesinde eğitim verilen deney grubundaki bireylerin DAS puanı ortalamalarının işlem sonrasında işlem öncesine göre azaldığı p<0,05, kontrol grubundaki bireylerin ise işlem sonrasında DAS puanı ortalamalarının işlem öncesine göre arttuğu p>0,05 görüldü.**Sonuç:** Koroner anjiyografi ile ilişkin işlem öncesi verilen görsel-işitsel/video eğitiminin, işlem sonrasında fizyolojik ve psikososyal parametreler üzerinde olumlu etkisi olduğu görüldü.

S-106

Changes in the quality of life of the patients who had undergone TAVI (transcatheter aortic valve implantation)

Ahmet Kara, Çiğdem Uruç, Mujgan Mutlu Alkan, Genco Yücel

Department of Cardiology, VKV American Hospital, İstanbul

S-107

The effect of audio-visual education given to coronary angiography patients over physiological and psychosocial parametersAslı Balçı¹, Nuray Enç²¹Department of Cardiology, İstanbul University İstanbul Faculty of Medicine, İstanbul²Istanbul University, Florence Nightingale Hemşirelik Yüksekokulu, İstanbul

S-108

Kardiyak resenkronizasyon tedavisi planlanan hastalarda yüksek ve düşük sol ventrikül pulse amplitude ile biventriküler pacemaker uygulamasının karşılaştırılması

Filiz Akın¹, Sabri Demircan², Halit Zengin², Ali Rıza Erbay², Serkan Yüksel², Korhan Soylu², Murat Meriç², Okan Güle²

¹Kastamonu Devlet Hastanesi, Kardiyoloji Kliniği, Kastamonu

²Ondokuz Mayıs Üniversitesi Tıp Fakültesi, Kardiyoloji Anabilim Dalı, Samsun

Amaç: Bu çalışmada kalp yetmezliğinde etkinliği kanıtlanmış bir tedavi olan kardiyak resenkronizasyon tedavisine yanıt oranının artırılması amacıyla resenkronizasyon tedavisi planlanan hastalarda düşük ve yüksek sol ventrikül pulse amplitude ile biventriküler pacing uygulamasının karşılaştırılması amaçlanmıştır.

Metod: Çalışmaya EF<= %35, QRS süresi >=120msn, optimal medikal tedaviye rağmen NYHA sınıfı III-IV kalp yetmezliği semptomları olan ve kardiyak resenkronizasyon tedavisi planlanan 32 hasta alındı. 1.grubu alınan 16 hastaya yüksek LV pulse amplitude ile biventriküler pacemaker, 2.gruba alınan 16 hastaya düşük LV pulse amplitude ile biventriküler pacemaker tedavisi uygulanmıştır. Hastalar KRT öncesi ve KRT sonrası 3. ayda ve 6/ayda klinik ve ekokardiografik olarak değerlendirildi. Altıncı ayda NYHA sınıfında bir ve daha fazla azalma olması klinik yanıt, sol ventrikül sistol sonu haciminde %15 ve daha fazla azalma olması ekokardiografik yanıt olarak belirlendi.

Bulgular: Hastalar KRT öncesi ve sonrası 6. ayda klinik ve ekokardiografik yanıt açısından değerlendirildiğinde 1. gruptaki hastaların 13'te (%81,25) ekokardiografik yanıt, 15'inde (%92,75) klinik yanıt gözlandı. 2. gruptaki hastaların 12'sinde (%75) ekokardiografik yanıt, 15'inde (%92,75) klinik yanıt gözlandı. Gruplar arasında, hastaların klinik ve ekokardiografik parametreleri KRT öncesi, KRT sonrası 3. ve 6. ayda karşılaştırıldığında NYHA fonksiyonel sınıfı, sol ventrikül ejeksiyon fraksiyonu, sol ventrikül volumleri, pulmoner arter basıncı, mitral kapak fonksiyonları, sağ ve sol ventrikül miyokart performans indeksi değerlerinde istatistiksel olarak anlamlı farklılık saptanmadı. Her iki grupta NYHA sınıfında KRT öncesine göre 3. ve 6. ayda anlamlı düzeye azalma gözlenmiştir. ($p<0,05$) 3.aya göre 6. aydaki NYHA sınıfındaki azalma 1.grupta istatistiksel olarak anlamlı iken ($p<0,05$), 2.grupta bu dönemler arasındaki fark istatistiksel anlamlılık ulaşamamıştır ($p>0,05$). 1.grupta diyalost sona volumdeki ve mitral yetersizliğindedeki azalma 3. ve 6. aylar arasında anlamlıdır. ($p<0,01$ vs. $p<0,01$) 2. grupta bu iki parametredeki azalma istatistiksel anlamlılığa ulaşamamıştır.

Sonuç: Kardiyak resenkronizasyon tedavisine yanıt artırmak için yüksek sol ventrikül pulse amplitude biventriküler pacing tedavisi çalışmamızda değerlendirildi. Gruplar kendi arasında değerlendirildiğinde yüksek sol ventrikül pulse amplitude biventriküler pacing uygulamanın klinik ve ekokardiografik parametreler üzerine daha olumlu etkiyi sahip olduğu saptandı.

S-108

The comparison of low and high left ventricular pulse amplitude biventricular pacing in patients undergoing cardiac resynchronization treatment

Filiz Akın¹, Sabri Demircan², Halit Zengin², Ali Rıza Erbay², Serkan Yüksel², Korhan Soylu², Murat Meriç², Okan Güle²

¹Department of Cardiology, Kastamonu State Hospital, Kastamonu

²Department of Cardiology, Ondokuz Mayıs University Faculty of Medicine, Samsun

S-109

Kardiyak resenkronizasyon tedavisinin kalp yetersizligindeki patogenetik mekanizmalar üzerindeki etkisi: Sistemik inflamasyon, oksidatif stres, ekstraselüler matriks yeniden şekillenmesi, nörohormonal yokluklar, miyosit hasarı ve stresi

Hamza Sunman¹, Adem Özkan², Kudret Aytemir¹, Uğur Canpolat¹, Hikmet Yorgun³, Muhammet Dural¹, Tülin Bayrak², Levent Şahiner¹, Ergün Barış Kaya¹, Asuman Özkar², Lale Tokgözoglu¹, Giray Kabakçı¹, Ali Oto¹

¹Hacettepe Üniversitesi, Kardiyoloji Anabilim Dalı, Ankara

²Hacettepe Üniversitesi, Biyokimya Anabilim Dalı, Ankara

³Develi Devlet Hastanesi, Kayseri

S-109

Effects of cardiac resynchronization therapy on pathophysiological pathways in heart failure: systemic inflammation, oxidative stress, extracellular-matrix remodeling, neurohormonal pathways, myocyte injury and stress

Hamza Sunman¹, Adem Özkan², Kudret Aytemir¹, Uğur Canpolat¹, Hikmet Yorgun³, Muhammet Dural¹, Tülin Bayrak², Levent Şahiner¹, Ergün Barış Kaya¹, Asuman Özkar², Lale Tokgözoglu¹, Giray Kabakçı¹, Ali Oto¹

¹Department of Cardiology, Hacettepe University

²Department of Biochemistry, Hacettepe University

³Develi State Hospital, Kayseri

Background: Successful recanalization of chronic total occlusion (CTO) has been associated with improved left ventricular function, improved survival, relief of angina and increased exercise capacity. We evaluated the changes in cardiac functions and myocardial contractility of patients with CTO by 2-dimensional speckle tracking and real-time three-dimensional echocardiography (RT3DE) at 1 month after successful recanalization of chronic total occlusion.

Method: Twenty-five patients who had successful PTCA of a total occlusion between September 2011 and December 2011 were included in this study (8 left anterior descending, 9 left circumflex, 8 right coronary artery). 2D strain analysis and RT3DE using iE33 (Philips) were performed before and 1 month after procedure. LV ejection fraction (LVEF), LV end-diastolic, end-systolic volumes and 3D systolic dyssynchrony index (SDI) were quantified. SDI was defined as follows:(standard deviation of time to minimal regional volume for 16 segments)×100/RR duration.

Results: Patients had a mean age of 58±11 years, 80% male, mean body mass index 28.6±3.8, 32% diabetes mellitus, 88% hypertension, 96% hyperlipidemia and 12% smoker. 13 patients (52%) had >=2 CCS angina score before procedure, whereas no patients had >=2 angina score after PCI. Mean LVEF increased (55.7±6.9 to 59.9±7.6%; $p<0.001$), end-diastolic volume (76,7±18.1 ml to 69,9±17.4 ml; $p<0.001$) and end-systolic volume decreased significantly (34,6±12.2 ml to 28,4±10.6 ml; $p<0.001$). SDI also decreased significantly (6,8±3.7 to 4.3±3.3%; $p<0.001$). Global longitudinal strain (S: -11.4±2.9 to -12.9±3.1%; $p<0.001$) showed a significant increase.

Conclusion: Successful recanalization of chronic total occlusion improves the functions and contractility of hibernating myocardium by restoring blood flow. Recanalization also improves patients angina class.

Konjestif kalp yetersizliği

S-110

Kalp nakli için bir şans: Ege Üniversitesi, uzun dönem ventrikül destek cihazları ile köprüleme deneyimimiz

Çağatay Engin¹, Tahir Yağdı¹, Sanem Nalbantgil², Yaprak Engin¹, Sinan Erkul¹, Mustafa Özbaran¹

¹Ege Üniversitesi Tip Fakültesi, Kalp Damar Cerrahisi Anabilim Dalı, İzmir

²Ege Üniversitesi Tip Fakültesi, Kardiyoloji Anabilim Dalı, İzmir

Giriş: Donör sayısının giderek düştüğü ülkemiz şartlarında ventrikül destek cihazlarının önemi daha da artmıştır. Türkiye'deki en deneyimli kliniği olarak bu cihazlar yardımıyla kalp nakline başarıyla ulaşırılan hastalarımızın sonuçlarını paylaşmayı amaçladık.

Hastalar-Metod: 2007-2012 yılları arasında kliniğimizde ventrikül destek cihazı sonrası ortotopik kalp transplantasyonu yapılan yaş ortalaması 39,00 olan 3'ü kadın toplam 35 hasta retrospektif olarak değerlendirilmiş. Hastaların büyük bir çoğunlığında (%80, n=28) etiyoloji dilate kardiyomiyopati idi. Üst hasta destek sistemi olarak Heartware, 1 hasta Berlin Heart INCOR ve kalan olgularda ise Berlin Heart EXCOR ventrikül destek sistemleri kullanılmıştır. Bu hastaların %11,42'si (n=4) biventriküler destek altındaydı. Ortalama 213,45 gün olan destek süresi sonunda tüm hastalara ortotopik biatrial kalp transplantasyonu yapıldı. Ortalama kardiyopulmoner baypas süresi 142,31 dakika, ortalama kardiyak iskemi süresi ise 196,94 dakika idi. Postoperatif dönemde 5 hasta sağ ventrikül yetmezliği, 3 hasta kanama nedeniyle reoperasyon, 3 hasta akut böbrek yetmezliği, 3 hasta nörolojik komplikasyonlar, 2 hasta pulmoner komplikasyonlar gelişmiştir. 30 günlük mortalite %17,14'tür. Mortalite nedenleri arasında ilk sırayı enfeksiyon (%66,7, n=6) ve sonrasında sağ ventrikül yetmezliği (%22,2, n=2) almaktadır.

Sonuç: Ventrikül destek cihazı öncesi dönemde bu hastaların büyük bir çoğunluğunun kısa süre içerisinde kaybedildiği göz önüne alındığında mevcut sonuçların oldukça yüz güldürücü olduğunu düşünüyoruz. Özellikle bu olguların geciktirilmeden ve multiorgan yetmezlik gelişmeden implantasyonun gerçekleştirilemesi sonuçları daha da iyileşirecektir.

Congestive heart failure

S-110

The Chance for Heart transplantation: Ege University experience on bridge to transplantation by long term assist devices

Çağatay Engin¹, Tahir Yağdı¹, Sanem Nalbantgil², Yaprak Engin¹, Sinan Erkul¹, Mustafa Özbaran¹

¹Department of Cardiovascular Surgery, Ege University Faculty of Medicine, İzmir

²Department of Cardiology, Ege University Faculty of Medicine, İzmir

S-111

Son dönem kalp yetersizliği cerrahi tedavisinde Ege Üniversitesi deneyimi

Tahir Yağdı¹, Çağatay Engin¹, Sanem Nalbantgil², Yaprak Engin¹, Sinan Erkul¹, Mehdi Zoghi², Mustafa Özbaran¹

¹Ege Üniversitesi Tip Fakültesi, Kalp Damar Cerrahisi Anabilim Dalı, İzmir

²Ege Üniversitesi Tip Fakültesi Kardiyoloji Anabilim Dalı, İzmir

Giriş: Son dönemde kalp yetmezliği birçok kanser türünden daha kötü прогнозa sahip olduğu ve çoğu durumda medikal tedavinin yetersiz kaldığı bilinmektedir. Kalp nakli altın standart tedavi yöntemidir. Ancak uygun donor sıkıntısı halen güncellini korumaktadır. Bu konudaki en önemli çıkış noktaları ventrikül destek sistemleridir. Bu sunuda kalp nakli ve ventrikül destek sistemleriyle ilgili tecrübelerimiz ele alınmaktadır.

Hastalar-Metod: 1998–2012 yılları arasında kliniğimizde son dönem kalp yetmezliği olgularında uygulanan cerrahi tedavi yöntemleri retrospektif olarak değerlendirilmiştir. Toplam 169 hasta ortotopik biatrial kalp transplantasyonu uygulanmıştır. Yüzde sekseni erkek olan bu olguların yaş ortalaması 39,85'tir. Coğulluğu dilate kardiyomiyopati (%73,37 n=124) olan olguların %41,42'si (n=70) daha önce kardiyak cerrahi uygulamış olgulardır. Bekleme listesinde genel durumu kötülüğen 100 olguya ventrikül destek cihazı uygulanmış bunların 35'i kalp nakli şansı bulmuştur. Hastane mortalitesi %14,20 (n=24)'dır. En sık mortalite nedenleri enfeksiyon (%36,36, n=24) ve sağ ventrikül yetmezliğidir (% 18,18, n=12). Mortalitenin en önemli nedenleri preoperatif dönemde kardiyojenik şok ve organ disfonksiyonudur.

Sonuç: Son dönemde kalp yetmezliğinde kalp nakli ve ventrikül destek sistemleri günümüzde alternatiflerine açık üstünüğü olan en seçkin tedavi yöntemleridir. Bu olguların geciktirilmeden ve multiorgan yetmezliği gelişmeden bu tedavi seçeneklerine yönlendirilmesi sonuçların oldukça yüz güldürücü olmasını sağlamaktadır.

S-111

Ege University experience in surgical therapy of end-stage heart failure

Tahir Yağdı¹, Çağatay Engin¹, Sanem Nalbantgil², Yaprak Engin¹, Sinan Erkul¹, Mehdi Zoghi², Mustafa Özbaran¹

¹Department of Cardiovascular Surgery, Ege University Faculty of Medicine, İzmir

²Department of Cardiology, Ege University Faculty of Medicine, İzmir

Konjestif kalp yetersizliği

S-112

İdiyopatik dilate kardiyomiyopati ve optimal standart medikal tedaviye yanıt vermeyen refrakter kalp yetersizliği olan bir hastada immünadsorbsiyon tedavisi

Taner Ulus¹, Yüksel Çavuşoğlu¹, Meltem Olga Akay², Baktash Morrad¹, Mehmet Ali Karatutlu¹, Sayyed Hamed Moghanchizadeh¹

¹Eskişehir Osmangazi Üniversitesi Tip Fakültesi, Kardiyoloji Anabilim Dalı, Eskişehir

²Eskişehir Osmangazi Üniversitesi Tip Fakültesi, Hematoloji Anabilim Dalı, Eskişehir

Amaç: İdiyopatik dilate kardiyomiyopati (DKM) hastalarında kontraktil proteinler, mitokondriyal proteinler, kardiak beta-1 ve muskarinik receptor gibi慈悲lı miyosit proteinlerine karşı çok sayıda otoantikor geliştiğinde bulunmuştur. Yapılan çalışmalar, bu otoantikorların kardiak disfonksiyona katkıda bulundığını göstermiştir. Bu nedenle, idiyopatik DKM'li hastalarda kardiak otoantikorların uzaklaştırılması ventriküler hemodinamik parametreleri iyileştirebilir. Dolaşan antikorlar immünadsorbsiyon yöntemiyle uzaklaştırılabilir. Yakın zamanda sınırlı sayıda idiyopatik DKM hastasında yapılan kontrollü pilot çalışmalar, bu yöntem ile otoantikorları uzaklaştırmannı kardiak fonksiyonları ve yaşam kalitesini iyileştirdiğini, miyokardiyal inflamasyonu azalttığını göstermiştir. Burada, optimal kalp yetersizliği tedavisine dirençi ve immünadsorbsiyon tedavi uygulanan idiyopatik DKM'li bir olguya sunduk.

Yöntem: 41 yaşında DKM'si olan erkek bir hasta merkezimize başvurdu. New York kalp cemiyeti (NYHA) fonksiyonel sınıfı IV, ritim atrial fibrilasyon, ekoka sol ventrikül ejeksiyon fraksiyonu (SVEF) %28 ve sol kalp boşlukları dilatediydi. Koroner anjyografide koroner damarları normal bulundu. Hastaların optimál dozda enjektörün dönütürtüci enzim inhibitörü, beta bloker, diuretik, mineralokortikoid receptor antagonisti, diuretik ve varfarinden oluşan tedaviye rağmen semptomatikti. Kardiak beta-1 receptor otoantikor seviyesi yükseltti. Hastaya ardışık 5 gün boyunca düşük antijeniteye ve immünglobulin G-3 için yüksek spesifikite sahip triptofan kolonları kullanılmış (Immusorba TR-350, Asahi Kasei Kuraray Medical) immünadsorbsiyon tedavi uygulandı. Son seansın ardından infeksiyon komplikasyonları engellemeden amaciyla intravenöz immünglobulin verildi.

Bulgular: Immünadsorbsiyon tedaviden 2 ay sonra hastanın fonksiyonel sınıfı NYHA IV'den NYHA II'ye geriledi ve 6 dakikalık yürüme testinde yürütmenin mesafe 260 metreden 410 metreye çıktı. SVEF %28'den %34'e yükseldi. İlaç, pro-brain natriüretik peptid düzeyi 1240 ng/L'den 849 ng/L'ye, yüksek duyarlılık kardiak troponin düzeyi 0.080 ng/ml'den 0.003 ng/ml'ye ve yüksek duyarlılık C-reaktif protein düzeyi 18.3 mg/L'den 6.8 mg/L'ye geriledi (Tablo 1).

Sonuç: Optimal medikal tedaviye yanıt vermeyen ve refrakter kalp yetersizliği olan idiyopatik DKM hastalarında immünadsorbsiyon tedavi hastanın klinik durumunu iyileştirmek için potansiyel faydalı bir metod olarak düşünülebilir. Böyle hastalarda bu tedavi yönteminin rutin kullanım için büyük, röandomize, ileri dönük ve çok merkezli çalışmalarla ihtiyaç vardır.

Tablo 1. Hastanın immünadsorbsiyon tedavi öncesi ve sonrası klinik ve laboratuvar parametrelerinin karşılaştırması

	Tedavi öncesi	Tedavi sonrası 2. ay
NYHA sınıfı	IV	II
Altı dakika yürüme testi (m)	260	410
SVEF (%)	28	34
pro-BNP (ng/L)	1240	819
hs-Trop T (ng/ml)	0.080	0.003
hs-CRP (mg/L)	18.3	6.8

NYHA: New York kalp cemiyeti fonksiyonel sınıflaması, SVEF: sol ventrikül ejeksiyon fraksiyonu, pro-BNP: pro-brain natriüretik peptid, hs-Trop T: yüksek duyarlılıklı troponin T, hs-CRP: yüksek duyarlılıklı C-reaktif protein.

S-113

Akut dekompanse kalp yetersizliğinde iskemi modifiye albumin düzeyleri: Ischemia Modified Albumin in Heart Failure (IMA-HF) study

Yüksel Çavuşoğlu¹, Şule Korkmaz², Selda Demirtaş³, Erkan Gencer⁴, Hatice Şaşmaz⁵, Fezan Mutlu⁶, Mehmet Birhan Yılmaz⁷

¹Eskişehir Osmangazi Üniversitesi Tip Fakültesi, Kardiyoloji Anabilim Dalı, Eskişehir

²Ufuk Üniversitesi Tip Fakültesi, Kardiyoloji Anabilim Dalı, Ankara

³Ufuk Üniversitesi Tip Fakültesi, Tibbi Biyokimya Anabilim Dalı, Ankara

⁴Ankara Türkiye Yüksek İhtisas Hastanesi, Kardiyoloji Bölümü, Ankara

⁵Kılıç Devlet Hastanesi, Kılıç

⁶Eskişehir Osmangazi Üniversitesi Tip Fakültesi, Biyoistatistik Anabilim Dalı, Eskişehir

⁷Cumhuriyet Üniversitesi Tip Fakültesi, Kardiyoloji Anabilim Dalı, Sivas

Amaç: İskemi modifiye albumin (IMA) miyokardiyal iskemisinin oldukça duyarlı bir göstergesidir. Miyokardiyal hasar olmasa da tek başına miyokardiyal iskemi durumunda düzeylerinde yükselme gözlenir. Ayrıca, kalp yetersizliği (KY) patofizyolojisinde de yer alan oksidatif stress, asidoz, hipoksı, serbest radikal hasarı, hücreselodium ve kalsiyum pompa bozukluğundaIMA düzeyleri yüksek bulunmaktaadır. Ancak KY'de IMA düzeylerine ilişkin bir veri ya da çalışma bulunmamaktadır. Bu çok merkezli, prospektif çalışmanın amacı akut dekompanse KY ile başvuran olgularda IMA düzeylerinin değerlendirilmesi idi.

Metod: Birbirinden bağımsız, 4 ilden 5 merkezin katıldığı prospektif çalışmaya, NYHA III-IV akut dekompanse KY symptom ve bulgularıyla hastaneyeye yatırılan ve LVEF <93% olan 70 olgu dahil edildi. Olguların, hastaneyeye kabul sırasında, KY tanısı konduktan ve tedavileri başlamadan önce alınan örneklerinden serum IMA düzeyleri bakıldı. Ayrıca sağlıklı bireylerden oluşan 32 olguluk kontrol grubunda IMA düzeyleri elde edildi. Serum IMA düzeyleri albumin kovalt bağlayıcı test ile ölçüldü ve sonuçlar absorbant unite (AU) olarak verildi. IMA'nın tanışsal performansı ROC eğri analizi ile değerlendirildi.

Bulgular: Akut dekompanse KY grubunda, hastaneyeye kabul sırasında bakılan ortalama serum IMA düzeyleri kontrol grubundan anamlı yüksek bulundu (sırasıyla 0.894±0.23 AU ve 0.379±0.08 AU, p<0.0001). ROC eğrisi analizinde, IMA'nın KY tanısı için 0.578 AU cutoff değeri AUC değeri 0.97 (%95 CI, 0.90-0.99, p=0.0001) saptandı. Tanışsal sensitivite ve spesifite değeri sırasıyla %92.8 (%95 CI, 0.84-0.97) ve %100 (%95 CI, 0.89-100) ile pozitif ve negatif prediktif değeri sırasıyla %100 (%95 CI, 0.94-100) ve %86.5 (%95 CI, 0.71-0.95) olarak bulundu.

Sonuç: Bu çok merkezli çalışmanın sonucları, akut dekompanse KY'de serum IMA düzeylerinin yükseltmiş olduğunu ve akut dekompanse KY olgularının değerlendirilmesinde yüksek tanışsal potansiyeli sahip olabileceğini desteklemektedir.

Congestive heart failure

S-112

Immune adsorption therapy in a patients with idiopathic dilated cardiomyopathy and heart failure refractory to standard optimal medical therapy

Taner Ulus¹, Yüksel Çavuşoğlu¹, Meltem Olga Akay², Baktash Morrad¹, Mehmet Ali Karatutlu¹, Sayyed Hamed Moghanchizadeh¹

¹Department of Cardiology, Eskişehir Osmangazi Faculty of Medicine, Eskişehir

²Department of Hematology, Eskişehir Osmangazi Faculty of Medicine, Eskişehir

S-113

The levels of ischemia modified albumin in acute decompensated heart failure

Yüksel Çavuşoğlu¹, Şule Korkmaz², Selda Demirtaş³, Erkan Gencer⁴, Hatice Şaşmaz⁵, Fezan Mutlu⁶, Mehmet Birhan Yılmaz⁷

¹Department of Cardiology, Eskişehir Osmangazi University Faculty of Medicine, Eskişehir

²Department of Cardiology, Ufuk University Faculty of Medicine, Ankara

³Department of Biochemistry, Ufuk University Faculty of Medicine, Ankara

⁴Department of Cardiology, Ankara Türkiye Yüksek İhtisas Hospital, Ankara

⁵Kılıç State Hospital, Kılıç

⁶Department of Biostatistics, Eskişehir Osmangazi University Faculty of Medicine, Eskişehir

⁷Department of Cardiology, Cumhuriyet University Faculty of Medicine, Sivas

Konjestif kalp yetersizliği

S-114

Ivabradin, akut dekompanse kalp yetersizliğinde uygulanan dobutamine bağlı gelişen kalp hızı artışı engellemektedir

Yükseł Çavuşoğlu¹, Uğur Mert¹, Aydin Nadiradze¹, Fezan Mutlu², Erkan Gencer¹, Taner Ulus¹, Necmi Ata¹

¹Eskişehir Osmangazi Üniversitesi Tıp Fakültesi, Kardiyoloji Anabilim Dalı, Eskişehir

²Eskişehir Osmangazi Üniversitesi Tıp Fakültesi, Biyoistatistik Anabilim Dalı, Eskişehir

Amaç: Yüksek kalp hızı, diyastol süresini kısaltır, ventriküler dolu bozar, miyokardiyal oksijen tüketimi artırır ve koroner akımı olumsuz etkiler. Akut dekompanse kalp yetersizliğinde (KY) uygulanan dopamin ve dobutamin (DOB) gibi beta adrenerjik inotropik ajanların kalp hızını, miyokardiyal kontraktilite ile enerji tüketimini artırdığı, denyesel modellerde subendokardiyal iskemiyi tetikleyerek miyosit hasarına yol açabildiği gösterilmiştir. Sinus nod İfkanal inhibisyonu ile kalp hızını azaltan ivabradinin kronik KY'de klinik sonuçları düzelttiği bilinmektedir. Bu çalışmanın amacı, kalp hızını azaltan ivabradinin, DOB uygulanan akut dekompanse KY olgularında dobutamine bağlı gelişen kalp hızı artışı üzerine etkisini değerlendirmek idi.

Metod: Çalışmaya akut dekompanse KY nedeniyle hastaneyeye yatırılan, NYHA fonksiyonel sınıflaması III-IV, sol ventrikül ejeksiyon fraksiyonu <35 olan ve inotropik tedavi ihtiyaci nedeniyle DOB uygulaması planlanan 58 olgu alındı. Tüm olgulara, oksijen, diuretik ve intravenöz vasodilatör ile beraber DOB infüzyonu uygulandı. DOB uygulaması öncesi 6 saatlik holter kaydi sonrası da olguların 29'una ivabradin verilecek (ivabradin grubu), 29 olguna ise ivabradin verilmeksız (kontrol grubu) 5 µg/kg/dk dozda DOB başlandı ve 6 saatte bir 5 µg/kg/dk titre edilerek 15 µg/kg/dk çıkışması hedeflendi. 18 saatlik DOB uygulaması sırasında holter kaydına devam edildi. Holter analizinde 6'şar saatlik dobutaminsiz ve 5, 10, 15 µg/kg/dk DOB infüzyonu peryodlarında ortalama kalp hızı incelendi.

Bulgular: DOB tedavisi başlanmadan önce ki 6 saatlik holter kaydında ortalama kalp hızı her iki grupta farklı değildi ($p > 0.05$) (Tablo 1). Kontrol grubunda 5, 10 ve 15 µg/kg/dk DOB dozlarında kalp hızının giderek ve istatistiksel anlamlı artış gösterdiği saptandı. DOB'nin 10 ve 15 µg/kg/dk dozlarında oluşan kalp hızı kontrol grubunda ivabradin grubuna göre anlamlı daha yükseldi. Ivabradin verilen grupta ise artan DOB dozlarında rağmen kalp hızında anlamlı bir artış gözlemlendi. İki yönlü varyans analiziinde de benzer şekilde kontrol grubundaki kalp hızı artışı anlamlı bulunurken ($p < 0.001$), ivabradin grubunda anlamlı kalp hızı artışı saptanmadı ($p = 0.439$).

Sonuç: Bu çalışmanın sonuçları, ivabradinin, DOB'ne bağlı oluşan kalp hızı artışı engelleyerek istenmemeyen etkilerinin azaltılmasında rolü olabileceğini desteklemektedir.

S-115

Kalp yetmezliği olan olgularda atriyumlar arası elektromekanik gecikme ile iskemi ve LVEF arasındaki ilişkinin değerlendirilmesi

Murat Bilgin¹, Bekir Serhat Yıldız², İlker Güll³, Burcu Zihni¹, Mustafa Beyazit Alkan¹, Mehdi Zoghbi¹, Mustafa Akın¹

¹Ege Üniversitesi Tıp Fakültesi, Kardiyoloji Anabilim Dalı, İzmir

²Denizli Devlet Hastanesi, Kardiyoloji Kliniği, Denizli

³Ahi Evren Kalp ve Damar Cerrahisi Eğitim Araştırma Hastanesi, Trabzon

Amaç: Kalp yetmezliğinde (KY) atriyumlar arası ve atriyum içi elektromekanik gecikme süreleri artmıştır. Biz bu çalışmada, KY olan hastalarda doku doppler ekokardiografi ile atriyal elektromekanik gecikmeyi (AEMG) değerlendirmenin yanısıra, AEMG'nin Sol ventrikül ejeksiyon fraksiyonu (LVEF) ile ilişkili olup olmadığını araştırdık.

Yöntem: Çalışmaya değerlendirme esnasında sinus ritiminde KY olan 63 hasta ile aynı yaş grubundan 65 sağlıklı kontrol grubu dahil edildi (Resim 1). Elektrokardiogramdaki P dalgasının başlangıcından, lateral mitral anulus (lateral PA'), septal mitral anulus (septal PA') ve sağ ventrikül trikuspit (trikuspit PA') anıtlarından ölçülen geç diyalostik dalga pikine kadar olan süreler, doku doppler ekokardiografi ile ölçüldü. Atriyumlar arası elektromekanik ileti gecikmesi (AinterA) lateral PA' ve trikuspit PA' arasındaki fark olarak tanımlanıldı. Atriyum içi elektromekanik ileti gecikmesi (AintraA) ise septal PA' ve trikuspit PA' arasındaki fark olarak tanımlanıldı.

Bulgular: Atriyumlar arası ve atriyum içi elektromekanik gecikme süreleri KY grubunda kontrol grubuna göre belirgin artmış olarak saptandı. Bu değerler için eşik değeri belirlendi (Resim 2). KY grubu LVEF'lerine göre iki gruba ayrıldı. Grup 1 LVEF > %30 olan 30 hasta tarafından, grup 2 ise LVEF <= %30 olan 33 hasta tarafından oluşturuldu. Grup 2 hem AinterA süresi hem de AintraA süresi uzamış olana da fazla oranda saptandı. Bu fark istatistiksel olarak anlamlı idi (Resim 3). KY grubu etiyolojisinde iskemi olup olmamasına göre iki gruba ayrıldı. Grup 1 iskemik olan 34 hasta tarafından, grup 2 ise non-iskemik 29 hasta tarafından oluşturuldu. Grup 1 hem AintraA süresi hem de AinterA süresi uzamış olana da fazla oranda saptandı; fakat bu fark istatistiksel olarak anlamlı değildi (Resim 4).

Sonuçlar: KY hastalarında intra ve interatriyal elektromekanik gecikme süreleri Kontrol grubuna kıyasla daha uzun ölçüldü; her biri için eşik değeri belirlendi. KY hastalarında LVEF <= %30 olan grup 2 hastalarda AEMG süreleri daha uzun ölçülmüş, LVEF ile AEMG süreleri arasında ters bir orantılı olduğunu göstermektedir. KY grubunda AEMG süreleri ile iskemi arasında istatistiksel olarak anlamlı ilişki saptanmadı.

Congestive heart failure

S-114

Ivabradine prevents dobutamin-induced increase in heart rate in patients with acute decompensated heart failure

Yükseł Çavuşoğlu¹, Uğur Mert¹, Aydin Nadiradze¹, Fezan Mutlu², Erkan Gencer¹, Taner Ulus¹, Necmi Ata¹

¹Department of Cardiology, Eskişehir Osmangazi University Faculty of Medicine, Eskişehir

²Department of Biostatistics, Eskişehir Osmangazi University Faculty of Medicine, Eskişehir

	Kontrol Grubu Kalp Hızı (atm/dk)	Ivabradin Grubu Kalp Hızı (atm/dk)	P
DOB öncesi	81.9±11.7	82.1±17.3	0.958
DOB 5 µg/kg/dk	90.3±16.6*	82.4±15.7	0.069
DOB 10 µg/kg/dk	97.7±14.8#	85.1±14.9	0.002
DOB 15 µg/kg/dk	101.7±16.9†	83.5±12.4	0.001

DOB öncesinde karşılaştırıldığında *p=0.001 ve †p=0.0001. DOB 5 µg/kg/dk ile karşılaştırıldığında #p=0.006 ve ‡p=0.0001.

S-115

Relationship between atrial electromechanical conduction delays and ischemia and left ventricular ejection fraction in heart failure

Murat Bilgin¹, Bekir Serhat Yıldız², İlker Güll³, Burcu Zihni¹, Mustafa Beyazit Alkan¹, Mehdi Zoghbi¹, Mustafa Akın¹

¹Department of Cardiology, Ege University Faculty of Medicine, Izmir

²Department of Cardiology, Denizli State Hospital, Denizli

³Ahi Evren Cardiovascular Surgery Training and Research Hospital, Trabzon

Background: In this study, we assessed atrial electromechanical delay with tissue doppler echocardiography in patients with heart failure (HF). Also we evaluated the relation of intra-atrial electromechanical conduction delay with ischemia and Left ventricular ejection fraction (LVEF).

Method: The New York Heart Association (NYHA) functional classes and 12-lead electrocardiograms of sixty-three HF patients with normal sinus rhythm at the time of enrollment were recorded. The time intervals from initiation of the P wave on ECG to the peak of the late diastolic TDI signal at the lateral border of the mitral annulus (mitral PA'), septal annulus (septal PA') and the tricuspid annulus (tricuspid PA') were measured. Interatrial electromechanical conduction delay was defined as the difference between the mitral PA' and tricuspid PA' intervals, while intraatrial electromechanical conduction delay was defined as the difference between septal PA' and tricuspid PA' intervals. The findings of patients with HF were compared with age and sex matched control group consisting sixty-five individuals (Figure 1).

Results: Between atria and in atrium electromechanical delay periods were significantly higher in the HF group than the control group and for these values threshold value was determined (Figure 2). HF group was divided into two groups according to LVEF. Group 2 consisted of 33 patients with LVEF <= %30, group 1 had 30 patient with LVEF > %30. There was a statistically significant increase in group 2 in both prolonged intra-atrial electromechanical delay and inter-atrial electromechanical delay (Figure 3).

Conclusion: Comparing HF group with control group, intra and inter-atrial electromechanical delay times were measured longer and for each threshold value was detected. Atrial electromechanical delay times were measured longer in patients with LVEF was significantly greater, but statistically not significant for ischemia.

	KV grubu (n = 62)	Kontrol grubu (n = 65)	p-değeri
Yaş (yıl)	53,0 ± 10,4	52,3 ± 10,4	0,7
Cinsiyet (erkek/kadın)	46 : 16	57 : 7,8	0,087
Vücut yüzey alanı (m ²)	1,81 ± 0,18	1,87 ± 0,18	0,10
Böbrek fonksiyonel sınıfı (m ² /min)	1,81 ± 0,18	1,86 ± 0,18	0,498
Dışkıdaki kan basıncı (mmHg)	95,77 ± 8,9	73,75 ± 13,9	0,11
Funksiyonel sınıfı (NYHA)	1,71 ± 0,8	1,87 ± 1,12	<0,001
Hastalıklar			
Hipertansiyon	36 (58,7%)	34 (52,3%)	0,39
Hiperlipidemi	36 (58,7%)	32 (49,2%)	0,38
Hipofizit miktanız	22 (35,5%)	11 (16,9%)	0,02
Kanser (erken hastalığı)	14 (22,6%)	5 (7,7%)	<0,001
Doğum			
Pato Mükter	60 (96,8%)	56 (84,6%)	<0,001
ACG-EAKD	55 (94,7%)	21 (32,3%)	<0,001
Rutin	67 (92,6%)	39 (60,0%)	<0,001

Resim 1. Hasta ve kontrol grubunun klinik ve demografik özellikleri

Süneler (msn)	Eski değerleri
PA sure	102,5
Lateral PA'	107,5
Septal PA'	127,5
Trileşüp PA'	137,5
AntroA	17,5
AnterA	27,5

Resim 2. Atrialarılar arası ileti ve elektromekanik gecikme stürelerein eşik değerleri

	KV grubu (n = 62)	Kontrol grubu (n = 65)	p-değeri
Yaş (yıl)	53,0 ± 10,4	52,3 ± 10,4	0,7
Cinsiyet (erkek/kadın)	46 : 16	57 : 7,8	0,087
Vücut yüzey alanı (m ²)	1,81 ± 0,18	1,87 ± 0,18	0,10
Böbrek fonksiyonel sınıfı (m ² /min)	1,81 ± 0,18	1,86 ± 0,18	0,498
Dışkıdaki kan basıncı (mmHg)	95,77 ± 8,9	73,75 ± 13,9	0,11
Funksiyonel sınıfı (NYHA)	1,71 ± 0,8	1,87 ± 1,12	<0,001
Hastalıklar			
Hipertansiyon	36 (58,7%)	34 (52,3%)	0,39
Hiperlipidemi	36 (58,7%)	32 (49,2%)	0,38
Hipofizit miktanız	22 (35,5%)	11 (16,9%)	0,02
Kanser (erken hastalığı)	14 (22,6%)	5 (7,7%)	<0,001
Doğum			
Pato Mükter	60 (96,8%)	56 (84,6%)	<0,001
ACG-EAKD	55 (94,7%)	21 (32,3%)	<0,001
Rutin	67 (92,6%)	39 (60,0%)	<0,001

Fig 1. Clinical and demographic characteristics of patients and control groups

Süneler (msn)	Eski değerleri
PA sure	102,5
Lateral PA'	107,5
Septal PA'	127,5
Trileşüp PA'	137,5
AntroA	17,5
AnterA	27,5

Fig 2. Atrial Electromechanical Conduction Delays and the threshold values

	LVEF	P	
	1	2	
AntroA	11 (%36,7)	24 (%72,7)	0,004
AnterA	12 (%40,0)	24 (%72,7)	0,012

Resim 3. Atrialarılar Arası Elektromekanik Gecikme ve LVEF ilişkisi

	İSKEMİ		P
	1	2	
AntroA	20 (%58,8)	15 (%51,7)	0,572
AnterA	20 (%58,8)	16 (%55,2)	0,770

Resim 4. Atrialarılar Arası Elektromekanik Gecikme ve ISKE-MI ilişkisi

	LVEF	P	
	1	2	
AntroA	11 (%36,7)	24 (%72,7)	0,004
AnterA	12 (%40,0)	24 (%72,7)	0,012

Fig 3. Relationship between the atria electromechanical delay and LVEF

	İSKEMİ		P
	1	2	
AntroA	20 (%58,8)	15 (%51,7)	0,572
AnterA	20 (%58,8)	16 (%55,2)	0,770

Fig 4. Relationship between the atria electromechanical delay and ischemia

S-116

İdiyopatik dilate kardiyomiyopati hastalarında allopürinolun sol ventrikül işlevleri ve koroner mikrovasküler dolaşım üzerine etkileri

Doğan Erdoğan, Şenol Tayyar, Bayram Ali Uysal, Atilla İçli, Mustafa Karabacak, Mehmet Özaydın, Abdullah Doğan

Suleyman Demirel Üniversitesi Tip Fakültesi, Kardiyoloji Anabilim Dalı, Isparta

S-116

Effects of allopurinol on coronary microvascular and left ventricular function in patients with idiopathic dilated cardiomyopathy

Doğan Erdoğan, Şenol Tayyar, Bayram Ali Uysal, Atilla İçli, Mustafa Karabacak, Mehmet Özaydın, Abdullah Doğan

Suleyman Demirel University, Faculty of Medicine, Cardiology Department, Isparta, Turkey

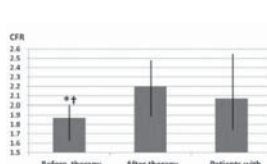
Background: Urac acid (UA) is an independent marker of mortality and associated with increased oxidative stress in patients with congestive heart failure (CHF). The present study aimed to investigate the effect of allopurinol on left ventricular function and coronary microvascular integrity in patients with idiopathic dilated cardiomyopathy (IDC).**Methods:** Thirty-nine consecutive IDC patients were divided into two groups: elevated (>7 mg/dL for men and >6.5 mg/dL for women, n=24) and normal (n=15) UA. Allopurinol 300 mg/day was given to elevated UA group. Patients with elevated UA were assessed after 3-month treatment period. Echocardiography assessing coronary flow reserve (CFR) and systolic and diastolic functions of left ventricle (LV) were studied. RESULTS: LV ejection fraction was significantly lower in elevated UA group: 32.3%[26.0-36.5] (mean [interquartile range]) vs. 37.3%[35.5-39.1] (p<0.01). Also, CFR and LV diastolic and combined function parameters were more prominently impaired in elevated UA group. After allopurinol treatment, UA was significantly decreased (7.2 mg/dL[6.8-7.8] to 4.4 mg/dL[3.9-5.8], p<0.001) and CFR was markedly improved (1.87[1.63-2.00] to 2.20[1.87-2.49], p<0.001) (Figure 1). The therapeutic effect of allopurinol on the reduction of UA from baseline was directly related to the improvement of CFR (r=0.49, p=0.01) (Figure 2). In addition, mitral A and E/E' were reduced, while S', E', E/A, and E'/A' were increased significantly.**Conclusions:** The present study showed that 3-month treatment of allopurinol was significantly associated with reduced UA levels, and improvement of CFR and LV functions in patients with IDC and hyperuricemia.

Figure 1. Coronary flow reserve before and after allopurinol therapy.

*P = 0.02 versus patients with normal uric acid; †: P < 0.001 versus after allopurinol therapy.

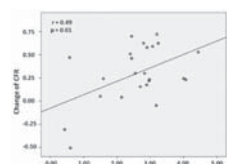


Figure 2. Graph showing the linear association between reduction of serum uric acid values and the change of coronary flow reserve.

Kalp yetmezliği olan hastalarda hematolojik ve ekokardiyografik parametrelerin sol ventrikül spontan eko kontrast ile ilişkisi

Gülaçan Tekin¹, Yusuf Kenan Tekin², Ali Rıza Erbay¹

¹Bozok Üniversitesi Tıp Fakültesi, Kardiyoloji Anabilim Dalı, Yozgat

²Yozgat Devlet Hastanesi, Acil Servis, Yozgat

Giriş: Kalp boşuklarında trombus olması artmış tromboembolik olaylar ile ilişkilidir. Kalp yetmezliği (KY) olan hastalarda sol ventrikülde trombus ile ortalamaya trombotik hacmi (OTH) arasında nesil bir ilişki olduğu tam olarak açıklanamamıştır. Mitral darlık ve atriyal fibrilasyon (AF) olan hastalarda sol atriyumda artmış spontan eko kontrast (SEK)'in artmış tromboembolik olaylar ile ilişkili olduğu düşünülmektedir. Bu çalışmada kronik iskemik KY olan hastalarda sol ventrikül spontan eko kontrast (SVSEK) varlığının hematolojik ve ekokardiyografik parametreler ile ilişkisini araştırmayı amaçladık.

Yöntem-Gereçler: Çalışmaya kardiyoloji kliniğine başvuran, ekokardiyografide ejeksiyon fraksiyonu (EF) %40 ve altında tespit edilen toplam 292 hasta alındı. Daha öncen koroner anjiyografileri yapılan ve anjiyografik olarak koroner arterlerde %50' nin üzerinde darlık tespit edilen veya elektrokardiyografik ve ekokardiyografik olarak iskemik KY tespit edilen hastalar çalışmaya alındı. Ciddi kalp kapak hastalığı, malignite, hematolojik hastalık, kronik böbrek yetmezliği, iskemik olmayan KY, aktif enfeksiyonlu olan hastalar çalışma dışına bırakıldı.

Bulgular: Kronik KY olan hastalar SVSEK olan 118 hasta (78 erkek, 40 kadın, ortalama yaşı: 69±11 yıl) ve SVSEK olmayan 174 (126 erkek, 48 kadın, ortalama yaşı: 68±11 yıl) hasta çalışmaya alındı. Hastaların klinik özellikleri, hematolojik ve ekokardiyografik değerleri tablo 1'de gösterilmiştir (Tablo 1). Hastaların yaş, cinsiyet, hipertansiyon, diabetes mellitus, hiperlipidemi ve sigara içiciliği yönünden gruplar arasında istatistiksel olarak anlamlı fark yoktu ($p>0.05$). Beyaz kan hücreleri, hemoglobin ve hematokrit değerleri, kırmızı kan hücrelerinin dagılım genişliği (KHDG), trombosit sayısı ve OTH içeren hematolojik parametreler karşılaştırıldığında gruplar arasında istatistiksel olarak anlamlı fark saptanmadı ($p>0.05$). SVSEK olan grupta elektrokardiyografide AF yüzdesi daha fazlaydı ($p=0.01$), EF daha düşüktü, sol atriyum çap (SAC), sol ventrikül diastol sonu çap (SVDSH) artmıştır ($p<0.001$) ve sol ventrikül diastol sonu hacim (SVDSH) artmıştır ($p<0.001$). AF olan hastalar çalışma dışı bırakıldıktan sonra yapılan karşılaştırılmasında SVSEK ile hematolojik parametreler arasında yine istatistiksel olarak anlamlı fark yoktu (Tablo 2). Benzer şekilde EF daha düşüktü, SAC, SVDSH ile SVDSH artmıştır ($p<0.001$).

Sonuç: Bu çalışmada, kronik iskemik KY olan hastalarda SVSEK'ni artmış SAC, SVDSH, SVDSH ve yüksük AF oranları ile ilişkili olduğunu ve hematolojik parametreler ile ilişkili olmadığı düşünülmüştür. Sadece sinüs ritiminde KY olan hastalarda da SVSEK ile hematolojik parametreler arasında ilişki olmadığı, SVSEK'ni artmış SAC, SVDSH, SVDSH ile ilişkili olduğunu sonucu ortaya çıktı.

Koroner kalp hastalıkları

Akut ST-segment yükselmeli miyokard infarktüsünde geliş elektrokardiyografisindeki fraksiyonel QRS'in klinik önemi

Berна Stavileci, Murat Çimci, Hasan Ali Barman, Barış İkitimur, Rasim Enar

İstanbul Üniversitesi Cerrahpaşa Tıp Fakültesi, Kardiyoloji Anabilim Dalı, İstanbul

Amaç: Akut ST-segment yükselmeli miyokard infarktüsünde (STEMI) geliş elektrokardiyografisinde (EKG) bulunan fraksiyonel QRS'in (fQRS) klinik önemi retrospektif olarak araştırılmıştır.

Yöntem: 01.01.2007 ve 01.05.2012 tarihlerini arasında klinikimize başvuran toplam 151 STEMI'li hastadan geliş EKG'sinde intraventriküler ileti bozukluğu bulununmuş (Dışlama kriterleri: QRS >=120 msn ve eski adı blogu, SVH ve geçirilmiş Q dalgalı miyokard infarktüsü-Mİ) 148 hasta çalışmaya alınmıştır. Hastaların 40'ı fQRS geneligi <120msn ve proksimal veya distalinde pozitif veya negatif çoklemekle gösteriyordu (%33.3).

Bulgular: Kadın cinsiyet oranı fQRS grubunda fQRS bulunmayanlara göre anlamlı olarak daha azdı (%61.2 vs %27.8, $p<0.05$), buna karşılık aterosklerotik kalp hastalığının diğer risk faktörleri ve demografik özelliklerini de benzerdi. Her iki grupta hastaların %95' i geliş açısından (GA) başlangıcının ilk 12 saatinden gelmemiştir (başlangıç-gelis zamanı). Hasti hikayesi ile GA başlangıç, gelişteki kardiyak marker yükselişi ve prosesyonu arasındaki uyum fQRS grubunda değerlerine göre anlamlı olarak daha azdı (%65 ve %83, $p<0.05$), fQRS'lerin yaklaşık yansıtısında başvuruda GA süresi 8 saatin altında olmasına rağmen, gelişte markerler yükselmış, zirve düzeylerine de daha erken ulaşmıştır. Koroner anjiyografide: 2 ve 3 damar hastalığı grupları arasında anlamlı fark göstermekten (% 35.7 ve %54.8) ilk hafta içinde bakılan elektrokardiyografide hastaların %24'ünde ejeksiyon fraksiyonu (EF) 0.40'ın altında bulunmuş, ortalama EF ise fQRS grubunda anlamlı olarak daha düşük hesaplanmıştır (0.37±0.11 ve 0.42±0.13, $p<0.003$). Hemodinamik instabilite (% 62.5 ve %13.8), elektrik instabilite (%42.5 ve %18.5) ve hastane mortalitesi (%20 ve %5.5) fQRS'li hastalarda daha fazla idi.

Sonuç: Akut STEMI'li hastalarda geliş EKG'sinde bulunan fQRS, hastane dönemi yüksek mortalite ve morbiditesinin önemli bir markeri olabilir. Bu marker'in GA başlangıcından daha önce başladığını ve/veya daha hızlı miyokardiyal hasar sürecini işaret etmektedir, reperfuzyon stratejisinin semimedinde dikkate alınmalıdır.

Association of hematologic and echocardiographic parameters with left ventricular spontaneous echo contrast in patients with heart failure.

Gülaçan Tekin¹, Yusuf Kenan Tekin², Ali Rıza Erbay¹

¹Department of Cardiology, Bozok University Faculty of Medicine, Yozgat

²Yozgat State Hospital, Acil Servis, Yozgat

Hastaların klinik özellikleri, hematolojik ve ekokardiyografik değerleri		
Değişkenler	SVSEK olmayan hastalar (n=48)	SVSEK olmayan hastalar (n=170)
Age(yıl)	69±11	68±11
Gender(Kadın) n(%)	40(83.3)	48(28.2)
Diabetes mellitus(n%)	43(89.6)	127(74.1)
Hypertension(n%)	25(52.1)	52(30.6)
Hipoglisemi(n%)	8(16.7)	13(7.6)
Smoking(n%)	67(13.8)	13(7.6)
Hyperlipidemia(n%)	13(27.1)	14(7.7)
AF(n%)	13(27.1)	14(7.7)
Myocardial infarction(n%)	13(27.1)	14(7.7)
Stroke(n%)	41(85.4)	42(23.5)
SVDSH(cm)	18.1±1.78	14.3±0.25
SVDSH(SVDSH+SVDSH) ²	0.13	0.11
SVDSH(SVDSH+SVDSH) ³	0.13	0.10
SVDSH(SVDSH+SVDSH) ⁴	0.13	0.10
SVDSH(SVDSH+SVDSH) ⁵	0.13	0.10
SVDSH(SVDSH+SVDSH) ⁶	0.13	0.10
SVDSH(SVDSH+SVDSH) ⁷	0.13	0.10
SVDSH(SVDSH+SVDSH) ⁸	0.13	0.10
SVDSH(SVDSH+SVDSH) ⁹	0.13	0.10
SVDSH(SVDSH+SVDSH) ¹⁰	0.13	0.10
SVDSH(SVDSH+SVDSH) ¹¹	0.13	0.10
SVDSH(SVDSH+SVDSH) ¹²	0.13	0.10
SVDSH(SVDSH+SVDSH) ¹³	0.13	0.10
SVDSH(SVDSH+SVDSH) ¹⁴	0.13	0.10
SVDSH(SVDSH+SVDSH) ¹⁵	0.13	0.10
SVDSH(SVDSH+SVDSH) ¹⁶	0.13	0.10
SVDSH(SVDSH+SVDSH) ¹⁷	0.13	0.10
SVDSH(SVDSH+SVDSH) ¹⁸	0.13	0.10
SVDSH(SVDSH+SVDSH) ¹⁹	0.13	0.10
SVDSH(SVDSH+SVDSH) ²⁰	0.13	0.10
SVDSH(SVDSH+SVDSH) ²¹	0.13	0.10
SVDSH(SVDSH+SVDSH) ²²	0.13	0.10
SVDSH(SVDSH+SVDSH) ²³	0.13	0.10
SVDSH(SVDSH+SVDSH) ²⁴	0.13	0.10
SVDSH(SVDSH+SVDSH) ²⁵	0.13	0.10
SVDSH(SVDSH+SVDSH) ²⁶	0.13	0.10
SVDSH(SVDSH+SVDSH) ²⁷	0.13	0.10
SVDSH(SVDSH+SVDSH) ²⁸	0.13	0.10
SVDSH(SVDSH+SVDSH) ²⁹	0.13	0.10
SVDSH(SVDSH+SVDSH) ³⁰	0.13	0.10
SVDSH(SVDSH+SVDSH) ³¹	0.13	0.10
SVDSH(SVDSH+SVDSH) ³²	0.13	0.10
SVDSH(SVDSH+SVDSH) ³³	0.13	0.10
SVDSH(SVDSH+SVDSH) ³⁴	0.13	0.10
SVDSH(SVDSH+SVDSH) ³⁵	0.13	0.10
SVDSH(SVDSH+SVDSH) ³⁶	0.13	0.10
SVDSH(SVDSH+SVDSH) ³⁷	0.13	0.10
SVDSH(SVDSH+SVDSH) ³⁸	0.13	0.10
SVDSH(SVDSH+SVDSH) ³⁹	0.13	0.10
SVDSH(SVDSH+SVDSH) ⁴⁰	0.13	0.10
SVDSH(SVDSH+SVDSH) ⁴¹	0.13	0.10
SVDSH(SVDSH+SVDSH) ⁴²	0.13	0.10
SVDSH(SVDSH+SVDSH) ⁴³	0.13	0.10
SVDSH(SVDSH+SVDSH) ⁴⁴	0.13	0.10
SVDSH(SVDSH+SVDSH) ⁴⁵	0.13	0.10
SVDSH(SVDSH+SVDSH) ⁴⁶	0.13	0.10
SVDSH(SVDSH+SVDSH) ⁴⁷	0.13	0.10
SVDSH(SVDSH+SVDSH) ⁴⁸	0.13	0.10
SVDSH(SVDSH+SVDSH) ⁴⁹	0.13	0.10
SVDSH(SVDSH+SVDSH) ⁵⁰	0.13	0.10
SVDSH(SVDSH+SVDSH) ⁵¹	0.13	0.10
SVDSH(SVDSH+SVDSH) ⁵²	0.13	0.10
SVDSH(SVDSH+SVDSH) ⁵³	0.13	0.10
SVDSH(SVDSH+SVDSH) ⁵⁴	0.13	0.10
SVDSH(SVDSH+SVDSH) ⁵⁵	0.13	0.10
SVDSH(SVDSH+SVDSH) ⁵⁶	0.13	0.10
SVDSH(SVDSH+SVDSH) ⁵⁷	0.13	0.10
SVDSH(SVDSH+SVDSH) ⁵⁸	0.13	0.10
SVDSH(SVDSH+SVDSH) ⁵⁹	0.13	0.10
SVDSH(SVDSH+SVDSH) ⁶⁰	0.13	0.10
SVDSH(SVDSH+SVDSH) ⁶¹	0.13	0.10
SVDSH(SVDSH+SVDSH) ⁶²	0.13	0.10
SVDSH(SVDSH+SVDSH) ⁶³	0.13	0.10
SVDSH(SVDSH+SVDSH) ⁶⁴	0.13	0.10
SVDSH(SVDSH+SVDSH) ⁶⁵	0.13	0.10
SVDSH(SVDSH+SVDSH) ⁶⁶	0.13	0.10
SVDSH(SVDSH+SVDSH) ⁶⁷	0.13	0.10
SVDSH(SVDSH+SVDSH) ⁶⁸	0.13	0.10
SVDSH(SVDSH+SVDSH) ⁶⁹	0.13	0.10
SVDSH(SVDSH+SVDSH) ⁷⁰	0.13	0.10
SVDSH(SVDSH+SVDSH) ⁷¹	0.13	0.10
SVDSH(SVDSH+SVDSH) ⁷²	0.13	0.10
SVDSH(SVDSH+SVDSH) ⁷³	0.13	0.10
SVDSH(SVDSH+SVDSH) ⁷⁴	0.13	0.10
SVDSH(SVDSH+SVDSH) ⁷⁵	0.13	0.10
SVDSH(SVDSH+SVDSH) ⁷⁶	0.13	0.10
SVDSH(SVDSH+SVDSH) ⁷⁷	0.13	0.10
SVDSH(SVDSH+SVDSH) ⁷⁸	0.13	0.10
SVDSH(SVDSH+SVDSH) ⁷⁹	0.13	0.10
SVDSH(SVDSH+SVDSH) ⁸⁰	0.13	0.10
SVDSH(SVDSH+SVDSH) ⁸¹	0.13	0.10
SVDSH(SVDSH+SVDSH) ⁸²	0.13	0.10
SVDSH(SVDSH+SVDSH) ⁸³	0.13	0.10
SVDSH(SVDSH+SVDSH) ⁸⁴	0.13	0.10
SVDSH(SVDSH+SVDSH) ⁸⁵	0.13	0.10
SVDSH(SVDSH+SVDSH) ⁸⁶	0.13	0.10
SVDSH(SVDSH+SVDSH) ⁸⁷	0.13	0.10
SVDSH(SVDSH+SVDSH) ⁸⁸	0.13	0.10
SVDSH(SVDSH+SVDSH) ⁸⁹	0.13	0.10
SVDSH(SVDSH+SVDSH) ⁹⁰	0.13	0.10
SVDSH(SVDSH+SVDSH) ⁹¹	0.13	0.10
SVDSH(SVDSH+SVDSH) ⁹²	0.13	0.10
SVDSH(SVDSH+SVDSH) ⁹³	0.13	0.10
SVDSH(SVDSH+SVDSH) ⁹⁴	0.13	0.10
SVDSH(SVDSH+SVDSH) ⁹⁵	0.13	0.10
SVDSH(SVDSH+SVDSH) ⁹⁶	0.13	0.10
SVDSH(SVDSH+SVDSH) ⁹⁷	0.13	0.10
SVDSH(SVDSH+SVDSH) ⁹⁸	0.13	0.10
SVDSH(SVDSH+SVDSH) ⁹⁹	0.13	0.10
SVDSH(SVDSH+SVDSH) ¹⁰⁰	0.13	0.10
SVDSH(SVDSH+SVDSH) ¹⁰¹	0.13	0.10
SVDSH(SVDSH+SVDSH) ¹⁰²	0.13	0.10
SVDSH(SVDSH+SVDSH) ¹⁰³	0.13	0.10
SVDSH(SVDSH+SVDSH) ¹⁰⁴	0.13	0.10
SVDSH(SVDSH+SVDSH) ¹⁰⁵	0.13	0.10
SVDSH(SVDSH+SVDSH) ¹⁰⁶	0.13	0.10
SVDSH(SVDSH+SVDSH) ¹⁰⁷	0.13	0.10
SVDSH(SVDSH+SVDSH) ¹⁰⁸	0.13	0.10
SVDSH(SVDSH+SVDSH) ¹⁰⁹	0.13	0.10
SVDSH(SVDSH+SVDSH) ¹¹⁰	0.13	0.10
SVDSH(SVDSH+SVDSH) ¹¹¹	0.13	0.10
SVDSH(SVDSH+SVDSH) ¹¹²	0.13	0.10
SVDSH(SVDSH+SVDSH) ¹¹³	0.13	0.10
SVDSH(SVDSH+SVDSH) ¹¹⁴	0.13	0.10
SVDSH(SVDSH+SVDSH) ¹¹⁵	0.13	0.10
SVDSH(SVDSH+SVDSH) ¹¹⁶	0.13	0.10
SVDSH(SVDSH+SVDSH) ¹¹⁷	0.13	0.10
SVDSH(SVDSH+SVDSH) ¹¹⁸	0.13	0.10
SVDSH(SVDSH+SVDSH) ¹¹⁹	0.13	0.10
SVDSH(SVDSH+SVDSH) ¹²⁰	0.13	0.10
SVDSH(SVDSH+SVDSH) ¹²¹	0.13	0.10
SVDSH(SVDSH+SVDSH) ¹²²	0.13	0.10
SVDSH(SVDSH+SVDSH) ¹²³	0.13	0.10
SVDSH(SVDSH+SVDSH) ¹²⁴	0.13	0.10
SVDSH(SVDSH+SVDSH) ¹²⁵	0.13	0.10
SVDSH(SVDSH+SVDSH) ¹²⁶	0.13	0.10
SVDSH(SVDSH+SVDSH) ¹²⁷	0.13	0.10
SVDSH(SVDSH+SVDSH) ¹²⁸	0.13	0.10
SVDSH(SVDSH+SVDSH) ¹²⁹	0.13	0.10
SVDSH(SVDSH+SVDSH) ¹³⁰	0.13	0.10
SVDSH(SVDSH+SVDSH) ¹³¹	0.13	0.10
SVDSH(SVDSH+SVDSH) ¹³²	0.13	0.10
SVDSH(SVDSH+SVDSH) ¹³³	0.13	0.10
SVDSH(SVDSH+SVDSH) ¹³⁴	0.13	0.10
SVDSH(SVDSH+SVDSH) ¹³⁵	0.13	0.10
SVDSH(SVDSH+SVDSH) ¹³⁶	0.13	0.10
SVDSH(SVDSH+SVDSH) ¹³⁷	0.13	0.10
SVDSH(SVDSH+SVDSH) ¹³⁸	0.13	0.10
SVDSH(SVDSH+SVDSH) ¹³⁹	0.13	0.10
SVDSH(SVDSH+SVDSH) ¹⁴⁰	0.13	0.10
SVDSH(SVDSH+SVDSH) ¹⁴¹	0.13	0.10
SVDSH(SVDSH+SVDSH) ¹⁴²	0.13	0.10
SVDSH(SVDSH+SVDSH) ¹⁴³	0.13	0.10
SVDSH(SVDSH+SVDSH) ¹⁴⁴	0.13	0.10
SVDSH(SVDSH+SVDSH) ¹⁴⁵	0.13	0.10
SVDSH(SVDSH+SVDSH) ¹⁴⁶	0.13	0.10
SVDSH(SVDSH+SVDSH) ¹⁴⁷	0.13	0.10
SVDSH(SVDSH+SVDSH) ¹⁴⁸	0.13	0.10
SVDSH(SVDSH+SVDSH) ¹⁴⁹	0.13	0.10
SVDSH(SVDSH+SVDSH) ¹⁵⁰	0.13	0.10
SVDSH(SVDSH+SVDSH) ¹⁵¹	0.13	0.10
SVDSH(SVDSH+SVDSH) ¹⁵²	0.13	0.10
SVDSH(SVDSH+SVDSH) ¹⁵³	0.13	0.10
SVDSH(SVDSH+SVDSH) ¹⁵⁴	0.13	0.10
SVDSH(SVDSH+SVDSH) ¹⁵⁵	0.13	0.10
SVDSH(SVDSH+SVDSH) ¹⁵⁶	0.13	0.10
SVDSH(SVDSH+SVDSH) ¹⁵⁷	0.13	0.10
SVDSH(SVDSH+SVDSH) ¹⁵⁸	0.13	0.10
SVDSH(SVDSH+SVDSH) ¹⁵⁹	0.13	0.10
SVDSH(SVDSH+SVDSH) ¹⁶⁰	0.13	0.10
SVDSH(SVDSH+SVDSH) ¹⁶¹	0.13	0.10
SVDSH(SVDSH+SVDSH) ¹⁶²	0.13	0.10
SVDSH(SVDSH+SVDSH) ¹⁶³	0.13	0.10
SVDSH(SVDSH+SVDSH) ¹⁶⁴	0.13	0.10
SVDSH(SVDSH		

S-119

ST segment elevasyonlu miyokart enfarktüsü hastalarında nötrofil lenfosit oranı koroner arter hastalığı şiddeti ile ilişkilidir

Durmuş Yıldırıay Şahin¹, Zafer Elbasan¹, Mustafa Gür¹, Ali Yıldız², Yahya Kemal İçen¹, Caner Türkoglu¹, Kamuran Tekin¹, Osman Kuloglu¹, Murat Çaylı¹

¹Adana Numune Eğitim ve Araştırma Hastanesi, Seyhan Uygulama Merkezi Kardiyoloji Bölümü, Adana

²Harran Üniversitesi Tıp Fakültesi, Kardiyoloji Anabilim Dalı, Şanlıurfa

Amaç: SYNTAX Skoru (SS) koroner arter hastalığı şiddeti ve yaygınlığını belirlemeye yarayan anjiyografik lezyonlara dayalı bir puanlama sistemidir. Çalışmamızda, ST yükselselmi miyokart enfarktüsü (STEMI) hastalarında SS kullanılarak belirlenen koroner arter hastalığı şiddeti ile nötrofil lenfosit (N/L) oranı arasındaki ilişkiye araştırmayı amaçladık.

Çalışma Planı: Çalışmamızda acil servise STEMİ tanısıyla başvuran ve birincil perkutan koroner girişim uygulanan 622 erkek ve 218 kadın olmak üzere toplam 840 hasta (ort. yaşı 58.6±12.4) alındı. Tüm hastaların koroner arter hastalığı için mevcut risk faktörleri kaydedildi. Ayrıca lipit parameteleri, acların kan şekerleri, serum ürik asit ve kreatinin düzeyleri ve tam kan sayımı ölçüldü. Koroner arter hastalığı şiddeti SS kullanılarak değerlendirildi. Hastalar SS'ye göre düşük, orta ve yüksek olmak üzere 3 gruba ayrıldı.

Bulgular: N/L oranı SS yüksek gruptaki hastalarda düşük ve orta SS grubundaki hastalara göre anlamlı oranda yüksek bulundu ($p<0.001$). Çok değişkenli regresyon analizinde, N/L oranı (beta; 0,277, $p<0.004$), ejeksiyon fraksiyonu (beta; -0,086, $p=0,012$), yaş (beta; 0,104, $p=0,004$) ve diyatın (beta; 0,0152, $p<0,001$) STEMI'li hastalarda SS için bağımsız belirleyiciler olduğu tespit edildi.

Sonuç: N/L oranı ucuz ve kolay uygulanan bir yöntem olup STEMİ hastalarında koroner arter hastalığı şiddeti ile bağımsız ilişkilidir.

Nötrofil lenfosit oranı ile koroner arter hastalığı şiddeti arasındaki ilişki

SYNTAX Skoru (SS)	Düşük SS($<=11$) (n = 259)	Orta SS ($>11 <=18$) (n = 283)	Yüksek SS (>18) (n=298)	p
Nötrofil ($\times 1,000/\mu\text{l}$)	6.8±2.9	7.3±3.3	8.2±3.5	<0.001
Lenfosit ($\times 1,000/\mu\text{l}$)	2.1±1	1.9±0.8	1.6±0.8	<0.001
Nötrofil lenfosit oranı	4.8±2.9	4.8±3.3	6.5±3.9	<0.001

Coronary heart diseases

S-120

Neutrophil to lymphocyte ratio is associated with the severity of coronary artery disease in patients with ST-segment elevation myocardial infarction

Durmuş Yıldırıay Şahin¹, Zafer Elbasan¹, Mustafa Gür¹, Ali Yıldız², Yahya Kemal İçen¹, Caner Türkoglu¹, Kamuran Tekin¹, Osman Kuloglu¹, Murat Çaylı¹

¹Adana Exemplary Training and Research Hospital, Seyhan Application Center, Division of Cardiology, Adana

²Department of Cardiology, Harran University Faculty of Medicine, Şanlıurfa

S-120

ST yükselselmesi olmayan miyokart enfarktüslü hastalarda invazif girişim zamanlamasının erken ve orta dönem etkileri

Kamuran Tekin¹, Çağlar Emre Çağlıyan², Mehmet Ballı², İbrahim Halil Tanboğa², Buğra Özkan², Onur Kadir Uysal², Rabia Akıllı², Murat Çaylı²

¹Batman Devlet Hastanesi, Kardiyoloji Kliniği, Batman

²Adana Numune Eğitim ve Araştırma Hastanesi, Kardiyoloji Kliniği, Adana

S-120

Influence of the timing of invasive strategy on short and mid-term outcomes of patients with non-ST elevation myocardial infarction

Kamuran Tekin¹, Çağlar Emre Çağlıyan², Mehmet Ballı², İbrahim Halil Tanboğa², Buğra Özkan², Onur Kadir Uysal², Rabia Akıllı², Murat Çaylı²

¹Batman State Hospital, Cardiology Department, Batman

²Adana Numune Education and Research Hospital, Cardiology Department, Adana

Aim: A plenty of controlled randomized trials have been performed to estimate the optimal timing of coronary angiography (CAG) and invasive procedures in patients with non-ST elevation myocardial infarction (NSTEMI). In these studies, invasive procedures performed in the first day of hospitalization had been shown to reduce recurrent myocardial ischemia and hospitalization period. However, it hasn't been shown to be effective in reducing mortality. In this study, we've aimed to investigate the influence of timing of invasive procedure on all-cause mortality, recurrent myocardial infarction (MI), rehospitalisation due to cardiac causes and left ventricular function in the 3 month-period in patients with NSTEMI with moderate-high risk.

Methods: A total of 131 NSTEMI patients (85 male, 46 female; mean age: 56.9±10.2 years) with moderate-high TIMI risk scores, who had admitted to our department between July 2011-September 2011 had been included in our study. They had been randomized to 2 groups according to the timing of percutaneous coronary intervention (PCI). Patient undergoing PCI in the first 24 hours of their hospitalization were named as "Early Invasive Group" and the ones undergoing PCI between 24-72 hours of their hospitalization were named as "Delayed Invasive Group". Routine biochemistry, brain natriuretic peptide (BNP), C-reactive protein (CRP) and complete blood count were studied in all patients. Left ventricular ejection fraction (LVEF) was calculated in all patients with transthoracic echocardiography (TTE) before discharge and at the 3rd month. All patients were followed up for 3 months. All-cause mortality, recurrent myocardial infarction (MI) and rehospitalisation due to cardiac events were determined as the primary endpoints of our study.

Results: There were 69 patients in the early invasive group and 62 patients in the delayed invasive group.

The biochemical parameters, distribution of infarct related artery (IRA), severity of coronary artery disease (CAD), number of stents implanted and post-procedural TIMI-III flow ratios were similar between two groups. There were not significant differences in BNP, LVEF and CRP values taken at the time of discharge (Table-1). Third month LVEF values were better in the early invasive group (59.9±6.0 % vs 54.1±8.7%; $p<0.001$). Recurrent MI rates were lower in the early invasive group (2.9 vs 14.5 %; $p=0.016$). Similarly, hospitalizations due to cardiac events were lower in the early invasive group (8.7% vs 30.6%; $p=0.001$). All cause mortality seemed to be lower in the early invasive group, although not statistically significant (0 % vs 4.8%; $p=0.065$) (Table-2).

Conclusion: Early invasive strategy seems to be more effective for reduction of recurrent MI, rehospitalisations due to cardiac events and preservation of 3rd month LVEF in patients with moderate-high risk NSTEMI when compared to delayed invasive strategy.

Koroner kalp hastalıkları

S-121

Genç yaş ve PAI 5G/5G polimorfizmi, akut ST elevasyonlu miyokart enfarktüsü ile başvuran hastalarda enfarkttan sorumlu arterin spontan rekanalizasyonu ile ilişkilidir

Çağlar Emre Çağlıyan, Özge Özalp Yürekir, Mehmet Ballı, Kamuran Tekin, Zafer Elbasan, Rabia Eker Akıllı, Taner Şeker, Sevcan Tuğ Bozdoğan, Ahmet Oytun Baykan, Murat Çaylı

Adana Numune Eğitim ve Araştırma Hastanesi, Seyhan Uygulama Merkezi, Kardiyoloji Bölümü, Adana

Amaç: Akut ST elevasyonlu miyokart enfarktüsü (STEME) ile başvuran hastalarda, erken spontan rekanalizasyon (SR), enfarkttan sorumlu arterleri (ERA) oklusi ile olan hastalarla kıyaslanıldıkta, klinik sonlanımlar ve kontraktif fonksiyonların korunması üzerine daha olumlu etkiler şahitlendi. Fibrinolitik aktivite, kısmen, plazminojen aktivatör inhibitör-1 (PAI-1) enziminin promotor bölgeini kodlayan gendeki 4G/5G polymorfizmi ile belirlendi. Bu çalışmada, STEME ile başvuran hastalarda erken SR ile PAI-1 gen polimorfizmini arasındaki ilişkiye araştırılmıştır amaçlandı.

Metod: Yazılı onamları alındıktan sonra, akut STEME semptom başlangıcının ilk 6 saatinden hastanemize başvuran toplam 88 hasta çalışmamızda dahil edildi. Tüm hastalar, primer perkütan koroner girişim (PKG) uygulandı. DNA izolasyonu, toplanan periferik kan örneklerinde yapıldı. Gerçek zamanlı polimeraz zincir reaksiyonu yöntemi ile, izole edilmiş DNA örneklerinden PAI-1 genotiplenmesi yapıldı.PKG sonrası 4. gün elektrokardiyoigramlarında (EKG) Selvester skorlaması yapıldı.

Bulgular: Hastalar, PKG işlemi öncesinde yapılan anjiyogramlardaki ERA açılık derecesine göre grupperdi. ERA akımları TIMI 0-1 derecesinde olanlar Grup 1 (n=52), TIMI 2-3 derecesinde olanlar Grup 2 (n=36) olarak adlandırıldı. Grup 2 hastaları anlamlı derecede daha genç (55.3 ± 12.1 'e karşı 60.7 ± 12.2 ; p=0.041) olup 4. gün EKG skorları daha düşüktü (6.7 ± 5.0 'e karşı 9.5 ± 5.2 ; p=0.014 (Tablo 1). PAI 5G/5G genotipindeki hastalarda SR belliğin olarak daha fazlaydı (% 63'e karşı % 37). Lojistik regresyon analiziyle, yaş (OR=0.970 [0.933-1.009] in 95 % CI]; p=0.05) ve PAI 5G/5G genotipi (OR=3.571 [0.989-12.900] in 95 % CI]; p=0.02) bağımsız olarak ERA açılığını ile ilişkili bulunmuştur.

Sonuç: Genç yaş ve PAI 5G/5G polimorfizmi, STEMI ile başvuran hastaların ERA açılığı ile bağımsız olarak ilişkili bulunmuştur. ERA'ları açık olan hastaların 4. gün EKG skorları daha iyi bulunmuştur. Otofibrinolitik aktivite, enfarkt ile ilişkili arterin spontan rekanalizasyonundaki en önemli mekanizmalarından birisi olabilmekte birlikte, PAI 5G/5G polimorfizmi olan hastalar diğerlerine göre daha sanksi görünmektedir. Daha kesin sonuçlar için ileri araştırmaları ihtiyac duyulmaktadır.

Tablo 1			
Parametre	Grup 1 (n=52)	Grup 2 (n=36)	p
Yaş (yıl)	60.7±12.2	55.3±12.1	0.041
PAI-1 Genotipi			0.020
4G/4G (n, %)	13 (65.0)	7 (35.0)	
4G/5G (n, %)	29 (70.7)	12 (29.3)	
5G/5G (n, %)	10 (37.0)	17 (63.0)	

Coronary heart diseases

S-121

Younger age and PAI 5G/5G genotype are independently associated with the spontaneous recanalization of the infarct related artery in patients presenting with ST-elevation myocardial infarction

Çağlar Emre Çağlıyan, Özge Özalp Yürekir, Mehmet Ballı, Kamuran Tekin, Zafer Elbasan, Rabia Eker Akıllı, Taner Şeker, Sevcan Tuğ Bozdoğan, Ahmet Oytun Baykan, Murat Çaylı

Adana Numune Training and Research Hospital, Seyhan Application Center Department of Cardiology, Adana

Purpose: Early spontaneous recanalization (SR) has more favorable effects on outcomes and preservation of contractile function in patients with ST elevation myocardial infarction (STEMI) when compared with patients presenting occluded infarct related artery (IRA). Fibrinolytic activity is partially determined by the 4G/5G polymorphism encoding the promoter region of the gene encoding plasminogen activator inhibitor-1 (PAI-1) enzyme. In this study, we've aimed to investigate the relationship of PAI-1 polymorphisms with early SR in patients presenting with STEMI.

Method: A total of 88 patients presenting with STEMI in the first 6 hours of their symptom onset had been involved in our study after taking written informed consent. Primary percutaneous coronary intervention (PCI) was performed to all patients. DNA isolation was done from collected venous blood samples. PAI-1 genotyping was performed with these samples according to real time polymerase chain reaction method. Post PCI 4th day electrocardiograms (ECG) were scored due to Selvester method.

Results: Patients were grouped according to the angiographic patency of their IRAs before PCI procedure. Patients with TIMI 0-1 flow in their IRA were called as Group 1 (n:52) and those with TIMI 2-3 flow were named as Group 2 (n: 36). Group 2 patients were significantly younger (55.3 ± 12.1 vs 60.7 ± 12.2 ; p=0.041) and had more favorable 4th day Selvester ECG scores (6.7 ± 5.0 vs 9.5 ± 5.2 ; p=0.014 (Table 1)). In patients with PAI 5G/5G genotype, SR was significantly higher (63.0 % vs 37.0 %). In the logistic regression analysis, age (OR=0.970 [0.933-1.009] in 95 % CI]; p=0.05) and PAI 5G/5G genotype (OR=3.571 [0.989-12.900] in 95 % CI]; p=0.02) were independently associated with the patency of IRA.

Conclusion: PAI 5G/5G genotype and younger age are independently associated with the spontaneous patency of IRA in patients presenting with STEMI. Patients with patent IRAs have more favorable 4th day ECG scores. Auto-fibrinolitic activity may be one of the most important mechanisms responsible for SR of the IRA and patients with PAI-1 5G/5G genotype, which has the least inhibitor effect on plasminogen, seem to be luckier than others. Further studies are needed for more precise results.

Table 1

Parameter	Group 1 (n: 52)	Group 2 (n: 36)	p
Age (years)	60.7±12.2	55.3±12.1	0.041
PAI-1 Genotype			0.020
4G/4G (n, %)	13 (65.0)	7 (35.0)	
4G/5G (n, %)	29 (70.7)	12 (29.3)	
5G/5G (n, %)	10 (37.0)	17 (63.0)	

S-122

The relationship between cardiovascular complications in six months period and diastolic blood pressure levels of the patients undergoing primary PCI

İlker Gül¹, Teyyar Gökdeleniz¹, Ahmet Çağrı Aykan¹, Turhan Turan¹, Ezgi Kalaycıoğlu¹, İhsan Dursun¹, Zeydin Acar¹, Faruk Boyacı¹, Bekir Serhat Yıldız², Murat Bilgin³, Hakan Erkan¹, Hasan Güngör¹, Şükru Çelik¹

¹Ahi Evren Kalp ve Damar Cerrahisi Eğitim ve Araştırma Hastanesi, Trabzon

²Denizli Devlet Hastanesi, Kardiyoloji Kliniği, Denizli

³Ege Üniversitesi Tip Fakültesi, Kardiyoloji Anabilim Dalı, İzmir

Amaç: Akut Miyokart Enfarktüsü (AMI) sonrası primer perkütan koroner girişim (PPCI) yapılan hastalar diastolik kan basıncı (DBP) düzeylerine göre iki gruba ayrıldı. AMI sonrası ilk altı aylık dönemde kardiyak mortalite ve morbidite gelişimi açısından grupper arasındaki farkları tanımlanmaya çalışıldı.

Metod: AMI nedeniley (Anterior; 136, Inferior; 77, RV-AMI; 88) merkezimizde primer pci yapılan 301 hasta (erkek; 230, kadın; 71; ort. yaşı; 64.1 ± 12.7) prospektif olarak takip edildi. Hastaların PPCI öncesi en az iki kez ölçülen kan basıncının ortalaması hesaplandı. Diastolik kan basıncı 75 mmHg'in altında olanlar (n=117) birinci gruba, üzerinde olanlar ikinci gruba (n=184) alındı. Hastaların demografik ve laboratuvar verileri oliy formulara kaydedildi. Koroner anjiyografi ve ekokardiyografi tetkikleri sırasında haberlesmesi kardiyologlar tarafından değerlendirildi. Tüm hastaların Syntax ve GRACE risk skorları hesaplandı. Hastalar AMI sonrası ilk altı aylık dönemde mortalite ve morbidite gelişimi açısından takip edildiler. İstatistiksel analiz için spss 17 programı kullanıldı.

Soruçlar: Demografik ve laboratuvar verileri açısından grupper arasında fark saptanmadı. Sistolik kan basıncı ve nabız basıncı birinci grupta daha düşüktü (Tablo 1). Birinci grupta toplam 16 hasta hayatın kaybeden, ikinci grupta bir hasta kaybedildi (p<0.001). Yeniden miyokart enfarktüsü geçiren hastaların birinci grupta yedi, ikinci grupta sekiz idi (Tablo 2). Önceliği kardiyak olay gelişimi birinci grupta daha fazlaydı (p=0.025). Altı aylık ödem ve yeniden MI geçirme oranlarını gösteren GRACE risk skoru birinci grupta daha yüksek saptandı. ($p<0.001$, $t=503$). Önceden koroner arter hastalığına sahip olma, işlem esnasında koroner arıza gelişimi, sağ ventrikül AMI ve lezyonun sağ koroner arterde olması mortaliteyi ve morbiditeyi artıran faktörler olarak öne çıktı.

Tartışma: PPCI uygulanan hastaların girişim öncesi ortalama DKB'lerinin 75 mmHg'den daha düşük olması sonrası altı ay içerisinde istenilen kardiyak olay meydana gelme olasılığını artırmaktadır.

Table 1. Genel özellikler tablosu

	Grup 1 (DBP<75 mmHg)	Grup 2 (DBP>75 mmHg)	n deðeri
Yaþ (yaþ)	60.31 ± 12.08	65.31 ± 12.48	NS
Uzak (yaþ)	28.40 (±4.40)	28.02 (±3.58)	NS
Erkek	90 (56.2)	140 (76.5)	NS
İnsan (yaþ)	60.31 ± 12.08	65.31 ± 12.48	NS
Faali (yaþ)	67.2 (±10.8)	77.1 (±10.8)	p<0.0001
Ölüm (yaþ)	110.0 (±4.02)	116.3 (±4.02)	NS
Re-MI (yaþ)	11.0 (±3.0)	13.0 (±3.0)	NS
Re-MI (yaþ)	22.4 (±4.0)	23.1 (±4.0)	NS
Re-MI (yaþ)	1.0 (±0.5)	1.0 (±0.5)	NS
GRACE skoru (yaþ)	138 (±19.0)	139 (±20.0)	p<0.001
GRACE skoru (yaþ)	142 (±19.0)	133 (±19.0)	p<0.001

Table 2. Komplikasyonlar

	Grup 1 (DBB<75 mmHg)	Grup 2 (DBB>75 mmHg)	p deðeri
Hayatını kaybeden hasta	16 (61.3,7)	1 (3.3)	p<0.001
Re-MI	6 (6.5,1)	9 (4.9,9)	AD
Atrialventriküler Blok	33 (26,2)	14 (7,6)	p<0.001
Killip 3-4 hasta	30 (26,5)	4 (2,2)	p<0.001
Kardiyogenik Shock	30 (26,5)	6 (3,3)	p<0.001

Önemli Komplikasyonların Birinci grupta fazla olduğunu saptadı. Killip hastane ile ilk başvuru anındaki sınıflandırma (AD: Anlamlı Deðil).

Table 1. General specifications table

	Group 1 (DBP<75 mmHg)	Group 2 (DBP>75 mmHg)	p value
Mortality	16 (%13,7)	1 (%0,5)	p<0,001
Re-MI	6 (%6,1)	9 (%4,9)	NS
Atrialventricular Block	33 (%26,2)	14 (%7,6)	p<0,001
Killip 3-4	30 (%25,6)	4 (%2,2)	p<0,001
Cardiovascular Shock	30 (%25,6)	6 (%3,3)	p<0,001

Patients' hemodynamical parameters were worse in the first group. GRACE score was calculated separately for in-hospital arrhythmia, mortality, and major complications. DBP: Diastolic Blood Pressure; NS: Not Significant

Table 2. Complications

	Group 1 (DBB<75 mmHg)	Group 2 (DBB>75 mmHg)	p value
Mortality	16 (%13,7)	1 (%0,5)	p<0,001
Re-MI	6 (%6,1)	9 (%4,9)	NS
Atrialventricular Block	33 (%26,2)	14 (%7,6)	p<0,001
Killip 3-4	30 (%25,6)	4 (%2,2)	p<0,001
Cardiovascular Shock	30 (%25,6)	6 (%3,3)	p<0,001

The rate of major cardiac complications was higher in first group. Killip is the classification in the first admission to hospital. (NS: Not Significant)

Primer perkütan koroner girişim yapılan ST yükselmeli miyokard infarktüsü hastalarında nötrofil/lenfosit oranının işlem sonrası koroner kan akımı ve hastane içi olaylar ile ilişkisi

Mahmut Akpek¹, Mehmet G Kaya¹, Yat Yin Lam², Omer Sahin¹, Deniz Elcik¹, Turgay Celik³, Ali Ergin¹, Charles Micheal Gibson⁴

¹Erciyes Üniversitesi Tip Fakültesi, Kardiyoloji Anabilim Dalı, Kayseri

²Prince of Wales Hospital, The Chinese University of Hong Kong, Department of Cardiology, Hong Kong SAR

³Gülhane Askeri Tıp Akademisi, Kardiyoloji Kliniği, Kayseri

⁴Beth Israel Deaconess Medical Center, Harvard Medical School, Boston, MA, USA

Relation of neutrophil/lymphocyte ratio to coronary flow to in-hospital major adverse cardiac events in patients with ST-elevated myocardial infarction undergoing primary coronary intervention

Mahmut Akpek¹, Mehmet G Kaya¹, Yat Yin Lam², Omer Sahin¹, Deniz Elcik¹, Turgay Celik³, Ali Ergin¹, Charles Micheal Gibson⁴

¹Erciyes University School of Medicine, Department of Cardiology, Kayseri

²Prince of Wales Hospital, The Chinese University of Hong Kong, Department of Cardiology, Hong Kong SAR

³Gülhane Military Medical Academy, Department of Cardiology, Kayseri

⁴Beth Israel Deaconess Medical Center, Harvard Medical School, Boston, MA, USA

Introduction: With the growing understanding of the role of inflammation in patients with atherosclerotic disease, studies have focused on high-sensitivity C-reactive Protein (hs-CRP) and other inflammatory markers in their association with outcomes in ST-segment elevation myocardial infarction (STEMI). The goal of this study was to investigate the association of the neutrophil/lymphocyte (N/L) ratio and in-hospital major adverse cardiac events (MACE) among patients with STEMI undergoing primary percutaneous coronary intervention (PCI).

Methods: The association between high-sensitivity CRP and N/L ratio on admission with post-PCI Thrombolysis In Myocardial Infarction (TIMI) flow grade was assessed in 418 consecutive primary PCI patients. High sensitive CRP and N/L ratio were measured. Transthoracic echocardiography and primary PCI were performed for all patients.

Results: The N/L ratio was significantly higher in the no-reflow group (TIMI Grade 0/1/2 Flow, n=158), compared with that of the normal flow group (TIMI Grade 3 Flow, n=260, 4.6 ± 1.7 vs. 3.1 ± 1.9 , $p < 0.001$). In-hospital MACE was significantly higher among patients with no-reflow (23% vs. 7%, $p < 0.001$). There was a significant and positive correlation between hs-CRP and N/L ratio ($r = 0.657$; $p < 0.001$). In a receiver operating characteristic (ROC) analysis, N/L ratio >3.3 predicted no reflow with 74% sensitivity and 83% specificity. In a multivariate regression model, the N/L ratio remained an independent correlate of no-reflow (OR 1.54, 95% CI 1.34–1.76; $p < 0.001$) and in-hospital MACE (OR 1.14, 95% CI 0.98–1.32; $p = 0.043$).

Conclusion: The N/L ratio, an inexpensive and easily measurable laboratory variable, is independently associated with the development of no-reflow and in-hospital MACE in patients with STEMI undergoing primary PCI.

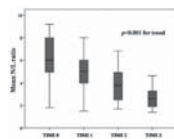


Fig 1. Neutrophil/lymphocyte ratio of patients according to subgroup of TIMI flow grade score.

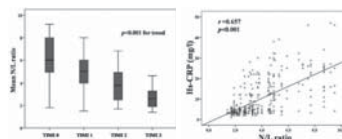


Fig 2. Correlation between high sensitive C-reactive protein and neutrophil/lymphocyte ratio.

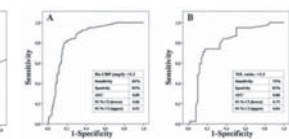


Fig 3. The receiver-operating characteristic curve of high sensitive C-reactive protein (A) and neutrophil/lymphocyte ratio (B) for predicting angiographic no-reflow.

ST elevasyonlu miyokart enfarktüsünde enfarktla ilişkili arterdeki işlem öncesi ve sonrası akımla ortalama trombosit hacmi arasındaki ilişki

Zafer Elbasan, Mustafa Gür, Durmuş Yıldırıay Şahin, Osman Kuloğlu, Yahya Kemal İçen, Cancer Türkoglu, Gülbahar Yüksel Kalkan, Murat Çaylı

Adana Numune Eğitim ve Araştırma Hastanesi Seyhan Uygulama Merkezi Kardiyoloji Bölümü, Adana

Association of mean platelet volume and pre and post-interventional flow in the infarct related artery in ST-segment elevation myocardial infarction

Zafer Elbasan, Mustafa Gür, Durmuş Yıldırıay Şahin, Osman Kuloğlu, Yahya Kemal İçen, Cancer Türkoglu, Gülbahar Yüksel Kalkan, Murat Çaylı

Adana Numune Education and Research Hospital, Seyhan Application Center, Department of Cardiology, Adana

Background and Aim: Platelets play a pivotal role in pathogenesis of ST segment elevation myocardial infarction (STEMI). However, they are heterogeneous in size and haemostatic potential. It has been known that platelet size, measured as mean platelet volume (MPV), correlates with their reactivity. The aim of study was to assess the relationship between MPV and pre and post-interventional flow of infarct related artery (IRA) in patients with STEMI.

Methods: In this study, 840 STEMI patients who underwent primary percutaneous coronary intervention (PCI) were prospectively included (622 male, 218 female; mean age 58.6 ± 12.4 years). MPV and other biochemical markers were measured in admission. The patients were divided into three groups according to the tertiles of the MPV. Pre and post-PCI Thrombolysis In Myocardial Infarction (TIMI) flow grade was determined in all patients. Initial TIMI flow grade 3 was accepted as patent IRA. After the primary PCI, no-reflow was defined as post-PCI TIMI flow grade 0, 1 or 2 and normal flow was defined as post-PCI TIMI flow grade 3.

Results: The incidence of diabetes, neutrophil to lymphocyte ratio and troponin were significantly higher, while platelet counts were significantly lower in MPVhigh group than other groups (Table). When the MPV was increased, the incidence of pre-PCI patent IRA and post-PCI normal TIMI flow was significantly decreased ($p = 0.004$ and $p < 0.001$, respectively). Multivariate regression analysis showed that MPV was independently associated with post-PCI TIMI flow grade, diabetes, troponin levels and platelet counts.

Conclusion: MPV is independently associated with post-PCI TIMI flow grade, diabetes, troponin levels and platelet counts. Higher MPV may play a role in impaired microvascular reperfusion and infarct size in patients with STEMI.

Table. Comparison baseline characteristics

	MPV/low (<= 8.3) (n=281)	MPV/mid (<= 9.9) (n=280)	MPV/high (> 9.9) (n=279)	p value
Diabetes Mellitus n (%)	67 (%23.8)	81 (%29)	95 (%33.9)	0.031
Troponin (ng/ml)	11.8±9.5	14.3±12.4	17.3±19.1	<0.001
N to L ratio	4.7±3.2	5±3.4	5.8±4	0.001
Platelet(x1,000/ μ l)	260.9±79.3	240.6±62.4	226.9±67.5	<0.001

S-125

Akut ST-segment yükselmeli miyokard infarktüsü tanısı ile izlenen hastalarda CYP2C19 gen mutasyon analizinin klopidogrel direnci ile ilişkisinin araştırılması

Elnur İsayev¹, Afig Berdeli¹, Kamil Tülüce¹, Selcen Yakar Tülüce², Cemil Gürgün¹

¹Ege Üniversitesi Tip Fakültesi, Kardiyoloji Anabilim Dalı, İzmir

²İzmir Atatürk Eğitim ve Araştırma Hastanesi, Kardiyoloji Bölümü, İzmir

³Ege Üniversitesi Tip Fakültesi Çocuk Sağlığı ve Hastalıkları Anabilim Dalı, İzmir

Giriş: Aterosklerotik kalp hastalığı hastalarında uygulanan antitrombositer tedaviye yant değişkenlik göstermektedir. Bu çalışmanın amacı akut ST segment yükselmeli miyokard infarktüsü olan Türklerden oluşan bir hasta popülasyonunda klopidogrel direnci ile CYP2C19 gen mutasyonu arasındaki ilişkinin değerlendirilmesidir.

Gereç-Yöntem: Şubat 2011 ve Temmuz 2011 tarihleri arasında başvuran 60 akut ST segment yükselmeli miyokard infarktüsü (MI) hastası çalışmaya dahil edildi. Hastalara başvuru esnasında 300 mg klopidogrel verildikten sonra 6. ve 24. Saatte hastaların trombosit fonksiyonları Multiplate analyzer cihazı ile değerlendirildi. Ağıregasyon sonuçlarını göre klopidogrel tedavisine dirençli saptanın 30 hasta ve kontrol grubu olarak klopidogrel tedavisine direnç saptanmayan 30 hasta CYP2C19 gen tek nükleotid polymorfizmi (TNP) açısından analiz edildi.

Bulgular: Çalışmamızda CYP2C19 geninin I eksonunda yer alan 99C>T TNP ve CYP2C19 geninin VII eksonunda yer alan 991A>G TNP klopidogrel tedavisine dirençle ilişkili bulundu ($p=0,021$ ve $p=0,021$). Bununla birlikte CYP2C19 geninin V eksonunda yer alan 681G>A TNP ve VII eksonunda yer alan 990C>T TNP klopidogrel tedavisine dirençli hasta grubunda gösterilmesine rağmen direnç istatistiksel olarak ilişkili bulunmadı ($p=0,748$ ve $p=0,706$).

Sonuç: Çalışmamızda CYP2C19 geninin I eksonunda yer alan 99C>T TNP ve CYP2C19 geninin VII eksonunda yer alan 991A>G TNP'lerinin diğer etnik popülasyonlarda nonpatogenik olmasına rağmen Türk etnik popülasyondaki MI hastalarında klopidogrel direnci ile ilişkili olduğu bulunmuştur. Farklı gen bölgelerinde gösterilmiş olan mutasyonların farklı ırk veya etnik popülasyonlarda farklı patojenik sonuçları neden olduğu ve hastaların tedavi şeklinin etnik popülasyona özgü verilere dayandırılması önem taşımaktadır.

Coronary heart diseases

S-125

Association between clopidogrel resistance and mutation of CYP2C19 gene in patients with ST segment elevation acute myocardial infarction

Elnur İsayev¹, Afig Berdeli¹, Kamil Tülüce¹, Selcen Yakar Tülüce², Cemil Gürgün¹

¹Department of Cardiology, Ege University Faculty of Medicine, İzmir

²İzmir Atatürk Training and Research Hospital, Clinics of Cardiology, İzmir

³Department of Pediatric Health and Diseases, Ege University Faculty of Medicine, İzmir

Purpose: Response to antiplatelet therapy in patients with atherosclerotic heart disease is variable. The aim of this study was to determine the association between clopidogrel resistance and mutation of CYP2C19 gene in patients with ST elevated acute myocardial infarction (MI) in a Turkish patient population.

Method: Sixty patients with ST elevated acute MI who were admitted to hospital between January 2011 and July 2011 were included to this study. Patients' platelet reactivity was measured by multiple electrode aggregometer (Multiplate Analyzer) on 6th and 24th hour after administration of 300 mg of clopidogrel. To identify the role of single nucleotide polymorphism (SNP) of CYP2C19 gene in clopidogrel resistance 30 patients with clopidogrel non-responsiveness and 30 patients with normal clopidogrel response were analyzed.

Results: We identified associations between clopidogrel resistance and 99C>T SNP on I exon of CYP2C19 gene and 991A>G SNP on VII exon of CYP2C19 gene ($p=0,021$ and $p=0,021$). Despite appearance of 681G>A SNP on V exon of CYP2C19 gene and 990C>T SNP on VII exon of CYP2C19 gene in group with clopidogrel non-responsiveness, the presence of these polymorphisms was not associated with clopidogrel resistance statistically ($p=0,748$ and $p=0,706$, respectively).

Conclusion: Although 99C>T SNP on I exon of CYP2C19 gene and 991A>G SNP on VII exon of CYP2C19 gene were determined as nonpathogenic SNPs in different ethnic populations, we found significant association between these SNPs and clopidogrel resistance in a Turkish patient population with MI in the present study. Considering the fact of variability in pathogenic consequences of various mutations shown in different gene zones of various racial and ethnic populations, strategy of treatment should be based on data specific to the ethnic population.

S-126

Akut koroner sendromlu hastalarda aterosklerotik yük ile koroner arter lezyon kompleksitesi arasındaki ilişki

Levent Korkmaz¹, Adem Adar¹, Ayca Ata Korkmaz², Hakan Erkan¹, Mustafa Tarik Agac¹, Zeydin Acar¹, Ibrahim Halil Kurt³, Ali Riza Akyuz², Sukru Celik¹

¹Ahi Evren Kalp ve Damar Cerrahisi Eğitim Araştırma Hastanesi, Trabzon

²Akçaabat Devlet Hastanesi, Trabzon

³Adana Numune Eğitim ve Araştırma Hastanesi, Adana

S-126

Atherosclerosis burden and coronary artery lesion complexity in acute coronary syndrome patients

Levent Korkmaz¹, Adem Adar¹, Ayca Ata Korkmaz², Hakan Erkan¹, Mustafa Tarik Agac¹, Zeydin Acar¹, Ibrahim Halil Kurt³, Ali Riza Akyuz², Sukru Celik¹

¹Ahi Evren Thoracic And Cardiovascular Surgery Training And Research Hospital, Trabzon

²Akçaabat State Hospital, Trabzon

³Adana Numune Training And Research Hospital, Adana

Background: Syntax score (SS) is a prognostic marker in patients with acute coronary syndromes (ACS). Carotid intima media thickness (CIMT) and cardio ankle vascular index (CAVI) are well known surrogate marker of atherosclerosis burden. But association between atherosclerosis burden and coronary artery disease (CAD) complexity in ACS patients has not been investigated yet.

Methods-Results: Consecutive patients with first time diagnosis of ACS ($n=172$) were enrolled. SS, a marker of CAD complexity, was assessed by dedicated computer software. CIMT was examined by B-mode ultrasound. CAVI was assessed by VaSera VS-1000 cavi instrument. SS for low, intermediate and high tertiles of CIMT value were $10,1 \pm 8,2$ vs $11,4 \pm 7,9$ and $15,2 \pm 8,8$; $p=0,02$. SS for normal, borderline and abnormal CAVI values were $4 \pm 3,7$ vs $11,1 \pm 7,2$ and $14,1 \pm 9,1$, respectively $p=0,009$. Also, there was independent association between SS and CIMT (95% confidence interval [CI] 2,1–19, $p=0,014$) and CAVI (95% CI 15–29, $p=0,021$). Neither traditional cardiovascular risk factor nor thrombolysis in myocardial infarction (TIMI) risk score was independent determinant of SS.

Conclusions: We have shown that patients with higher atherosclerosis burden have more complex coronary artery lesions. Also these patients may be identified early by using surrogate markers of atherosclerosis. Its clinical significance requires further research.

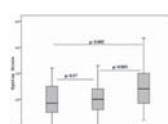


Fig. 1



Fig. 2

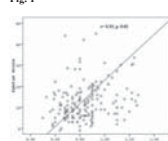


Fig. 3

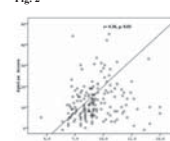


Fig. 4

S-127

Akut koroner sendromlu hastalarda uzun pentraksin-3 düzeyinin prognostik önemi

Servet Altay¹, Huseyin Altug Cakmak², Tugba Kemaloglu¹, Ayca Turer¹, Betul Eren¹, Gunay Can³, Ibrahim Keles², Mehmet Eren¹

¹Dr. Siyami Ersek Göğüs, Kalp ve Damar Cerrahisi Eğitim ve Araştırma Hastanesi, Kardiyoloji Kliniği, İstanbul

²Istanbul Üniversitesi Cerrahpaşa Tip Fakültesi, Kardiyoloji Anabilim Dalı, İstanbul

³Istanbul Üniversitesi Cerrahpaşa Tip Fakültesi, Halk Sağlığı Anabilim Dalı, İstanbul



Genel

S-128

ST elevasyonlu miyokard infarktüsü ile başvuran opere koroner arter hastalığı olan hastalarda nativ ve greft'e girişimin kısa ve uzun dönem mortalite ve morbidite üzerine etkisi

Özlem Yıldırımtürk, Seçkin Satılmış, Emrah Bozbeyoğlu, Aylin Sungur, Zekeriya Nurkalem

Dr. Siyami Ersek Göğüs, Kalp ve Damar Cerrahisi Eğitim ve Araştırma Hastanesi, Kardiyoloji Kliniği, İstanbul

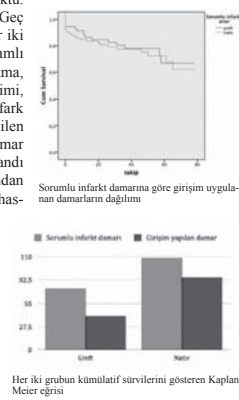
Giriş: Geçirilmiş koroner arter bypass greft (KABG) operasyonu olan hastalarda ST elevasyonlu miyokard infarktüsü (MI) sonrasında primer perkütan koroner girişim (PKG) ile veriler sınırlıdır. Bu hastalarda, sorumluluğun belirlenmesi, nativ damara girişim ile bypass greftine yapılan girişimin, bu hastaların mortalite ve morbiditeleri üzerine etkileri, greft dejenerasyonu ile bu parametrelerin ilişkisini değerlendirmeyi amaçladık.

Yöntem: Opere koroner arter hastalığı (KAH) bulunuş ST elevasyonlu miyokard infarktüsü nedeniyle primer PKG yapılanardı 180 hasta bu amacılı retrospektif olarak değerlendirildi. Bu hastalardan 55'inde (%30.5) koroner anotominin değerlendirilmesi sonrası tıbbi tedavi kararı alındı. 125 (%69.5) hasta perkütan koroner girişim yapıldı. Hastalar kardiyovasküler risk faktörleri, anjiyografik değişkenler, gelişen komplikasyonlar, yaş esnasında ve geç dönemde mortaliteleri açısından karşılaştırıldı.

Bulgular: Çalışmaya dahil hastaların 150 (%83.3)'ı erkek ve ortalaması yaşı 64.2±10.2 yıldır. Hastalara operasyon sonrası ortalama 97.2±66.3 ayda girişim yapıldı. Gruplar arasında yaş, cinsiyet ve kardiyovasküler risk faktörleri açısından anlamlı fark yoktu.

Yatış esnasında mortalite hastaların 15'inde (%8.3) gözlemlendi. Geç dönemde mortalite hastaların 25'inde (%13.8) tespit edildi. Her iki grup arasında erken ve total mortalite açısından aralarında anlamlı fark bulunmadı. Gruplar arasında akut renal yetersizlik, kanama, serebrovasküler olay, olmucul aritmi, kardiyojenik şok gelişimi, tekrarlayan MI ve tekrar PKG gereklisini açısından anlamlı fark tespit edildi. Sorumlu infarkt arteri greft olarak tespit edilen hastaların sadecce %55.6'sında PKG uygulanırken, nativ damar lezyonu tespit edilen hastaların %67.8'inde PKG uygulandı ($p=0.003$) (Şekil-1). Her iki grup greft dejenerasyonu açısından değerlendirildiğinde; sorumlu infarkt arterinin greft olduğu hastaladı bu skorun anlamlı olarak daha yüksek olduğunu tespit edildi ($p=0.022$). Sorumlu infarkt damarına ve girişim yapılan damara göre hastalar mortalite ve morbidite açısından değerlendirildiğinde aralarında anlamlı fark gözlemlendi (Şekil-2).

Sonuç: Opere KAH olan hastalar ST elevasyonlu MI ile hastaneye başvurduklarında sorumlu infarkt, damarı greft olsa bile, nativ damara girişim yapılmamaktadır. Sorumlu arterin greft ya da nativ olması, girişim yapılan damarın greft ya da nativ olması hastaların mortalite ve morbiditelerinde farklılık göstermemektedir.



S-127

Prognostic significance of long pentraxin-3 level in patient with acute coronary syndrome

Servet Altay¹, Huseyin Altug Cakmak², Tugba Kemaloglu¹, Ayca Turer¹, Betul Eren¹, Gunay Can³, Ibrahim Keles³, Mehmet Eren¹

¹Dr. Siyami Ersek Thoracic and Cardiovascular Training and Research Hospital, Department of Cardiology, İstanbul

²Istanbul University Cerrahpaşa Medical Faculty, Department of Cardiology, İstanbul

³Istanbul University Cerrahpaşa Medical Faculty, Department of Public Health, İstanbul

Introduction: Pentraxin-3 (PTX3), a recently identified member of the pentraxin family, is referred to as a long pentraxin and contains a unique PTX3 domain not found in C-reactive protein (CRP). In contrast to CRP, PTX3 is produced from the major cell types involved in atherosclerotic lesions, namely vascular endothelial cells, vascular smooth muscle cells, macrophages, and neutrophils in response to inflammatory stimuli. Pentraxin-3 (PTX3) may be a useful marker for localized vascular inflammation and damage to the cardiovascular system. Recent studies have shown that plasma PTX3 is elevated in patients with acute coronary syndrome (ACS); however, its prognostic value in this disease remains unclear. The aim of this study was to assess the prognostic value of PTX3 in patients with ACS compared with the best-known and clinically important biomarkers.

Methods: In the present study, serum PTX3 levels were measured on admission in 140 consecutive patients (mean age of 59.72 ± 12.32 ; 72 % males) hospitalized for ST-segment elevation myocardial infarction (STEMI)(n= 81) and non-ST elevation ACS (n=59) within 24h (mean of 6.8 h) after the onset of chest pain or chest discomfort. While the primary clinical end-point was cardiac mortality; rehospitalization for ACS, reinfarction, restenosis, stroke, hemodynamically significant arrhythmia, and acute heart failure were considered as secondary end-points. The patients were followed-up for one year after the index event.

Results: The pentraxin-3 level was higher in STEMI group than NSTE-ACS (2.38±0.88 ng/mL and 2.12 ±0.68 ng/mL respectively $p=0.07$). There was statistically significant relation between serum pentraxin-3 level and cardiac mortality ($p=0.003$), rehospitalization for ACS ($p=0.005$), reinfarction ($p <0.001$), stroke ($p=0.01$), hemodynamically significant arrhythmia ($p=0.002$), acute heart failure ($p <0.001$) and restenosis ($p=0.025$) in STEMI group. Also, there was significant relation between serum pentraxin-3 level and cardiac mortality ($p <0.001$), rehospitalization for ACS ($p=0.001$), reinfarction ($p <0.001$), stroke ($p=0.02$), hemodynamically significant arrhythmia ($p=0.001$), acute heart failure ($p <0.001$) and restenosis ($p=0.03$) in NSTE-ACS.

Conclusion: In addition to previous studies, we could show the prognostic significance of PTX3 in patients with ACS in our study. The PTX3 may be implicated as a predictor of adverse clinical outcomes in long term follow-up in patient with ACS. The limitation of this study was having a small study group and limited follow-up period. Further studies are needed to support predictive role of PTX3 for future cardiovascular events in ACS with more study population.

General

S-128

The effect of native or graft intervention in patients with operated coronary artery disease who admitted by ST elevation myocardial infarction on short and long term mortality and morbidity

Özlem Yıldırımtürk, Seçkin Satılmış, Emrah Bozbeyoğlu, Aylin Sungur, Zekeriya Nurkalem

Dr. Siyami Ersek Thoracic and Cardiovascular Training and Research Hospital, Department of Cardiology, İstanbul

Genel

S-129

İzole koroner arter ektazisi ve koroner yavaş akımı olan hastalarda asimetrik dimetilarjinin düzeylerinin değerlendirilmesi

Zafer Küçükşu¹, Halis Sinan², Korhan Soylu³, Hikmet Hamur¹, Mahmut Şahin³

¹SB. Erzincan Üniversitesi Mengücek Gazi Eğitim ve Araştırma Hastanesi, Kardiyoloji Bölümü, Erzincan

²Giresun Prof Dr. A. İlhan Özdemir Devlet Hastanesi, Kardiyoloji Bölümü, Giresun

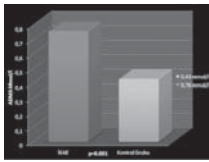
³Ondokuz Mayıs Üniversitesi Tıp Fakültesi, Kardiyoloji Anabilim Dalı, Samsun

Giriş: Şu ana kadar etyopatogenezi tam olarak açıklığa kavuşturulmamış olan ancak aterosklerozun patogenezinde önemli rol aldığı daha önce çeşitli yöntemler ile gösterilmiş olan İzole Koroner Arter Ektazisi (IKEA) ve Koroner Yavaş Akımı (KYA) olan hasta grublarında aterosklerozun bir göstergesi olduğu kabul edilen Asimetrik Dimetilarjinin düzeylerinin incelenmesidir.

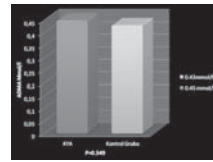
Yöntem: Retrospektif ve prospектив olarak Ondokuz Mayıs Üniversitesi Tıp Fakültesi Kardiyoloji Anabilim Dalında Haziran 2007-Ağustos 2010 tarihleri arasında yapılan koroner anjiografiler içinde olgularımız seçildi. Çalışmaya seçilme kriterlerini karşılayan ve ortalama yaşı 56 ± 8.5 olan 50 hasta IKEA grubuna yaş ortalaması 54 ± 8.9 olup 30 hasta KYA grubuna yine yaş ortalaması 54 ± 7.5 ve koroner anjografisi normal olarak değerlendirilen 30 hasta kontrol grubu olarak çalışmaya dahil edildi. Hasta gruplarının açık plazma venöz kanları toplu bir şekilde HPLC (Yüksek performanslı sıvı kromatografi) yöntemi ile ölçüldü.

Bulgular: IKEA'sı grubu ile kontrol grubunun ortalama ADMA düzeylerinin karşılaştırılmasında istatistiksel olarak anlamlı farklılık bulundu ($p=0.001$). IKEA grubunda ADMA düzeyi kontrol grubuna göre daha yüksek düzeydedi. KYA grubu ile kontrol grubu ADMA düzeyleri açısından karşılaştırıldı. KYA grubunda ortalama ADMA düzeyi kontrol grubuna göre daha düşük olma eğilimindeydi ancak gruplar arasında istatistiksel olarak anlamlı farklılık bulunmadı ($p=0.549$).

Sonuç: IKEA ile normal koroner grubu arasında plazma ADMA düzeyi açısından istatistiksel olarak anlamlı derecede yükseltti. KYA grubu ile kontrol grubu arasında ADMA düzeyleri açısından fark saptanmadı. IKEA patogenezinde; aterosklerozun önemli olduğunu ve ADMA'nın etkili olduğu NO aracılı vazooktif olayların etyopatogenezinde rol aldığını göstermektedir. KYA grubumuzda elde ettigimiz veriler KYA patogenezinde ADMA etkin olduğu NO aracılı vazooktif olayların dişındaki etmenlerin daha aktif rol aldığını göstermektedir.



IKAE grubu ile kontrol grubu arasında
ADMA düzeylerinin karşılaştırılması



Koroner Yavaş akım ve kontrol grubu
hastalarında ortalama ADMA düzeylerinin
karşılaştırılması

Koroner kalp hastalıkları

S-130

Yavaş koroner akım olan hastalarda plazma asimetrik dimetilarjinin, nitrik oksid ve homosistein konsantrasyonları

Habil Yücel¹, Mehmet Özaydin², Abdullah Doğan², Doğan Erdoğan², Yasin Türker³, Betül Mermi Ceyhan⁴, Recep Sütçü⁴

¹Isparta Devlet Hastanesi, Kardiyoloji Kliniği, Isparta

²Süleyman Demirel Üniversitesi Tıp Fakültesi, Kardiyoloji Anabilim Dalı, Isparta

³Düzce Üniversitesi Tıp Fakültesi, Kardiyoloji Anabilim Dalı, Düzce

⁴Süleyman Demirel Üniversitesi Tıp Fakültesi, Biyokimya Anabilim Dalı, Isparta

General

S-129

Evaluation of the level of asymmetric dimethylarginine in patients with isolated coronary artery ectasia (ICAЕ) and coronary slow flow (CSF)

Zafer Küçükşu¹, Halis Sinan², Korhan Soylu³, Hikmet Hamur¹, Mahmut Şahin³

¹Department of Cardiology, SB. Erzincan University Mengücek Gazi Training and Research Hospital, Erzincan

²Department of Cardiology, Giresun Prof Dr. A. İlhan Özdemir State Hospital, Giresun

³Department of Cardiology, Ondokuz Mayıs University Faculty of Medicine, Samsun

Coronary heart diseases

S-130

Plasma concentrations of asymmetric dimethylarginine, nitric oxide and homocysteine in patients with slow coronary flow

Habil Yücel¹, Mehmet Özaydin², Abdullah Doğan², Doğan Erdoğan², Yasin Türker³, Betül Mermi Ceyhan⁴, Recep Sütçü⁴

¹Isparta State Hospital, Cardiology Department, Isparta

²Süleyman Demirel University, Faculty of Medicine, Cardiology Department, Isparta

³Düzce University, Faculty of Medicine, Cardiology Department, Düzce

⁴Süleyman Demirel University, Faculty of Medicine, Biochemistry Department, Isparta

Objectives: Slow coronary flow (SCF) is slow progression of contrast agent in the coronary arteries in the absence of stenosis in epicardial coronary vessels. Endothelial dysfunction and diffuse atherosclerosis have been proposed for the etiology of SCF. Asymmetric dimethylarginine (ADMA)-endogenous inhibitor of nitric oxide synthesis- levels are associated with an increased risk of endothelial dysfunction and atherosclerosis. ADMA levels may be increased by homocysteine. The aim of this study was to evaluate the relationship between ADMA, nitric oxide and homocysteine in patients with SCF.

Methods: The study group consisted of 50 patients with SCF. An age and gender matched control group was composed of 30 patients with normal coronary arteries and normal coronary flow on coronary angiography. We measured ADMA, nitric oxide and homocysteine plasma concentrations in all patients.

Results: Plasma nitric oxide concentrations were significantly lower in the SCF group than control group (11.4 ± 6.1 , 16.1 ± 9.0 , $p=0.02$). Plasma ADMA concentrations (0.9 ± 0.3 , 0.7 ± 0.3 , $p=0.01$) and plasma homocysteine concentrations (12.4 ± 5.0 , 9.8 ± 2.0 , $p=0.03$) were significantly higher in the SCF group than control group. The mean TIMI frame count (TFC) was significantly correlated with plasma ADMA ($r=0.26$, $p=0.02$) and homocysteine ($r=0.28$, $p=0.02$) concentrations, but not with nitric oxide concentrations ($r=-0.18$, $p=0.13$). In linear regression analysis, plasma ADMA concentrations ($\beta=4.6$, $p=0.005$) and homocysteine concentrations ($\beta=0.2$, $p=0.03$) were independently and positively associated with mean TFC.

Conclusion: Our results suggest that plasma concentrations of ADMA and homocysteine are increased in SCF and also, these are independent predictors of SCF.

Santral diastolik kan basıncı koroner kollateral gelişimi ile ilişkilidir

Meltem Refiker Ege¹, Ali Zorlu², Mehmet Birhan Yılmaz², Savaş Açıkgöz², Yeşim Güray⁴, Umit Güray⁴, Halil Kisacık⁴

¹Ankara Özel Koru Hastanesi, Kardiyoloji Kliniği, Ankara

²Cumhuriyet Üniversitesi Tıp Fakültesi, Kardiyoloji Anabilim Dalı, Sivas

³Kavaklıdere Umut Hastanesi, Kardiyoloji Kliniği, Ankara

⁴Ankara Türkiye Yüksek İhtisas Hastanesi, Kardiyoloji Bölümü, Ankara

Amaç: Birçok çalışmada koruyucu rolü kanıtlamış olan koroner kollateral damalar, tıkaçı koroner arter hastalığında kan akımı için alternatif bir yol görevi görür. Bu çalışma çeşitli kan basıncı komponentleri ve diğer klinik ve labaratuvar bulgular ile koroner kollateral derecesi arasındaki ilişkili araştırmayı üzere planlandı.

Metod: Bu prospektif çalışmaya koroner angiografi yapılan iki yüzelli hasta dahil edildi. Koroner angiografi Judkins teknigi ile yapıldı. İntraarteriel basıncılar inen aortadan standart fluid-filled katherer sistem ile ölçüldü. Periferik kan basıncıları dijital sifingomomanometre ile ölçüldü. Tüm kan örnekleri hasta kabulünde alındı.

Bulgular: Çalışma grubuna dahil edilen 65 hastada koroner kollateral gelişimi yeterli bulundu. Koroner kollateral gelişimi yeterli olan grupta santral ve diastolik periferik basıncılar anlamlı olarak daha düşük saptandı (Table 1). Tek değişkenli analizde genseini skoru, santral diastolik kan basıncı, erkek cinsiyet, periferik diastolik kan basıncı, kalp hızı, yaşı, total kolesterol, triglisirit, ahlak kan şekeri ve HDL-kolesterol seviyeleri yeterli koroner kollateral gelişimi ile ilgili bulundu (Table 2). Çok değişkenli lojistik regresyon analizinde sanral diastolik kan basıncı ve Gensini skoru yeterli koroner kollateral gelişiminin bağımsız prediktörleri olarak saptandı (Table 2).

Sonuç: Sonuç olarak, özellikle 80 mmHg'nın altında olan düşük santral diastolik kan basıncı iskemiye artırma riskini yeterli koroner kollateral gelişimi için önemli bir uyarı olabilir. Bu konuya aydınlatmak için daha ileri çalışmalarına yapılmalıdır.

Tablo 1. Yeterli ve yetersiz koroner kollateral dolaşımı olan hastaların bazal özelliklerinin karşılaştırılması

	Tüm hastalar (n=242)	Yeterli koroner kollateral dolaşım (n=180)	Yetersiz koroner kollateral dolaşım (n=65)	p
Yaş (yıl)	61±11	61±11	63±11	0.101
Erolik cinsiyet (n/%)	173/71 119/66	55/65	0.004	
Vücut kitle indeksi (kg/m ²)	28.54±6.28 64.44	27.64±5.6	0.298	
Hiperantrenin(n/%)	139/57 105/58	34/52	0.401	
Düişbetis mellitus (n/%)	90/37 71/19	19/29	0.143	
Sigara (n/%)	66/27 52/29	14/22	0.252	
Aile ölüyüğü(n/%)	19/8 17/9	2/3	0.073	
Antiplatelet ilaçlar (n/%)	149/61 113/63	36/55	0.295	
ACE inhibitörleri/ARB(n/%)	149/61 113/63	36/55	0.295	
Beta-bloker(n/%)	108/44 81/45	27/42	0.630	
Kalsiyum kanal blokörü (n/%)	20/8 13/7	7/11	0.383	
Statin(n/%)	104/42 79/44	25/39	0.448	
Kalp hızı (atm/dakika)	73±10 73±9	68±11	0.014	
Periferik SKB (mmHg)	144±25 145±25	139±22	0.317	
Periferik DBP (mmHg)	87±15 88±15	80±14	0.035	
Periferik nabız basıncı(mmHg)	60±17 61±17	59±18	0.701	
Santral SKB(mmHg)	146±25 147±25	140±26	0.249	
Santral DBP(mmHg)	81±11 82±11	75±10	0.001	
Santral nabız basıncı(mmHg)	65±20 65±20	66±19	0.836	
Ure (mg/dl)	17±9 18±9	17±6	0.292	
Kreatinin(mg/dl)	1.1±1.2 1.2±1.4	1.1±0.9	0.521	
Ağır kan geceri(mg/dl)	131±71 126±68	146±80	0.001	
LDL-Kolesterol(mg/dl)	105±44 106±49	101±29	0.954	
HDL-Kolesterol (mg/dl)	40±10 41±9	38±12	0.091	
Triglisirit(mg/dl)	172±103 180±109	146±87	0.003	
Total Kolesterol(mg/dl)	175±49 180±52	161±33	0.012	
Hemoglobin(gr/dl)	14.1±1.8 14.2±1.8	14.0±1.8	0.549	
Gensini skoru	55±47 46±45	91±94	<0.001	

ARB: Anjiotensin reseptör blokörü DKB Diastolik Kan Basıncı SKB Sistolik Kan Basıncı

Central diastolic blood pressure is associated with the degree of coronary collateral development

Meltem Refiker Ege¹, Ali Zorlu², Mehmet Birhan Yılmaz², Savaş Açıkgöz², Yeşim Güray⁴, Umit Güray⁴, Halil Kisacık⁴

¹Department of Cardiology, Ankara Özel Koru Hospital, Ankara

²Department of Cardiology, Cumhuriyet University Faculty of Medicine, Sivas

³Department of Cardiology, Kavaklıdere Umut Hospital, Ankara

⁴Department of Cardiology, Ankara Türkiye Yüksek İhtisas Hospital, Ankara

Background: Coronary collateral (CC) vessels which proved to have a protective role in numerous investigations, serve as an alternative conduits for blood flow in obstructive coronary artery disease. This present study was designed to investigate the association of various components of blood pressure (BP) and other clinical and laboratory findings with the the degree of coronary collateralization.

Method: Two hundred forty five patients who underwent coronary angiography were included in this prospective cohort. Coronary angiography was performed by the Judkins technique. Interaarterial BP in the ascending aorta was determined using a standard fluid-filled catheter system. Readings of the conventional peripheral pressure was obtained using a digital sphygmomanometer. All blood samples were drawn at admission.

Result: In the study group, 65 patients were found to have adequate CC development. Central diastolic BP and peripheral diastolic BP were found to be significantly lower in the group with adequate CC (Table 1). Gensini score, central diastolic BP, male gender, peripheral diastolic BP, heart rate, age, total cholesterol, triglyceride, fasting glucose, and high-density lipoprotein cholesterol levels were found to be associated with adequate CC in univariate analysis (Table 2). In multivariate logistic regression model, central diastolic BP and Gensini score were found to be independent predictors of adequate CC (Table 2).

Conclusion: In conclusion, low central diastolic BP, particularly if it is lower than 80 mmHg, may be an important stimulus for adequate CC development at the cost of increased ischemia. Further studies should be carried out in order to elucidate this issue.

Table 1. Comparison of baseline characteristics between patients with adequate and inadequate coronary collateral circulation

	All patients (n=245)	Inadequate CCC(n=180)	Adequate CCC (n=65)	p
Mean age(years)	61±11	61±11	63±11	0.101
Male gender(n/%)	173/71 118/66	55/65	0.004	
BMI(kg/m ²)	28.54±6.28 64.4	27.64±5.6	0.298	
Hypertension (n/%)	139/57 105/58	34/52	0.401	
Diabetes Mellitus(n/%)	90/37 71/19	19/29	0.143	
Smoking(%)	66/27 52/29	14/22	0.252	
Family history(%)	19/8 17/9	2/3	0.073	
Antiplatelet agent	149/61 113/63	36/55	0.295	
ACE inhibitors/ARB	121/49 94/52	27/42	0.140	
Beta-blocker(n/%)	108/44 81/45	27/42	0.630	
Calcium channel blocker (n/%)	20/8 13/7	7/11	0.383	
Statin(n/%)	104/42 79/44	25/39	0.448	
Heart rate(beat/min)	73±10 73±9	68±11	0.014	
Peripheral SBP(mmHg)	144±25 145±25	139±22	0.317	
Peripheral DBP (mmHg)	87±15 88±15	80±14	0.035	
Peripheral PP(mmHg)	60±17 61±17	59±18	0.701	
Central SBP (mmHg)	145±25 147±25	140±26	0.249	
Central DBP (mmHg)	81±11 82±11	75±10	0.001	
Central PP (mmHg)	65±20 65±20	66±19	0.836	
Urea(mg/dl)	17±9 18±9	17±6	0.292	
Creatinine(gr/dl)	1.1±1.2 1.2±1.4	1.1±0.9	0.521	
Fasting glucose (gr/dl)	131±71 126±68	146±80	0.001	
LDL-Cholesterol (mg/dl)	105±44 106±49	101±29	0.954	
HDL-Cholesterol (mg/dl)	40±10 41±9	38±12	0.091	
Triglyceride(mg/dl)	172±103 180±109	146±87	0.003	
Total Cholesterol(mg/dl)	105±44 106±49	101±29	0.954	
HDL-Cholesterol (mg/dl)	40±10 41±9	38±12	0.091	
Triglyceride(mg/dl)	175±49 180±52	161±33	0.012	
Total Cholesterol(mg/dl)	175±49 180±52	161±33	0.012	
Hemoglobin(gr/dl)	14.1±1.8 14.2±1.8	14.0±1.8	0.549	
Gensini score	55±47 46±45	91±94	<0.001	

ARB: Anjiotensin receptor blocker BMI:Body Mass Index

CCC:Coronary Collateral Circulation DBP: Diastolic Blood Pressure

SBP: Systolic Blood Pressure

Table 2. Univariate and multivariate analyses of coronary collateral development

	Univariate	Multivariate						
	β	p	OR	95%CI	β	p	OR	95%CI
Gensini skor	0.019 <0.001	1.019 1.019	1.012-1.027	0.001 0.001	1.014 1.014	1.006-1.022		
Santral DBP(mmHg)	-0.064 -0.003	0.938 0.936	0.899-0.955 0.895-0.978	0.003 0.003	-0.064 -0.064	0.903 0.903	0.895-0.978 0.895-0.978	0.003 0.003
Erkek cinsiyet	1.061 0.005	2.890 6.061			1.061 0.005	2.890 6.061		
Total Kolesterol (mg/dL)	-0.012 0.006	0.988 0.987	0.980-0.997 0.980-0.997	0.001 0.001	-0.012 0.006	0.988 0.987	0.980-0.997 0.980-0.997	0.001 0.001
Periferik DBP(mmHg)	-0.056 0.011	0.949 0.988	0.930-0.969 0.930-0.969	0.001 0.001	-0.056 0.011	0.949 0.988	0.930-0.969 0.930-0.969	0.001 0.001
Kalp hızı(atm/dk)	-0.056 0.016	0.945 0.989	0.930-0.969 0.930-0.969	0.001 0.001	-0.056 0.016	0.945 0.989	0.930-0.969 0.930-0.969	0.001 0.001
Triglisirit (mg/dl)	-0.004 0.022	0.996 0.995	0.990-0.999 0.990-0.999	0.001 0.001	-0.004 0.022	0.996 0.995	0.990-0.999 0.990-0.999	0.001 0.001
Ağır kan geceri(mg/dl)	0.004 0.057	1.004 1.007	1.000-1.007 1.000-1.007	0.001 0.001	0.004 0.057	1.004 1.007	1.000-1.007 1.000-1.007	0.001 0.001
HDL-Kolesterol	-0.025 0.092	0.975 0.947	0.947-0.964 0.947-0.964	0.001 0.001	-0.025 0.092	0.975 0.947	0.947-0.964 0.947-0.964	0.001 0.001
Yaş (yıl)	0.022 0.102	1.022 1.049	0.996-1.006 0.996-1.006	0.001 0.001	0.022 0.102	1.022 1.049	0.996-1.006 0.996-1.006	0.001 0.001

DBP: Diastolic Blood Pressure OR: Odds Ratio SBP: Systolic Blood Pressure

All the variables from Table 1 were examined and only those significant at p<0.1 level are shown in univariate analysis. Multivariate logistic regression model including all the variables in the univariate analysis.

Ortalama platelet hacmi koroner kollateral gelişiminin önemli bir prediktördür

Meltem Refiker Ege¹, Savaş Açıkgöz², Ali Zorlu³, İsa Sincer⁴, Yeşim Güray⁵, Ümit Güray⁵, Burcu Demirkan⁶, Halil Kisacik³

¹Ankara Özel Koru Hastanesi, Kardiyoloji Kliniği, Ankara

²Kavaklıdere Umut Hastanesi, Kardiyoloji Kliniği, Ankara

³Cumhuriyet Üniversitesi Tıp Fakültesi, Kardiyoloji Anabilim Dalı, Sivas

⁴Gaziantep Devlet Hastanesi, Kardiyoloji Kliniği, Gaziantep

⁵Ankara Türkiye Yüksek İhtisas Hastanesi, Kardiyoloji Bölümü, Ankara

Amaç: Koroner arter hastlığında iskemik uyarıya cevap olarak gelişen kollateraller infarkt boyutunu, sol ventrikül disfonksiyonu ve mortalitenin azaltmasına katkıda bulundu. Bununla birlikte, koroner arter hastalarında koroner kollateral gelişimi açısından önemli farklılıklar saptanmaktadır. Bu çalışmada, ortalama platelet hacmi aracılığı ile saptanan platelet aktivasyonun derecesi ile koroner kollateral sirkülasyonu arasındaki ilişkinin araştırılması amaçlandı.

Metod: Çalışmaya koroner anjografisi yapılan ve en az bir koroner arterinde >50% darlık saptanmış olanlar (91±35, p<0.001)参加した。Klinik bilgiler ve kan örnekleri analizlerini hastaların dosyalarının inclemesine ile elde edildi. Ortalama platelet hacmi için örnekleri K3 EDTA ile analiz edildi ve kollateral damarlarının derecelendirilmesi Rentrop sınıflamasına göre yapıldı。

Bulgular: Çalışma grubunda, 210 hastanın 150'sinde koroner kollateral gelişiminin yetersiz olduğu saptandı. Heriki grup arasında platelet sayımı açısından fark saptanmadıken, yetersiz kollateral gelişimi olan hastalarda ortalama platelet hacmi düzeyleri anlamlı olarak daha yüksekti (11.3±1.0 fl vs 9.5±1.5 fl, p<0.001). Bunun dışında, yetersiz koroner kollateral gelişimi saptanmış hastaların gensini skorları anlamaları olarak daha düşük saptandı (45±46 vs 91±35, p<0.001) (Tablo 1). Ortalama platelet hacmi, gensini skoru, bayan cinsiyet, total kolesterol, kirmizi hücre dğılımlı genisliği, triglisirerit ve açık kan seker düzeylerinin yetersiz koroner kollateral gelişimi ile tek değişkenli lojistik regresyon modelinde, ortalama platelet hacmi (OR=2.45, p<0.001) ve gensini skoru (OR=0.98, p<0.001) yetersiz koroner kollateral gelişiminin bağımsız prediktörleri olarak saptandı (Tablo 2). ROC eğri analizinde, yetersiz koroner kollateral gelişimini predikte edecek ortalama platelet hacmi için optimal cut-off değeri, %96 duyarlılık ve %84.7 özgülük ile >9.6 fl olarak belirlendi.

Sonuç: Ortalama platelet hacmi, basit, zahmetsiz ve ucuz bir yöntem olarak önemli koroner arter hastalığı olanlarında koroner kollateral gelişimini predikte etmede kullanılabilir.

Tablo 1. Yetersiz ve yetersiz koroner kollateral gelişimi olan hastalarda klinik ve laboratuvar özelliklerinin karşılaştırılması

RDW: Kirmizi hücre dğılımlı genisliği MPV: Ortalama Platelet Hacmi CI: Confidence Interval OR: Odds Ratio Tablo 1 deki bütün değişkenler incelenmiş ve tek değişkenli analize saadece p değerleri <0.1 olanlar dahil edildi. Çoklu lojistik regresyon modeline tek değişkenli analizdeki tüm değişkenler dahil edildi.

Tablo 2. Bozulmuş koroner kollateral sirkülasyonu ve tek değişkenli analizleri

RDW: Kirmizi hücre dğılımlı genisliği MPV: Ortalama Platelet Hacmi CI: Confidence Interval OR: Odds Ratio Tablo 2 deki bütün değişkenler incelenmiş ve tek değişkenli analize saadece p değerleri <0.1 olanlar dahil edildi. Çoklu lojistik regresyon modeline tek değişkenli analizdeki tüm değişkenler dahil edildi.

Mean platelet volume is an important predictor of coronary collateral development

Meltem Refiker Ege¹, Savaş Açıkgöz², Ali Zorlu³, İsa Sincer⁴, Yeşim Güray⁵, Ümit Güray⁵, Burcu Demirkan⁶, Halil Kisacik³

¹Department of Cardiology, Ankara Özel Koru Hospital, Ankara

²Department of Cardiology, Kavaklıdere Umut Hospital, Ankara

³Department of Cardiology, Cumhuriyet University Faculty of Medicine, Sivas

⁴Department of Cardiology, Gaziantep State Hospital, Gaziantep

⁵Department of Cardiology, Ankara Türkiye Yüksek İhtisas Hospital, Ankara

Background: Collaterals, which develop in response to ischemic stimuli derived from coronary artery disease (CAD) contribute to reduction of infarct size, left ventricular dysfunction and mortality. However, there is considerable variation among patients with coronary heart disease regarding the extent of coronary collateral development (CCD). In this study, we aimed to investigate the association of the degree of platelet activation with coronary collateral circulation.

Method: Two hundred ten patients who underwent coronary angiography and had coronary stenosis > 50% in at least one coronary artery were included in the study. Clinical information and analyses of blood samples were obtained from a review of the patients' chart. Blood samples for MPV were analyzed by K3 EDTA and collateral vessels were graded according to the Rentrop classification.

Results: In the study group, 150 of the 210 patients were found to have inadequate CCD. Although there was no difference between the two groups with regard to platelet count, MPV levels were significantly higher in the patients who had inadequate CCD (11.3±1.0 fl vs 9.5±1.5 fl, p<0.001). Furthermore, the gensini score was significantly lower in patients who had inadequate CCD (45±46 vs 91±35, p<0.001) (Table 1). Mean platelet volume, gensini score, age, female gender, total cholesterol, red cell distribution width, triglyceride, and fasting glucose levels were found to have univariate association with poor CCD (Table 2). In multivariate logistic regression model, MPV (OR=2.45, p<0.001) and gensini score (OR=0.98, p<0.001) were found to be the independent predictors of impaired CCD (Table 2). In receiver operator characteristic (ROC) curve analysis, optimal cut-off value of MPV to predict inadequate CCD was found as > 9.6 fl, with 96% sensitivity and 84.7% positive predictive value.

Conclusion: MPV is an important, simple, effortless, and cost effective tool and can be useful in predicting the CCD in patients with significant CAD.

Table 1. Comparison of clinical and laboratory properties of patients with inadequate and adequate coronary collateral development

RDW: Kirmizi hücre dğılımlı genisliği MPV: Ortalama Platelet Hacmi CI: Confidence Interval OR: Odds Ratio Tablo 1 deki bütün değişkenler incelenmiş ve tek değişkenli analize saadece p değerleri <0.1 olanlar dahil edildi. Çoklu lojistik regresyon modeline tek değişkenli analizdeki tüm değişkenler dahil edildi.

Table 2. Univariate and multivariate analyses of impaired coronary collateral circulation

RDW: Kirmizi hücre dğılımlı genisliği MPV: Ortalama Platelet Hacmi CI: Confidence Interval OR: Odds Ratio Tablo 2 deki bütün değişkenler incelenmiş ve tek değişkenli analize saadece p değerleri <0.1 olanlar dahil edildi. Çoklu lojistik regresyon modeline tek değişkenli analizdeki tüm değişkenler dahil edildi.

MPV: Mean platelet volume RDW: Red cell Distribution Width CI: Confidence Interval OR: Odds Ratio All the variables from Table 1 were examined and only those significant at p<0.1 level are shown in univariate analysis. Multivariate logistic regression model including all the variables in univariate analysis.

The relationship between coronary collateral development and level of urotensin-2 in patients with or without diabetes mellitus

Yasin Karakuş¹, Mehmet Hakan Taşolar², Bilal Çuğlan¹, Ferhat Eyyüpkoça¹, Nusret Açıkgöz¹, Hasan Pekdemir¹, Ramazan Özdemir¹

¹İnönü Üniversitesi Tıp Fakültesi, Kardiyoloji Anabilim Dalı, Malatya

²Adiyaman Üniversitesi Eğitim ve Araştırma Hastanesi, Kardiyoloji Anabilim Dalı, Adiyaman

The relationship between coronary collateral development and level of urotensin-2 in patients with or without diabetes mellitus

Yasin Karakuş¹, Mehmet Hakan Taşolar², Bilal Çuğlan¹, Ferhat Eyyüpkoça¹, Nusret Açıkgöz¹, Hasan Pekdemir¹, Ramazan Özdemir¹

¹Department of Cardiology, College of Medicine, Inonu University, Malatya

²Department of Cardiology, Adiyaman University Training and Research Hospital, Adiyaman

Aim: Coronary collateral circulation consists of vascular channels which are activated to maintain perfusion in major epicardial coronary arteries in the development of severe stenosis or occlusion. Development of coronary collaterals in diabetic patients has been proven to be poor. U-II is known to be the most powerful vasoconstrictor agent. Plasma levels are known to increase in diabetic patients and plays an important role in diabetic complications. In this study, it was aimed to examine the relationship between U-II and the development of coronary collaterals.

Methods: 31 diabetic and 30 nondiabetic patients who have had 95% or more coronary artery stenosis or occlusion were included in the study. Collateral classification was made according to Rentrop classification. Poor Rentrop 0-1 collateral development were regarded as poor development whereas Rentrop 2-3 collateral development were regarded as good development. Serum levels of U-II were compared according to the degree of collateral development

Findings: The demographic characteristics were not different between the two groups ($p>0.05$). Development of coronary collaterals in diabetic patients was worse than those without diabetes, but not statistically significant. According to non urotensin-II levels in diabetic patients were higher (388,1±314,2; 229,8±216,9, $p=0.026$). In nondiabetic group, urotensin-II levels were higher in patients with poor coronarycollateral development than in patients with good coronary collateral development, but it was not statistically significant (370,6±298; 178,6±158,3, $p=0.2$). In the diabetic group, urotensin-II levels were high in patients with poor coronary collateral development and urotensin-II levels were low in patients with good coronary collateral development and this was statistically significant (582,7±316,4; 180,4±121,6, $P<0.0001$).

Results: We demonstrated that there was a significant association between urotensin-II levels and the development of coronary collateral circulation in patients with diabetes. We also determined that urotensin-II levels were low in diabetic patients with good collateral development while those with poor collateral development have a high level of urotensin-II.

Koroner arter ektazisi olan ve olmayan hastalarda Von Willebrand faktör (vWF) ve plazminojen aktivatör inhibitör-1 (PAI-1) düzeylerinin karşılaştırılması

Mustafa Yolcu, Ertan Yetkin, Gülmser Heper

Abant İzzet Baysal Üniversitesi Tıp Fakültesi, Bolu

The comparison of plasma Von Willebrand factor (VWF) and plasminogen activator inhibitor-1 (PAI-1) level in patient with and without coronary artery ectasia

Mustafa Yolcu, Ertan Yetkin, Gülmser Heper

Abant İzzet Baysal University Faculty of Medicine, Bolu

Objective: Coronary artery ectasia (CAE) is defined as localised or diffuse swellings of coronary arteries detected in patients without specific symptoms during routine coronary angiography. The aim of our study was to evaluate the serum levels of PAI-1 and vWF as markers of fibrinolytic activity, coagulation system and endothelial functions in patients with or without CAE.

Methods: In our study, 62 patients with isolated CAE, 95 patients with CAE and coronary artery disease (CAD), 50 patients with CAD alone and 52 patients with normal coronary anatomy were included. Isolated CAE was defined as having ectasia at least one epicardial coronary artery without critical ($> 50\%$) stenosis in other coronary artery territories. CAE and CAD was defined as having ectasia in any of the coronary arteries together with critical stenosis at least one coronary artery segment. Plasma VWF and PAI-1 levels were measured in all patients. Additionally demographic and laboratory parameters of those patients were evaluated and results were compared between groups.

Results: vWF levels were $1,51 \pm 0,95$ IU/ml, $1,43 \pm 0,89$ IU/ml, $1,22 \pm 1,02$ IU/ml in patients with isolated CAE, CAE and CAD, CAD alone respectively and $1,06 \pm 0,73$ IU/ml in patients with normal coronary arteries. The difference between groups were statistically significant in the analysis of data with the ANOVA test ($P=0,035$). PAI-1 levels were $10,93 \pm 6,53$ ng/ml, $9,68 \pm 5,60$ ng/ml, $15,63 \pm 8,93$ ng/ml in patients with CAE, CAE and CAD, CAD alone, respectively and $15,40 \pm 6,68$ ng/ml in patients with normal coronary arteries. Similarly, the difference between groups were statistically significant in the analysis of data with the ANOVA test ($P=0,000$).

Conclusions: In our study we have shown that vWF levels have increased and PAI-1 levels have decreased in CAE patients with or without CAD. The increase in the levels of vWF, which is a good indicator of endothelial function, indicates the ongoing activity of coagulation system. The decrease in PAI-1 levels shows that fibrinolytic system is activated in which activated plasmin leads MMP activation. Finally this activated MMP causes extracellular matrix degradation which is thought to be an important role player in ectasia pathogenesis.

Tablo. Characteristics of patients

	Isolated CAE (n=62)	Normal (n=52)	CAE + CAD (n=95)	CAD (n=50)	P value
Age	62±10	55±10	64±8	62±12	0.000
Hypertension	43 (69,3%)	33 (63,4%)	79 (83,1%)	39 (78%)	0.038
Diabetes mellitus	13 (20,9%)	10 (19,2%)	25 (26,3%)	15 (30%)	0.447
Hyperlipidemia	31 (17,7%)	3 (5,7%)	29 (30,5%)	10 (20%)	0.005
Smoking	33 (53,2%)	21 (40,3%)	49 (51,5%)	23 (46%)	0.492
CAD family history	18 (29,0%)	14 (26,9%)	36 (37,8%)	19 (38%)	0.417
Metabolic syndrome	44 (71%)	28 (54%)	65 (68%)	34 (68%)	0.217
vWF (IU/ml)	$1,51 \pm 0,95$	$1,06 \pm 0,73$	$1,43 \pm 0,89$	$1,22 \pm 1,02$	0,035
PAI-1 (ng/ml)	$10,93 \pm 6,53$	$9,68 \pm 5,60$	$15,63 \pm 8,93$	$15,40 \pm 6,68$	0,000

Yavaş koroner akım fenomeninde artmış serum çözünür CD40 ligandi düzeyi

Bülent Demir¹, İlker Murat Çağlar¹, Hande Oktay Türel¹, Serkan Çifçi¹, Cem Özde¹, Asuman Gedikbaş¹, Cafer Zorkun², Osman Karakaya¹

¹Bakırköy Dr. Sadi Konuk Eğitim ve Araştırma Hastanesi, Kardiyoloji Kliniği, İstanbul

²Yedikule Göğüs Hastalıkları ve Göğüs Cerrahisi Eğitim ve Araştırma Hastanesi, Kardiyoloji Kliniği, İstanbul

Increased serum soluble CD40 ligand levels in the slow coronary flow phenomenon

Bülent Demir¹, İlker Murat Çağlar¹, Hande Oktay Türel¹, Serkan Çifçi¹, Cem Özde¹, Asuman Gedikbaş¹, Cafer Zorkun², Osman Karakaya¹

¹Department of Cardiology, Bakırköy Dr. Sadi Konuk Training and Research Hospital, İstanbul

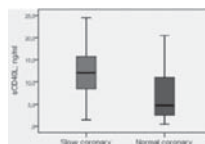
²Department of Cardiology, Yedikule Chest Diseases and Chest Surgery Training and Research Hospital, İstanbul

Background: Successful recanalization of chronic total occlusion (CTO) has been associated with improved left ventricular function, improved survival, relief of angina and increased exercise capacity. We evaluated the changes in cardiac functions and myocardial contractility of patients with CTO by 2-dimensional speckle tracking and real-time three-dimensional echocardiography (RT3DE) at 1 month after successful recanalization of chronic total occlusion.

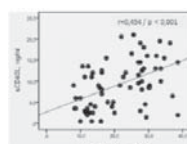
Method: Twenty-five patients who had successful PTCA of a total occlusion between September 2011 and December 2011 were included in this study (8 left anterior descending, 9 left circumflex, 8 right coronary artery). 2D strain analysis and RT3DE using iE33 (Philips) were performed before and 1 month after procedure. LV ejection fraction (LVEF), LV end-diastolic, end-systolic volumes and 3D systolic dyssynchrony index (SDI) were quantified. SDI was defined as follows: (standard deviation of time to minimal regional volume for 16 segments) $\times 100/RR$ duration.

Results: Patients had a mean age of 58 ± 11 years, 80% male, mean body mass index $28,6 \pm 3,8$, 32% diabetes mellitus, 88% hypertension, 96% hyperlipidemia and 12% smoker. 13 patients (52%) had ≥ 2 CCS angina score before procedure, whereas no patients had ≥ 2 angina score after PCI. Mean LVEF increased ($55,7 \pm 6,9$ to $59,9 \pm 7,6\%$; $p < 0,001$), end-diastolic volume ($76,7 \pm 18,1$ ml to $69,9 \pm 17,4$ ml; $p < 0,001$) and end-systolic volume decreased significantly ($34,6 \pm 12,2$ ml to $28,4 \pm 10,6$ ml; $p < 0,001$). Global longitudinal strain ($-11,4 \pm 2,9$ to $-12,9 \pm 3,1\%$; $p < 0,001$) showed a significant increase.

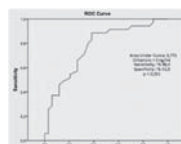
Conclusion: Successful recanalization of chronic total occlusion improves the functions and contractility of hibernating myocardium by restoring blood flow. Recanalization also improves patients angina class. Comparison of sCD40L serum levels of patients with slow coronary flow and normal coronary flow.



Comparison of sCD40L serum levels of patients with slow coronary flow and normal coronary flow



Correlation between serum sCD40L and mean Thrombolysis in Myocardial Infarction (TIMI) frame count ($r = 0,634$, $p < 0,001$)



Receiver operator characteristics (ROC) curve of sCD40L for detection of slow coronary flow

Normal koroner arterler tespit edilen diabetik ve prediabetik hastalarda non-diabetikler ile karşılaştırıldığında koroner kan akımı daha yavaştır

Ügur Arslan¹, Mustafa Mücahit Balci², İbrahim Kocaoglu²

¹Samsun Mehmet Aydin Eğitim ve Araştırma Hastanesi, Samsun

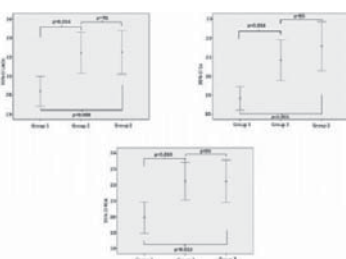
²Ankara Türkiye Yüksek İhtisas Hastanesi, Kardiyoloji Bölümü, Ankara

Amaç: Bu çalışmada amaç anjiyografik olarak normal koroner arterler tespit edilen hastalarda koroner kan akımını diabetik, pre-diabetik ve non-diabetik olmak üzere 3 ayrı grupta incelemektir.

Yöntemler: Bu retrospektif çalışmaya, Ocak 2010 ve Temmuz 2011 arasında koroner anjiyografisi yapılan ve normal koroner arterler tespit edilen 759 hasta dahil edilmiştir. Bu hastaların koroner anjiyogramları TIMI frame sayımı (TFS) için yeniden incelenmiştir. Ardından hastalar American Diabetes Association sınırlamasına göre 3 gruba ayrılarak incelenmiştir. Grup 1: Non-diabetik hastalar, grup 2: Prediabetik hastalar, grup 3: Diabetik hastalar. Aşağık plazma glukoz düzeyi <100 mg/dl olan hastalar grup 1'i oluşturdu. Prediabetes (grup 2) aşık glukozu >=100 mg/dl ve <126 mg/dl olarak tanımlanır. Diabetik (grup 3) hastalar ise aşık plazma glukozu >=126 mg/dl olan ve/veya oral antidiabetik ve/veya subkutan insülin ile antidiabetik tedavi alan hastaları.

Bulgular: ANOVA testi ile karşılaştırıldığında 3 koroner arterin her biri için TFS değerleri 3 grup arasında belirgin farklılık gösteriyor (Sol ön arter için düzeltilmiş TFS, sol sirkumflex arter ve sağ koroner arter için TFS değerleri 3 grupta söyle bulundu: Grup 1: 20.2 ± 6.8, 18.8 ± 5.4, 19.9 ± 8.7; Grup 2: 22.2 ± 8.0, 20.8 ± 7.9, 22.2 ± 8.8; Grup 3: 22.3 ± 9.2, 21.6 ± 10.2, 22.3 ± 10.6; her koroner arter için p değeri <0.01 bulundu). Post-hoc testler ile gruplar kendi içlerinde karşılaştırıldığında grup 2 ve grup 3'deki hastalarda benzer TFS değerleri elde edildi (her 3 koroner arter için p <0.017). Ancak her 2 gruptaki TFS değerleri non-diabetik olan grup 1'deki hastalardan anlamlı olarak daha yüksekti (her karşılaştırma için p değeri <0.017 idi) (Şekil 1).

Sonuçlar: Bu çalışmada ilk defa TFS ile ölçülen koroner kan akımının prediabetik hastalarda diabetik hastalar ile benzer olduğunu ancak non-diabetik hastalardan daha yavaş olduğunu gösterdi. Bu sonuc, overt diabetes ortaya çıkmadan pre-diabetik safhada endotel disfonksiyonunun başladığını desteklemektedir.



Şekil 1. Her 3 koroner arter için TIMI frame sayımı CI: Givensel aralığı, LADc: sol ön arter için düzeltilmiş TFS, Cx: Sol sirkumflex arter için TFS, RCA: sağ koroner arter için TFS, NS: Anlamlı değil Post-hoc karşılaştırmalar için p<0.017 anlamlı kabul edildi.

Coronary blood flow is slower in prediabetic and diabetic patients with normal coronary arteries when compared to non-diabetics

Ügur Arslan¹, Mustafa Mücahit Balci², İbrahim Kocaoglu²

¹Samsun Mehmet Aydin Eğitim ve Araştırma Hastanesi, Samsun

²Ankara Türkiye Yüksek İhtisas Hastanesi, Kardiyoloji Bölümü, Ankara

Objective: To compare coronary blood flow in diabetic, pre-diabetic and non-diabetic patients with angiographically normal coronary arteries.

Methods: In this retrospective study, 759 patients with normal coronary arteries who underwent coronary angiography between January 2010 and July 2011 were enrolled. The angiograms of the eligible patients were reviewed again for TIMI frame counting. Patients were then grouped according to their status of DM: Group 1: Non-diabetic patients, group 2: prediabetic patients, group 3: patients with DM. This classification was based on the American Diabetes Association criteria: Patients with fasting plasma glucose <100 mg/dl formed group 1. Prediabetes (group 2) was defined as a fasting glucose level higher than or equal to 100 mg/dl and lower than 126 mg/dl. Diabetic patients with a fasting plasma glucose higher or equal to 126 mg/dl or using anti-diabetic medications either oral anti-diabetics or subcutaneous insulin regardless of their plasma glucose levels formed group 3.

Results: TIMI frame counts for each of 3 coronary arteries were found to be significantly different between groups with ANOVA test (Corrected TIMI frame counts for left anterior descending artery and TIMI frame counts for left circumflex and right coronary arteries are given respectively in 3 groups: Group 1: 20.2±6.8, 18.8±5.4, 19.9±8.7; Group 2: 22.2±8.0, 20.8±7.9, 22.2±8.8; Group 3: 22.3±9.2, 21.6±10.2, 22.3 ± 10.6; p<0.01 for each coronary artery). When the groups were compared to each other with post-hoc tests, group 2 and group 3 had similar TIMI frame counts for all 3 coronary arteries but both of these groups had significantly higher TIMI frame counts than group 1 (p values for each comparison were <0.017) (Figure 1).

Conclusions: We have revealed for the first time that in prediabetic patients, coronary flow as measured by TIMI frame count is slower than the non-diabetic patients and similar to diabetic patients. This result supports that endothelial dysfunction develops in the prediabetic phase before overt diabetes mellitus arises.

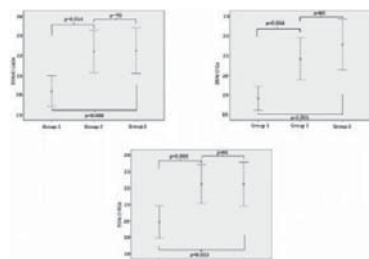


Figure 1. TIMI frame counts for 3 coronary arteries CI: Confidence interval, LADc: Corrected TIMI frame count for left anterior descending artery, CX: TIMI frame count for left circumflex artery, RCA: TIMI frame count for right coronary artery, NS: Not significant Group 1: Non-diabetic patients, Group 2: Prediabetic patients, Group 3: Diabetic patients P<0.017 was significant for post-hoc comparisons.

Fraksiyonel akım rezervi ile aortik pulsatile arasındaki ilişki

Serkan Duyuler¹, Pınar Türker¹, Belma Uygur², Ümit Güray¹, Orhan Maden¹, Süleyman Kalaycı¹, Halil Lütüf Küsatıcı¹

¹Ankara Türkiye Yüksek İhtisas Hastanesi, Kardiyoloji Bölümü, Ankara

²Karaman Devlet Hastanesi, Kardiyoloji Kliniği, Karaman

Amaç: Yüksek santral aort nabız basıncı (ANB) ve artmış aortik pulsatileitenin artmış aortik sertlik ilişkisi bilinmemektedir. Fraksiyonel akım rezervi (FAR) koroner lezyonların fonksiyonel ciddiyetini belirlemekte önemli bir aracıdır. FAR kalp hızı, kan basıncı gibi hemodinamik değişkenlerden etkilenmediği bilinmemektedir ancak invaziv aortik kan basıncı ölçümünlereinden elde edilen ANB ve AP'nin FAR ile olabillecek olası ilişkisi daha önce incelenmemiştir. Bu çalışmada FAR değeri ile hem asendan ortadan invaziv olarak ölçülen nabız basıncı ve AP değerleri arasında bir ilişki olup olmadığını araştırılmıştır.

Yöntem-Gereçler: Çalışmamızda koroner anjiyografi sonrasında FAR çalışılmış olan 90 hasta retrospektif olarak değerlendirildi. Fonsiyonel değerlendirme kararı verilen koroner lezyonların darlık yüzdesi ve lezyon uzunluğu ölçüldü. FAR basınç kayıtlarından işlem öncesi aortik sistolik kan basıncı(ASB), aortik diastolik kan basıncı(ADB), ANB (ASB-ADB) ve AP (ANB/aortik ortalama basıncı) değerleri hesaplandı. FAR değeri ile hem lezyon değişkenleri (yüzde darlık ve uzunluk) hem de aortik basınç değerleri ve AP arasında ilişki olup olmadığı değerlendirildi.

Bulgular: FAR değerlendirmesi yapılan koroner arterlerin tamamı sol ön arter (LAD) idi. Ortalama 169.5 ± 47.6 µg adenozin intrakoroner olarak uygulandı. Hastalar FAR >=0.80 (n=63) ve FAR<0.80 (n=27) olmak üzere iki gruba ayrıldı. İki grupta aşık kan şeker, triglisirerit, total kolesterol, LDL ve HDL gibi biyokimyasal değerler boy, kilo ve vücut kitle indeksi gibi antropometrik değerler açısından anlamlı farklılıklar gözlemlendi(Table 3). Tüm hastalar değerlendirildiğinde(Sekil 1) lezyon uzunluğu ile FAR değeri arasında orta derecede anlamlı negatif yönde bir korelasyon mevcut idi ($r = -0.282$ $p < 0.05$). Hastalar FAR açısından değerlendirilen koroner lezyonların kantitatif derecelendirilmesine göre %40-49, %50-59 ve %60-70 arası lezyonlar şeklinde üç gruba ayrılp AP ve FAR değeri arasında bir ilişki olup olmadığı araştırıldığına ise,(Şekil 2) sadece koroner lezyon derecesi %60-70 olarak ölçülen grupta AP ve FAR değerinin anlamlı şekilde negatif yönde korele olduğu izlendi ($r = -0.540$ $p < 0.05$). ANB ile herhangi bir korelasyon izlenmedi.

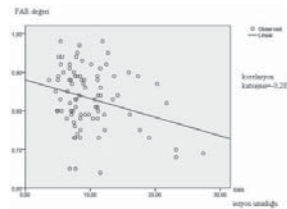
Sonuçlar: Azalmış aort elastikiyeti ile ilişkili bilinen AP özellikle koroner lezyonu derecesi kantitatif değerlendirme ile >=60 % olan hastalarda FAR değeri ile ilişkili görülmektedir. Bu durum özellikle ciddi koroner darlığı olan hastalarda artmış aort sertliğinin iskemi yüküne katkısı şeklinde değerlendirilebilir ancak bu ilişkili kantitatif değerlendirme daha az ciddi lezyonlar için geçerli görünmüremektedir.

Association between fractional flow reserve and aortic pulsatility

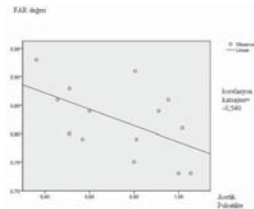
Serkan Duyuler¹, Pınar Türker¹, Belma Uygur², Ümit Güray¹, Orhan Maden¹, Süleyman Kalaycı¹, Halil Lütüf Küsatıcı¹

¹Department of Cardiology, Ankara Türkiye Yüksek İhtisas Hospital, Ankara

²Department of Cardiology, Karaman State Hospital, Karaman



Sekil 1. FAR değeri ile lezon uzunluğu arasındaki ilişki



Sekil 1. Lezon % 60 olarak öngörülen hastalarda aortik pulsüliteli ile FAR değeri arasındaki ilişki

Tablo 1. FAR anımlılığına göre demografik özelliklerin karşılaştırılması

	FAR >= 0,80 n=63	FAR < 0,80 n=27	p
Yaş	60,4±11,3	59,8±10,1	0,475
Kadın Cinsiyet	22 (% 34,9)	12 (% 44,4)	0,393
Erkek Cinsiyet	41 (% 65,1)	15 (% 55,5)	0,393
Diabetes Mellitus	19 (% 30,1)	8 (% 29,6)	0,960
Hipertansiyon	42 (% 66,6)	14 (% 51,9)	0,184
Hiperlipidemi	49 (% 77,7)	24 (% 88,8)	0,217

Tablo 2. FAR anımlılığı ile biyokimyasal ve antropometrik bulgular

	FAR >= 0,80 n=63	FAR < 0,80 n=27	p
Ağır kan şekeri (mg/dl)	127,5±60,6	117,0±45,0	0,546
Triglisirerit (mg/dl)	188,5±101,9	147,2±74,8	0,409
Total kolesterol (mg/dl)	208,1±45,9	202,9±45,3	0,237
LDL (mg/dl)	113,3±39,1	135,2±37,2	0,783
HDL(mg/dl)	43,7±21,6	42,3±11,0	0,278
Boynuz (m)	165,5±10,5	166,0±9,6	0,170
Kilo(kg)	78,7±13,1	79,3±13,58	0,516
VKI(kg/m2)	28,6±4,2	28,7±4,8	0,308

Tablo 3. FAR anımlılığına göre aortik kan basıncı değerleri

	FAR >= 0,80 n=63	FAR < 0,80 n=27	P
Aortik sistolik kan basıncı (mmHg)	145,6±27,7	133,1±27,7	0,444
Aortik diyalostik kan basıncı(mmHg)	75,7±12,9	68,5±17,0	0,281
Aortik nabız basıncı (mmHg)	69,8±21,4	64,5±18,4	0,934
Aortik pulsüliteli	0,70±0,17	0,72±0,19	0,405

Ötiroid hastalarda düşük serum FT3 düzeyleri koroner arter hastalığının varlığı ve şiddeti ile ilişkilidir: Gözlemeşel çalışma

Faruk Ertas, Hasan Kaya, Habib Çil, Mehmet Ata Akıl, Zuhal Arıtürk Atılgan, Yahya İslamoğlu, Mustafa Oylumlu, Ebru Tekbaş, Mehmet Serdar Soydinq, Mehmet Siddik Ülgen

Dicle Üniversitesi Tip Fakültesi, Kardiyoloji Anabilim Dalı, Diyarbakır

Lower serum free tri-iodothyronine levels are associated with presence and severity of coronary artery disease in the euthyroid patients

Faruk Ertas, Hasan Kaya, Habib Çil, Mehmet Ata Akıl, Zuhal Arıtürk Atılgan, Yahya İslamoğlu, Mustafa Oylumlu, Ebru Tekbaş, Mehmet Serdar Soydinq, Mehmet Siddik Ülgen

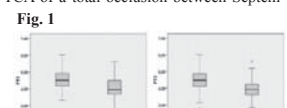
Department of Cardiology, Dicle University Faculty of Medicine, Diyarbakır

Background: Successful recanalization of chronic total occlusion (CTO) has been associated with improved left ventricular function, improved survival, relief of angina and increased exercise capacity. We evaluated the changes in cardiac functions and myocardial contractility of patients with CTO by 2-dimensional speckle tracking and real-time three-dimensional echocardiography (RT3DE) at 1 month after successful recanalization of chronic total occlusion.

Method: Twenty-five patients who had successful PTCA of a total occlusion between September 2011 and December 2011 were included in this study (8 left anterior descending, 9 left circumflex, 8 right coronary artery). 2D strain analysis and RT3DE using iE33 (Philips) were performed before and 1 month after procedure. LV ejection fraction (LVEF), LV end-diastolic, end-systolic volumes and 3D systolic dyssynchrony index (SDI) were quantified. SDI was defined as follows:(standard deviation of time to minimal regional volume for 16 segments) $\times 100/\text{RR duration}$.

Results: Patients had a mean age of 58±11 years, 80% male, mean body mass index 28,6±3,8, 32% diabetes mellitus, 88% hypertension, 96% hyperlipidemia and 12% smoker. 13 patients (52%) had >=2 CCS angina score before procedure, whereas no patients had >=2 angina score after PCI. Mean LVEF increased (55,7±6,9 to 59,9±7,6%; p<0,001), end-diastolic volume (76,7±18,1 ml to 69,9±17,4 ml; p<0,001) and end-systolic volume decreased significantly (34,6±12,2 ml to 28,4±10,6 ml; p<0,001). SDI also decreased significantly (6,8±3,7 to 4,3±3,3%; p<0,001). Global longitudinal strain (S: -11,4±2,9 to -12,9±3,1%; p<0,001) showed a significant increase.

Conclusion: Successful recanalization of chronic total occlusion improves the functions and contractility of hibernating myocardium by restoring blood flow. Recanalization also improves patients angina class.



Table

Chidical variable	Obtained value	P-value
FT3, pmol/L	2,284 (1,07-12,10)	0,008
Age, year	58,0 (40-80)	0,008
Male, n (%)	20/25 (80,0)	0,008
Total cholesterol, mg/dL	208,1 (45-450)	0,237
HDL, mg/dL	43,7 (21,6-74,8)	0,278
LDL, mg/dL	113,3 (39,1-37,2)	0,783
Globus, mmHg	78,7 (13,1-13,58)	0,516
VKI, kg/m2	28,6 (4,2-4,8)	0,308
Exercise duration (min)	0,017 (0,00-1,00)	0,001

Koroner kalp hastalıkları

S-139

Ortalama trombosit hacmi koroner arter hastalığı ciddiyeti ile ilişkili midir?

Berkay Ekici¹, Aycan Fahri Erkan¹, Aslıhan Alhan², Irmak Sayın³, Meltem Aylı⁴, Hasan Fehmi Töre¹

¹Ufuk Üniversitesi Tip Fakültesi, Kardiyoloji Anabilim Dalı, Ankara

²Ufuk Üniversitesi Fen Edebiyat Fakültesi, İstatistik Anabilim Dalı, Ankara

³Ufuk Üniversitesi Tip Fakültesi, İç Hastalıkları Anabilim Dalı, Ankara

⁴Ufuk Üniversitesi Tip Fakültesi, Hematoloji Anabilim Dalı, Ankara

Coronary heart diseases

S-139

Is the mean platelet volume associated with severity of the coronary artery disease?

Berkay Ekici¹, Aycan Fahri Erkan¹, Aslıhan Alhan², Irmak Sayın³, Meltem Aylı⁴, Hasan Fehmi Töre¹

¹Department of Cardiology, Ufuk University, Faculty of Medicine, Ankara

²Department of Statistics, Ufuk University, Faculty of Sciences and Literature, Ankara

³Department of Internal Medicine, Ufuk University, Faculty of Medicine, Ankara

⁴Department of Hematology, Ufuk University, Faculty of Medicine, Ankara

Objectives: Platelets represent an important linkage between inflammation, thrombosis, and atherosclerosis. Mean platelet volume (MPV) is elevated in patients with acute coronary syndrome and is used as an independent predictor of recurrent myocardial infarction and cardiac death. We aimed to determine the relationship between mean platelet volume and angiographic Gensini score which gives information about severity of the coronary artery disease (CAD).

Methods: This study enrolled 435 consecutive patients undergoing elective coronary angiography. The complete blood count and biochemical examination of blood were obtained after 12 hours fasting. The extent and severity of the CAD was evaluated by the Gensini score. The independent association between MPV and severity of the CAD was statistically evaluated using PASW Statistics 18 for Windows.

Results: Mean age of the study population was 58.4±9.3, of whom 196 were female (45.1%) and 239 were male (54.9%). Of the patients, 63.2% had CAD, 31.7% had diabetes mellitus (DM), 61.8% had hypertension (HT), 56.6% had hyperlipidemia (HL), and 38.6% of them were smokers. As the patients were statistically analyzed, mean Gensini scores were 7.1±4.7 and 57.3±30.9 in the minimal and severe CAD groups, respectively. According to Gensini score, 160 of the patients (36.8%) had normal coronary arteries (Gensini score:0), 134 of the patients (30.8%) had minimal CAD (Gensini score:1-19) and 141 of them (32.4%) had severe CAD (Gensini score>=20). Higher levels of Gensini score were calculated in men when compared to those in women (26.6±33.1; 13.6±26.9, respectively) ($p<0.000$). While there was no correlation between HT and severity of the CAD ($p=0.179$), diabetic, hyperlipidemic patients, and smokers had more severe CAD than controls ($p=0.006$; $p=0.000$; $p=0.000$, respectively). Mean MPV values were 8.4±1.0 fl in the group which has no CAD; 8.7±1.0 fl in the group with minimal CAD; 9.3±1.5 fl in the group with severe CAD. According to Spearman correlation analysis, a positive relationship between MPV and Gensini score was determined to be statistically significant ($p=0.000$, $r=0.290$). In logistic regression analysis, age, gender, DM, HT, HL, smoking, MDRD creatinine clearance, uric acid, GGT, hemoglobin, MPV, platelet count and total cholesterol/HDL ratio were the covariates. While MPV was found to be an independent predictor of CAD (Odds Ratio: 1.377) [95% confidence interval=1.085-1.748; $p=0.009$], gender, DM, HL, smoking were also found to affect the severity of CAD.

Conclusion: In this study, we determined a positive correlation between severity of the CAD and MPV. In regard to the association between Gensini score and MPV values, this simple hematology test can be used in determining cardiovascular disease risk besides other risk factors during routine clinical practice. So, we can say MPV can be considered as a marker of platelet reactivity or a risk factor for CAD. For further information about this topic, large scale studies are needed.

Kalp damar cerrahisi

S-140

Koroner arter bypass cerrahisi yapılan hastalarda kardiyovasküler risk faktörleri ve koroner ateroskleroz ciddiyetinin uzun dönem greft açıklık oranına etkisi

Kadriye Memic¹, Yelda Tayyareci¹, Nuran Yazıcıoğlu², Bingül Dilekçi¹, Ömer Yıldız², Selen Yurdakul², Çavlan Çiftçi¹

¹İstanbul Bilim Üniversitesi Florence Nightingale Hastanesi, Kardiyoloji Anabilim Dalı, İstanbul

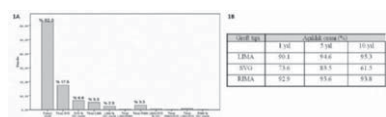
²Florence Nightingale Hastanesi, Kardiyoloji Bölümü, İstanbul

Amaç: Koroner arter bypass greft (KABG) cerrahisi sonrası başarı, greft açılığı ile doğru orantılıdır. KABG operasyonu geçen hastalarda nativ arterler ve bypass grefflerinde aterosklerotik süreç devam eder. Bu çalışmada amacımız, KABG cerrahisi öncesi belirlenen kişiye ait kardiyovasküler risk (KV) faktörlerinin ve koroner anjiyografide saptanan ateroskleroz şiddetinin, KABG cerrahisi sonrası uzun dönemde greft ömrüne etkisini araştırmaktır.

Yöntem: Çalışmaya, 1990-2010 yılları izole KABG cerrahisi uygulanan ve takiplerde çeşitli nedenlerle koroner anjiyografileri yapılan, toplam 974 hasta (738 erkek, 236 kadın, yaş ortalaması 57.9 ± 9.0) dahil edildi. Hastalara ait KV risk faktörleri ile operasyon öncesi ve sonrası koroner anjiyografilerindeki koroner arter hastalığının yaygınlığı, Gensini skor indeksi (GSI) hesaplanarak belirlendi. KV risk faktörlerinin, greft açıklık oranına etkisi analiz edildi.

Bulgular: Koroner anjiyografi sonucunda; tüm grefflerde açıklık oranı 1. yılda %52.6, 5. yılda %64.6, 10. yılda %38.4 bulundu. (Şekil 1A) Açıklık oranları hem erken (1.yıl), hem de geç dönenlerde (5 ve 10.yıl) arteriel grefflerde, venöz grefflerden daha iyidi. (Şekil 1B) KV risk faktörlerinden aile hikayesi ($p=0.005$), sigara ($p=0.001$) ve yaş ($p=0.004$)'ın greft oklüzyonu gelişimine etki eden en önemli faktörler olduğu bulundu. Tikali LIMA grefti ile DM (beta:0.03, $p=0.02$) ve GSI (beta:0.01, $p=0.03$); tikali RIMA grefti ile sigara (beta:0.047, $p=0.001$), aile hikayesi (beta:0.033, $p=0.013$), GSI (beta:0.001, $p=0.001$) ve tikali SVG ile yaş (beta:0.05, $p=0.002$), sigara (beta: -0.073, $p=0.002$), ve GSI (beta:0.001, $p=0.002$) ilişkili bulundu.

Sonuç: Geniş ölçekli bir hasta grubunda kısa ve uzun dönem sonuçlarının araştırıldığı bu çalışmada, greft aterosklerozu KV risk faktörleri, koroner aterosklerozun yaygınlığı, greft tipi ve greftin süresi ile ilişkili bulundmuştur. Uzun dönem greft açıklık oranlarını artırmada günümüzde temel hedef, primer ve sekonder KV risk faktörlerinin iyileştirilmeye çalışılması olmalıdır.



Şekil 1A. Koroner anjiyografide tikali ve > 50 darlık görülen greft yüzdesi (%), 1B. Yıllara göre greft tipi ve açıklık oranları (%)

Cardiovascular surgery

S-140

Effect of cardiovascular risk factors and severity of coronary atherosclerosis to long-term graft patency rates in patients with coronary artery bypass surgery

Kadriye Memic¹, Yelda Tayyareci¹, Nuran Yazıcıoğlu², Bingül Dilekçi¹, Ömer Yıldız², Selen Yurdakul², Çavlan Çiftçi¹

¹Department of Cardiology, İstanbul Bilim University Florence Nightingale Hospital, İstanbul, İstanbul

²Department of Cardiology, Florence Nightingale Hospital, İstanbul

Kalp tipi yağ asidi bağlayıcı protein düzeyi yüksek olan orta riskli pulmoner emboli hastalarında trombolitik tedavi прогнозu etkilemiyor

Enes Elvin Güll¹, İlknur Can¹, Turyan Abdulhalikov¹, Taha Bekci², Mehmet Kayrak¹, Kurtulus Ozdemir¹, Hasan Gok¹

¹Necmettin Erbakan Üniversitesi, Meram Tip Fakültesi, Kardiyoloji Anabilim Dalı, Konya
²Meram Eğitim ve Araştırma Hastanesi, Konya

Thrombolytic therapy does not affect the prognosis of patients with pulmonary embolism at intermediate risk and elevated heart-type fatty acid-binding protein levels

Enes Elvin Güll¹, İlknur Can¹, Turyan Abdulhalikov¹, Taha Bekci², Mehmet Kayrak¹, Kurtulus Ozdemir¹, Hasan Gok¹

¹Department of Cardiology, Meram School of Medicine, Necmettin Erbakan University, Konya
²Meram Research and Training Hospital, Konya

Purpose: Pulmonary embolism (PE) still remains a frequent cause of death despite important advances in diagnosis and treatment. The management strategy in patients with PE at intermediate risk still remains unclear. Recent studies have reported that heart-type fatty acid-binding protein (H-FABP), a low-molecular weight cytosolic protein, significantly predicts mortality in this group of patients. It has been shown to be a promising early indicator of right ventricular dysfunction. The aim of this study was to evaluate the effect of thrombolytic therapy on prognosis of the intermediate risk acute PE patients with elevated levels of H-FABP.

Methods: A total of 80 patients (mean age: 66±14 years, 33 men) with confirmed acute PE were prospectively included in this study over a one year period. Only patients with PE at intermediate risk (ie with echocardiographic signs of right ventricular overload but without signs of hypotension or shock) were included in the study. H-FABP and other biomarkers were measured in all of patients upon admission to the emergency department. H-FABP > 6 ng/ml was considered as positive. All the study patients received parenteral anticoagulation therapy. Thrombolytic therapy was administered at the physician's discretion. Patients were followed up to 30 days after discharge and assessed by follow-up clinical examinations.

Results: Of the included 80 patients, 24 of them were H-FABP positive (30%). At the end of the follow-up, eleven patients died in the H-FABP positive group (46%). However, only five patients died in the H-FABP negative group ($p<0.001$). At multivariate analysis, H-FABP ($p=0.005$) was a potential predictor of mortality at 30 day independent of age, shock index, troponin level, and thrombolytic therapy (Table). Stratifying patients for H-FABP and thrombolytic usage, four groups were obtained (Group 1: H-FABP (-)/Thrl (-); Group 2: H-FABP (-)/Thrl (+); Group 3: H-FABP (+)/Thrl (-); Group 4: H-FABP (+)/Thrl (+)). Group 3 and 4 who had elevated H-FABP, showed significantly higher 30-day mortality than group 1 and 2 ($p=0.003$). However, there was no significant difference between survival of the patients in group 3 and 4 (Figure 1). However, women with positive H-FABP who were not treated with thrombolytic therapy showed higher mortality (Figure 2). In addition, survival of the patients were similar in the patients who received thrombolytic therapy compared to who did not ($p=0.44$).

Conclusion: H-FABP significantly predicts 30-day mortality in patients with PE at intermediate risk. However, there was no significant difference in 30-day mortality of the intermediate risk PE patients who were treated with thrombolytic therapy compared to anticoagulation therapy. Only mortality of women with positive H-FABP who were not treated with thrombolytic therapy was significantly increased than other groups.

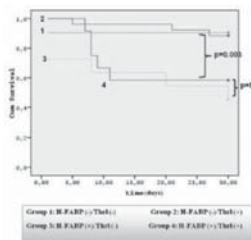


Figure 1. Survival of patients with pulmonary embolism according to H-FABP and thrombolytic therapy

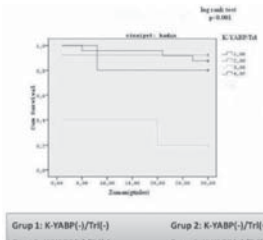


Figure 2. Mortality of women according to H-FABP and thrombolytic therapy

Table. Predictors of in-hospital and 30-day mortality

	In-hospital mortality		30-day mortality	
	OR (CI, 95%)	P	OR (CI, 95%)	P
Age	1.03 (0.95-1.13)	0.12	1.03 (0.91-1.12)	0.11
BMI, kg/m ²	0.91 (0.63-1.12)	0.44	0.94 (0.84-1.06)	0.32
Shock index	0.62 (0.11-12.06)	0.32	6.48 (0.73-57.49)	0.09
Pulse	1.04 (1.00-1.07)	0.83	1.03 (0.93-1.05)	0.96
H-FABP	6.63 (1.33-33.54)	0.02	7.31 (0.59-38.34)	0.01
Female gender	1.75 (0.33-9.35)	0.51	0.59 (0.09-4.03)	0.61
Thrombolytic	0.61 (0.14-2.72)	0.32	0.33 (0.12-1.26)	0.11
eTnT	1.02 (0.96-1.08)	0.71	1.00 (0.96-1.06)	0.81
Hypertension	2.85 (0.64-11.07)	0.17*	1.43 (0.29-7.63)	0.66
Troponin I	1.31 (0.56-3.02)	0.53	1.15 (0.46-2.88)	0.76

Platelet/lenfosit oranının orta risk pulmoner emboli hastalarında mortalite öngördürüsü olarak önemi

Enes Elvin Güll¹, İlknur Can¹, Turyan Abdulhalikov¹, Halil Ibrahim Erdogan¹, Gokhan Altunbas², Kurtulus Ozdemir¹, Hasan Gök¹

¹Necmettin Erbakan Üniversitesi Meram Tip Fakültesi, Kardiyoloji Anabilim Dalı, Konya

²Kılıç Devlet Hastanesi, Kardiyoloji Kliniği, Kılıç

Value of platelet/lymphocyte ratio as a predictor of mortality in patients with acute pulmonary embolism at intermediate risk

Enes Elvin Güll¹, İlknur Can¹, Turyan Abdulhalikov¹, Halil Ibrahim Erdogan¹, Gokhan Altunbas², Kurtulus Ozdemir¹, Hasan Gök¹

¹Department of Cardiology, Meram Faculty of Medicine, Necmettin Erbakan University, Konya

²Division of Cardiology, Kılıç State Hospital, Kılıç

Purpose: Pulmonary embolism (PE) still remains a frequent cause of death despite important advances in diagnosis and treatment. Previous studies demonstrated the association between elevated complete blood count including, red cell distribution weight (RDW), mean platelet volume (MPV) and mortality in patient with acute PE. Especially, RDW was found independent predictor of mortality. In addition, elevated platelet counts were found to be associated with poor prognosis in PE patients. Platelet to lymphocyte ratio (PLR) was investigated in patients with acute coronary syndrome and found to be related to major adverse cardiovascular outcomes as well as was a predictor of all-cause mortality. Recent studies have reported that heart-type fatty acid-binding protein (H-FABP), a low-molecular weight cytosolic protein, significantly predicts mortality in patients with PE at intermediate risk. Nevertheless, it has been shown to be a promising early indicator of right ventricular dysfunction. The relationship between H-FABP and PLR has not been investigated before.

Methods: A total of 80 patients (mean age: 65±16 years, 34 men) with confirmed acute PE were included to the study. Only patients with PE at intermediate risk (i.e. with echocardiographic signs of right ventricular overload but without signs of hypotension or shock) were included in the study. Baseline laboratory parameters including complete blood count were obtained. H-FABP and other biomarkers were measured in all of patients upon admission to the emergency department. H-FABP > 6 ng/ml was considered as positive. All the study patients received parenteral anticoagulation therapy. Thrombolytic therapy was administered at the physician's discretion. Patients were followed up to 30 days after discharge and assessed by follow-up clinical examinations.

Results: Of the included 80 patients, 24 of them were H-FABP positive (30%). At the end of the follow-up, eleven patients died in the H-FABP positive group (46%). However, only five patients died in the H-FABP negative group ($p<0.001$). At multivariate analysis, H-FABP ($p=0.005$) was a potential predictor of mortality at 30 day independent of age, shock index, troponin level, and thrombolytic therapy. PLR values were significantly higher in patients with H-FABP (+) than H-FABP (-). In addition to PLR, white blood cell count was significantly elevated in patients with H-FABP (+). Lymphocytes were lower in patients with H-FABP (+) (Table 1).

Conclusion: H-FABP significantly predicts 30-day mortality in patients with PE at intermediate risk. In addition, patients with H-FABP (+) had higher PLR levels than patients with H-FABP (-). Thus both H-FABP positivity and PLR levels are important laboratory parameters in patients with PE at intermediate risk.

Table. Laboratory characteristics of patients with H-FABP (+) and H-FABP (-).

	H-FABP (+)	H-FABP (-)	p
n=24	n=56		
WBC	13.3±5.3	10.4±3.9	0.01
Platelet	217±73	248±92	0.15
Lymphocyte	1.4±0.7	1.9±0.9	0.02
PLR	200±121	150±83	0.04
RDW	13.9±1.8	13.6±2.7	0.69
MPV	7.7±1.4	7.1±1.4	0.09

WBC, white blood cell; PLR, platelet to lymphocyte ratio; RDW, red cell distribution weight; mean platelet volume.

Akut pulmoner embolide nötrofil/lenfosit oranının 30 günlük mortaliteyi öngördürmede değeri: Retrospektif gözlemeş bir çalışma

Mehmet Kayrak¹, Halil İbrahim Erdogan¹, Yalçın Solak¹, Enes Elvin Güll¹, Oğuzhan Yıldırım¹, Murat Erer¹, Hakan Akıllı¹, Taha Tahir Bekci², Belgin Akıllı², Alpay Arıbaş¹, Mehmet Yazıcı¹, Hasan Gök¹

¹Necmettin Erbakan Üniversitesi Meram Tip Fakültesi, Kardiyoloji Anabilim Dalı, Konya

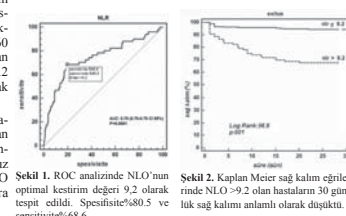
²Konya Numune Hastanesi, Kardiyoloji Bölümü, Konya

Amaç: Pulmoner emboli (PE) kardiyovasküler ölüm sebepleri arasında önemli yer tutan trombojenik ve inflamatuar bir durumdu. PE de artan inflamasyon hücreleri bir çok çalışmaya konu olmuş, artan beyaz kütü sayısı da bu çok erken eden durumlar ve pulmoner hemorajik/infarkt sendromu ile ilişkilidir. Kırışık hastalarında gelişen akut venöz tromboembolide artmış WBC (white blood cells) sayısının rekürrens, major kanama ve mortalite ile ilişkisi gösterilmiştir. WBC sayısının akut PE'de de tamisal değer olmasına da прогноз açısından önemli olduğunu birkaç çalışmada deyinilmiştir. Akut koroner sendrom ve stabil koroner arter hastalarında nötrofil lenfosit oranının (NLO) прогноз açısından önemli de öncelikle gösterilmiştir. Fakat mortalitesi %15-20 arasında değişen akut PE de bildiğimiz kadaryla NLO'nun önemini araştırın bir çalışma yapılmamıştır. Bu retrospektif çalışmadı; akut PE de NLO'nun 30 günlük mortaliteye ilişkisini araştırılmıştır planladık.

Metod: Ocak 2007 ile mart 2012 yılları arasında PE' de tansiyası takip edilen hastalar 126 tane kodlu ile kayıt sisteminden tarihi. Akciğer BT, ventilasyon/perfizyon sinyalgrafisi ve pulmoner anjiyografi ile kesin tarihlendi. 440 PE hastası çalışmaya alındı. Enfeksiyöz, inflamatuar ve hemotokok nedenler gibi sonuçları etikleylek durumlarda shıhıp olan 81 hasta dışlandıktan sonra 359 hastanın sonuçları değerlendirildi. Hastaneye ilk başvurusunda kan sayıları ve klinik verilerin değerlendirilmesi alındı.

Bulgular: Çalışmaya dahil edilen 359 hastadan 30 gün içerisinde 51'inde ölüm gerçekleşti(%14,2). Tablo-1 de sağ kalm durumunu göre hastaların demografik klinik ve laboratuvar özellikleri özelliğinmiştir. Gruplar arasında başlica yaş, DM, KAH, HT sistolik ve diastolik KB, kalp hızı, CK MB, WBC, ve NLO açısından anlamlı fark vardı. Multivariate Cox regresyon analizinde; SKB (Odds: 0.97 (0.94-0.99 GA%95%), p=0.019), DM (Odds: 3.3 (1.30-8.39 GA%95%), p=0.012), CKMB (Odds: 1.03 (1.01-1.06 GA%95%), p=0.024) ve NLO (Odds: 1.03 (1.01-1.06 GA%95%, p=0.008) hastane içi mortalitenin bağımsız öngördürüleriydi. ROC analizi yapıldığında NLO'nun optimál kesit değeri 9.2 olarak tespit edildi (Şekil-1). Cox regresyon analizine NLO'nun 9.2'ün üstünde olması seklinde dahil edildiğinde ölüm için Hazard oranı: 3.60 (1.44-9.18 GA%95%) tespit edildi (P=0.006). Kaplan Meier sağ kalım eğrileri incelenildiğinde NLO >9.2 olan hastaların 30 günlük sağ kalımı anlamlı olarak düşüktü (Şekil-2).

Sonuç: Bu çalışmada akut PE olgularında sağ kalm mortaliteye müracaatta ki hemogramlarından hesaplanan NLO'nun 30 günlük mortalitenin bağımsız bir öngördürüsü olduğu tespit edildi. Hemogramın ucuza ve rutin kullanılarak tetik olmasından dolayı NLO akut PE'deki önemini araştıran prospektif çalışmala ihtiyac vardır.



The prognostic value of neutrophil to lymphocyte ratio in patients with acute pulmonary embolism: an observational study

Mehmet Kayrak¹, Halil İbrahim Erdogan¹, Yalçın Solak¹, Enes Elvin Güll¹, Oğuzhan Yıldırım¹, Murat Erer¹, Hakan Akıllı¹, Taha Tahir Bekci², Belgin Akıllı², Alpay Arıbaş¹, Mehmet Yazıcı¹, Hasan Gök¹

¹Department of Cardiology, Meram Faculty of Medicine, Necmettin Erbakan University, Konya

²Department of Cardiology, Konya Numune Hospital, Konya

Genel

S-144

Akut pulmoner emboli hastalarında genova ve wells risk skorları mortalite öngördürümüs olarak kullanılabilir mi?

Özlem Yıldırımtürk, Zekeriya Nurkalem, Kazım Serhan Özcan, Servet Altay, Emrah Bozbeyoğlu, Seçkin Satılmış, Turgay İşk, Veli Kıraç

Dr. Siyami Ersek Göğüs, Kalp ve Damar Cerrahisi Eğitim ve Araştırma Hastanesi, Kardiyoloji Kliniği, İstanbul

Giriş: Akut pulmoner emboli (APE) erken tanı ve tedavisi yapılmadığında fatal seyreden önemli bir hastalık. Acile başvuruda APE'den şüphe edilen hastaların klinik olarak Wells ve güncellenmiş Genova skorları ile değerlendirilmesi tanyia yönelik açısından önerilmektedir. Bu çalışmanın amacı; tanyi öngörmek için kullanılan bu skorların hastaların mortalitesini öngördürmedeki etkinliğini araştırmaktır.

Metod: APE tanyisına takip edilen 121 hasta prospektif olarak çalışmaya dahil edildi. Tüm hastaların tanı bilgisayarlı tomografik pulmoner anjiyogram (BTPA) ile kesinleştirildi. Hastalar Wells skorunun $>=7$ olması ve Genova skorunun $>=11$ olmasına göre iki gruba ayrıldı. Hastaların kardiovasküler risk faktörleri, pulmoner emboli risk faktörleri, klinik verileri değerlendirildi. Hastalar ortalama 21.6 ± 8.8 yaş takip edildi.

Bulgular: Hastaların ortalama yaşı 61.6 ± 17.5 yıl, %55.4'ü kadın idi. Tüm hastalar değerlendirildiğinde, hastaların ortalama Wells skoru 4.94 ± 2.41 , Genova skoru 7.17 ± 3.27 idi. Hastalar Wells ve Genova skorlarına göre karşılaştırıldığında; risk faktörleri ve klinik veriler açısından skorlar yüksek olan hastalar ile olmayan hastalar arasında anlamlı fark tespit edilmedi ($p > 0.05$). Wells risk skoru ile hastaların mortalitesi ve tekrarlayan derin ven trombozu (DVT) ve tekrarlayan pulmoner emboli arasında anlamlı ilişkili gözlemlendi. Ancak güncellenmiş Genova skoru ile tekrarlayan DVT arasında ($r = 0.202$, $p = 0.028$) ve tekrarlayan pulmoner emboli açısından ($r = 0.338$, $p = 0.001$) anlamlı ilişkili tespit edildi. Ancak Genova skoru ile mortalite arasında anlamlı ilişkili bulunmadı.

Sonuç: Pulmoner emboli hastalarında tanyia önemlidle kullanılan Wells ve Genova risk skorları bu hastalarda mortalite ile ilişkili bulunmamıştır. Genova risk skoru yüksek olan hastalarda, tekrarlayan embolik olayları öngörmekte etkilidir.

Girişimsel kardiyoloji

S-145

Kalp tipi yağ asidi bağlayıcı protein düzeyi yüksek olan orta riskli pulmoner emboli hastalarında trombolitik tedavi prognозу etkilemiyor

Enes Elvin Güll, İlknur Can, Mehmet Kayrak, Turan Abdulhalikov, Taha Bekçi, Kurtuluş Özdemir, Hasan Gök

Selçuk Üniversitesi Meram Tip Fakültesi, Acil Tip Anabilim Dalı, Konya

Amaç: Tanı ve tedavideki gelişimlerde rağmen pulmoner emboli (PE) ölümülerin sık sebeplerinden biridir. Orta riskli PE hastaların tedavi stratejisi hala bilinmemektedir. Yeni yapılmış olan çalışmalarla kalp tipi yağ asidi bağlayıcı proteinin (K-YABP) PE hastalarında mortaliteyi öngördürdüğü gösterilmiştir. Ayrıca K-YABP'nin sağ ventrikül disfonksiyonun erken göstergesi olduğu da bilinmektedir. Çalışmamızda K-YABP pozitif olan orta-risk PE hastalarının trombolitik tedavisinin прогноз üzerinde etkisini araştırmayı planladık.

Yöntem-Gereçler: 80 orta risk PE hastası (ortalama yaşı: 66 ± 14 yıl, 33 erkek) çalışmaya prospektif olarak dahil edildi. Tüm hastalarla bilgisayarlı tomografi çekildi. Sadece orta riskli PE hastaları (ekokardiyografide sağ ventrikül disfonksiyonu olan ve/veya kardiyoak biyobelirteç yükseliği) çalışmaya dahil edildi. K-YABP ve diğer biyobelirteçler (CK-MB ve troponin) tüm hastaların acil servise başvuru esnasında bakıldı. K-YABP > 4 ng/ml pozitif değer olarak değerlendirildi. Hastaların hepsi parenteral antikoagüllerin tedavi aldı. Trombolitik tedavisi hekimin takdirine göre verildi. Hastalar hem hastane içi, hemde taburculuk sonrası 30 gün takip edildi.

Bulgular: Çalışmaya alınan 80 hastadan 24'ünde (%30) K-YABP pozitif çıktı. Otuz günlik takip sonucunda K-YABP pozitif hastaların 11'de death gelisti (%46). K-YABP negatif hastaların ise sadece 5'de death gelisti ($p < 0.001$). Çokdeğerliken analizde K-YABP hem hastane içi, hemde 30-günlik mortalitenin yaş, şok indeksi, troponin seviyesi ve trombolitik tedaviden bağımsız öngördürümüş olarak bulundu ($p = 0.005$) (Tablo). Hastaların K-YABP düzeyi ve trombolitik tedavideye göre sınıflandırıldığından aşağıdaki gruplar elde edildi: Grup 1: K-YABP(-)/Trl (-); Grup 2: K-YABP (-)/Trl (+); Grup 3: K-YABP (+)/Trl (-); Grup 4: K-YABP (+)/Trl (+). Grup 3 ve 4'ün 30-günlik mortalitesi grup 1 ve 2'ye göre anlamlı olarak yükseltti ($p < 0.003$). Oysaki, grup 3 ve 4 arasında mortalite farkı izlenmedi (Şekil 1). Fakat K-YABP pozitif olan ve trombolitik tedavi almayan kadın hastaların mortalitesi diğer gruppera göre daha yüksek çıktı (Şekil 2). Trombolitik alan ve almayan hastaların 30 günlük mortalitesi ise benzerdi ($p = 0.44$).

Sonuç: K-YABP orta risk PE hastalarında belirgin olarak mortaliteyi öngördür. Trombolitik tedavi alan hastalarla antikoagüller tedavi alan hastalar arasında mortalite farkı izlenmedi. K-YABP pozitif olup trombolitik tedavi almayan hastaların mortalitesi diğer gruppera benzerdi. Sadece K-YABP pozitif ve trombolitik almayan kadın hastaların mortalitesi belirgin olarak yükseltti.



Şekil 1. Pulmoner emboli hastalarında K-YABP ve trombolitik durumuna göre yaşam eğrisi

General

S-144

Can genova and wells risk scores be used as predictors of mortality in patients with acute pulmonary embolism

Özlem Yıldırımtürk, Zekeriya Nurkalem, Kazım Serhan Özcan, Servet Altay, Emrah Bozbeyoğlu, Seçkin Satılmış, Turgay İşk, Veli Kıraç

Department of Cardiology, Dr. Siyami Ersek Thoracic, and Cardiovascular Surgery, Training and Research Hospital, İstanbul

Interventional cardiology

S-145

Thrombolytic therapy does not affect the prognosis of patients with pulmonary embolism at intermediate risk and elevated heart-type fatty acid-binding protein levels

Enes Elvin Güll, İlknur Can, Mehmet Kayrak, Turan Abdulhalikov, Taha Bekçi, Kurtuluş Özdemir, Hasan Gök

Department of Emergency Medicine, Selçuk University Meram Faculty of Medicine, Konya

Genel

S-148

Pulmoner arteriyel hypertansiyonda kalp hızı değişkenliğinin klinik ve prognostik önemi

Oktay Musayev¹, Meral Kayıkçioğlu², Özcan Vuran², Aysel İslamlı², Elnur İsayev³, Nesrin Moğulkoç², Sanem Nalbantgil², Hakan Kültürşay²

¹Merkezi Klinika Kardiyoloji Bölümü, Bakü, Azerbaycan

²Ege Üniversitesi Tıp Fakültesi, Kardiyoloji Anabilim Dalı, İzmir

³Azerbaycan Tıp Üniversitesi Terapевtic Kliniği, Bakü, Azerbaycan

Giriş: Pulmoner arteriyel hypertansiyon (PAH), mortalitesi yüksek bir hastalıktır. Zaman içerisindeki sinus hızındaki siklik değişiklikler olarak tanımlanan kalp hızı değişkenliği (KHD) sempatik-parasempatik denge hakkında bilgi verdiginden kardiyak otonom tonusun bir ölçüsü ve göstergesi olarak kullanılmaktadır. PAH'da KHD etkilenip etkilenmediği bilinmemektedir.

Amaç: PAH'de KHD'nin klinik önemini saptamak ve takip süresinde gelişen olaylarla ilişkisi açısından prognostik değerini belirlemek.

Gereç-Yöntem: Çalışmaya Kasım 2010 - Ağustos 2011 tarihleri arasında sinus ritiminde olan 64 PAH (24 Erkek, yaş ort: 39±16) ve 69 (24 Erkek, yaş ort: 39±10) sağlıklı kişi aldı. Tüm olgulara 24 saatlik Holter EKG monitörasyonu (DMS 300-3A) yapılarak PAH ve sağlıklı grup arasında karşılaştırılmıştır. Ayrıca PAH grubunda 6 aylık izlemede KHD parametrelerinin istenmeye olumsuz olaylar (sağ kalp yetmezliği, senkop, hastaneyeye yatsı ölüm) üzerine etkisi araştırıldı.

Bulgular: Her iki grup arasında toplam kalp vuru sayı ve kayıt süresi açısından fark yoktu. PAH grubundan zaman bağımlı parametrelerden SDNN, SDANN, SDNN Indeks, Triangular Indeks ve frekans bağımlı parametrelerden Total Güç, LF, HF gücü anlamlı azalmıştı, LF/HF oranında fark yoktu. Fonksiyonel sınıfı derecesine göre bakıldığında PAH grubundan 15 (%23.4) hasta DSÖ-FS I, 26 (%40.6) hasta DSÖ-FS II, 16 (%25) hasta DSÖ-FS III ve 7 (%10.9) hasta DSÖ-FS IV'deydi. PAH hastalarının fonksiyonel sınıfı derecesi arttıkça SDNN, SDANN, SDNN Indeks ve Triangular Indeks değerleri de doğru ilişkili olarak azalmaktaydı. Ortalama 200 ± 92 günlik takip süresi boyunca 16 (%25) hastada istenmeye olumsuz olay [7 (%10.9) hasta sağ kalp yetmezliği, 5 (%7.8) hasta senkop, 12 hasta (%18.8) hastaneyeye yatsı, 9 (%14.1) hasta ölüm] gelişti. Tüm olumsuz olay grubunda ve ölüm gelişen grupta zaman ve frekans bağımlı parametreler anlamlı olarak azalmıştı. Tüm zaman ve frekans bağımlı parametreler istenmeye olumsuz olaylar ile ilişkili saptandı. SDNN ($Rho = -0.354$, $p=0.005$), SDANN ($Rho = -0.368$, $p=0.004$), SDNN Indeks ($Rho = -0.257$, $p=0.045$), Triangular Indeks ($Rho = -0.310$, $p=0.014$) ve VLF ($Rho = -0.265$, $p=0.039$) parametreleri ise mortalite ile ilişkili bulundu.

Sonuçlar: Otonom sinir sisteminin bir göstergesi olan kalp hızı değişkenliği pulmoner arteriyel hypertansiyon hastalarında azalmıştır ve hastanın klinik durumu ile ilişkilidir. KHD parametreleri, PAH'da toplam olumsuz olayları ve mortaliteti öngörmektedir. Klinik izleme invaziv olmayan Holter EKG ile KHD ölçümü, bu hastaların izlemede, прогнозu erken dönemde belirlemek adına yararlı olabilir. Hatta tedaviyi yönlendirmede de yarar sağlayabilir.

General

S-148

Clinical and prognostic significance of heart rate variability in pulmonary arterial hypertension

Oktay Musayev¹, Meral Kayıkçioğlu², Özcan Vuran², Aysel İslamlı², Elnur İsayev³, Nesrin Moğulkoç², Sanem Nalbantgil², Hakan Kültürşay²

¹Merkezi Klinika Kardiyoloji Bölümü, Bakü, Azerbaycan

²Ege Üniversitesi Tıp Fakültesi, Kardiyoloji Anabilim Dalı, İzmir

³Azerbaycan Tıp Üniversitesi Terapевtic Kliniği, Bakü, Azerbaycan

Introduction: Pulmonary arterial hypertension (PAH) is a high mortality disease. Heart rate variability (HRV) which is defined as cyclic changes in sinus rate over time, is used as a measure and indicator of cardiac autonomy tone as it gives information of sympathetic-parasympathetic balance. HRV is affected in PAH is unknown.

Aim: To determine the clinical significance and prognostic value of HRV in PAH.

Materials-Methods: A total of 64 PAH patients with sinus rhythm were enrolled between November 2010 and August 2011. Sixty-nine age and gender matched healthy subjects served as the control group. HRV was obtained by 24-hour ECG Holter ECG monitoring (DMS 300-3A-branded device). PH group was evaluated for the development of adverse events (right heart failure, syncope, hospitalization, and death) during six months follow-up.

Results: PH group's mean age was 38.7 ± 16.0 years (37.5% males) and control group's mean age was 39.3 ± 10.3 years (34.8% males). The two groups did not differ in terms of recording time and total number of heart beats. The time-dependent parameters (SDNN, SDANN, SDNN Index, and Triangular Index) and frequency-dependent parameters (total power, LF, HF power) were decreased significantly in PAH meanwhile there were no difference between the groups LF/HF ratio. The distribution of PAH group according to the functional class (FC): 23.4% patients in FC-I, 40.6% patients in FC II, 25% in FC-III, and 10.9% in FC-IV. FC was negatively correlated with SDNN, SDANN, SDNN Index and Triangular Index. Throughout the follow-up period (200 ± 92 days) 25% patients had adverse event, 7 (10.9%) had right-heart failure, 5 (7.8%) had syncope, 12 patients (18.8%) were hospitalized, and 9 (14.1) were died. The time and frequency-dependent parameters were significantly decreased in patients who had developed adverse event or died. All the time and frequency-dependent parameters were significantly correlated with adverse events. Mortality was correlated with SDNN ($Rho = -0.354$, $p=0.005$), SDANN ($Rho = -0.368$, $p=0.004$), SDNN Index ($Rho = -0.257$, $p=0.045$), Triangular Index ($Rho = -0.310$, $p=0.014$), and VLF ($Rho = -0.265$, $p=0.039$)

Conclusion: Heart rate variability is significantly decreased in patients with pulmonary arterial hypertension and related to the clinical status of patients. HRV parameters predicts total adverse events and mortality in PAH. In clinical follow-up period, non-invasive measurement of HRV with Holter ECG may be helpful on the set early prognosis. In fact, be beneficial to guidance the treatment.

S-149

Pulmoner hypertansiyonda serum paroksonaz ve arilesteraz aktivitesi

Zekeriya Kaya¹, Atilla Esmer¹, Hatice Sezen³, Ramazan Asoğlu¹, Bedri Caner Kaya¹, Sümen Sünbul¹, Nurten Aksoy², Recep Demirbağ¹

¹Harran Üniversitesi Tıp Fakültesi, Kardiyoloji Anabilim Dalı, Şanlıurfa

²Harran Üniversitesi Tıp Fakültesi, Biyokimya Anabilim Dalı, Şanlıurfa

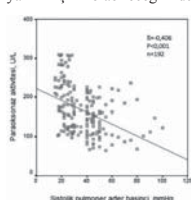
³Şanlıurfa Eğitim ve Araştırma Hastanesi, Biyokimya Bölümü, Şanlıurfa

Giriş-Amaç: Pulmoner kan basincı yükseklik pulmoner yataka vasokonstriktör ve proliferatif cevabın belirlenmesi ile karakterizedir. Serum paroksonaz (SPA) ve arilesteraz (SAA) aktivitelerinin bu süreçte nasıl bir rol aldığı veya nasıl bir değişim gösterdiği bilinmemektedir. Bu çalışma pulmoner arter kan basincı ile SPA ve SAA ile ilişkisini araştırmak üzere planlanmıştır.

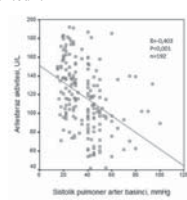
Materyal-Metod: Çalışmaya sistolik pulmoner arter basinci >30 mmHg olanlar kontrol (n=98, grup I), >30 mmHg olanlar hasta grubu (n=94, grup II) olmak üzere toplam 192 olgu aldı. Sistolik pulmoner arter basinci standart ekokardiografik formülle triküspit yetersizliği üzerinden hesaplandı. Tüm olgularda SPA ve SAA kalorimetrik yöntemle hesaplandı. Ayrıca tüm olguların ayrıntılı öykü ve fizik muayenerleri yapıldı.

Bulgular: Pulmoner arter basinci yüksek olan grupta yaşı ortalaması daha yükselti (59 ± 15 yıl karşılık 52 ± 12 yıl, $p=0.001$). Cinsiyet, vücut kitle indeksi her iki grupta benzerdi. Grup II'de grup I'e göre hem SPA (142 ± 46 U/L ve 189 ± 62 U/L, $p<0.001$) hem de SAA daha düştüktü (101 ± 32 ve 134 ± 31 , $p<0.001$). İkili ve çoklu regresyon analizlerinde SPA (Şekil-1), SAA (Şekil-2) pulmoner arter basinci ile bağımsız ilişkili göstermeye idi. Fonksiyonel kapasiteye göre yapılan değerlendirmide SAA gruplarında anamaliği gösteren (ANOVA $p=0.001$), SPA grupları arasında benzerdi (ANOVA $p=0.194$).

Sonuçlar: Pulmoner hypertansiyonda SPA ve SAA seviyelerinin azalmaktadır. Mevcut çalışma verileri, SPA ve SAA seviyelerinin pulmoner arter basinci yükseliği ve fonksiyonel kapasiteye yakını ilişkili olabileceğini düşündürmektedir.



Şekil 1. Sistolik pulmoner arter basinci ile serum paroksonaz arasındaki ilişki



Şekil 2. Sistolik pulmoner arter basinci ile serum arilesteraz arasındaki ilişki

S-149

Serum paraoxonase and arylesterase activity in pulmonary hypertension

Zekeriya Kaya¹, Atilla Esmer¹, Hatice Sezen³, Ramazan Asoğlu¹, Bedri Caner Kaya¹, Sümen Sünbul¹, Nurten Aksoy², Recep Demirbağ¹

¹Department of Cardiology, Harran University Faculty of Medicine, Şanlıurfa

²Department of Biochemistry, Harran University Faculty of Medicine, Şanlıurfa

³Department of Biochemistry, Şanlıurfa Training and Research Hospital, Şanlıurfa

S-150

Bu bildiri iptal edilmiştir.

S-150

This paper has been cancelled.

S-151

Cerrahi tedavi uygulanan infektif endokarditli hastalarda mortalite belirleyicileri

Mehmet Ali Elbey¹, Emin Kalkan², Serkan Akdag³, Kerem Ozbek⁴, Nihan Kahya Eren⁵, Selim Topcu⁶, Fatih Kahraman⁷, Mahmut Akpek⁸, Sinan Demirtas⁹, Mustafa Oylumlu¹, Mesut Aydin¹, Murat Yuksel¹

¹Dicle Üniversitesi Tıp Fakültesi, Kardiyoloji Anabilim Dalı, Diyarbakır

²Kartal Kosyolu Eğitim ve Araştırma Hastanesi, Kardiyoloji Kliniği, İstanbul

³Yuzuncu Yıl Üniversitesi Tıp Fakültesi, Kardiyoloji Anabilim Dalı, Van

⁴Gaziosman Pasa Üniversitesi Tıp Fakültesi, Kardiyoloji Anabilim Dalı, Tokat

⁵İzmir Ataturk Eğitim ve Araştırma Hastanesi, Clinical Cardiology, İzmir

⁶Atatürk Üniversitesi Tıp Fakültesi, Kardiyoloji Anabilim Dalı, Erzurum

⁷Suleyman Demirel Üniversitesi Tıp Fakültesi, Kardiyoloji Anabilim Dalı, Isparta

⁸Erciyes Üniversitesi Tıp Fakültesi, Kardiyoloji Anabilim Dalı, Kayseri

⁹Dicle Üniversitesi Tıp Fakültesi, Kalp Damar Cerrahisi Anabilim Dalı, Diyarbakır

S-151

Predictors of mortality in unfective endocarditis patients who had undergone surgical treatment

Mehmet Ali Elbey¹, Emin Kalkan², Serkan Akdag³, Kerem Ozbek⁴, Nihan Kahya Eren⁵, Selim Topcu⁶, Fatih Kahraman⁷, Mahmut Akpek⁸, Sinan Demirtas⁹, Mustafa Oylumlu¹, Mesut Aydin¹, Murat Yuksel¹

¹Dicle University Faculty of Medicine, Department of Cardiology, Diyarbakır

²Kartal Kosyolu Education and Research Hospital, Clinical Cardiology, İstanbul

³Yuzuncu Yıl University Faculty of Medicine, Department of Cardiology, Van

⁴Gaziosman Pasa University Faculty of Medicine, Department of Cardiology, Tokat

⁵İzmir Ataturk Education and Research Hospital, Clinical Cardiology, İzmir

⁶Atatürk University Faculty of Medicine, Department of Cardiology, Erzurum

⁷Suleyman Demirel University Faculty of Medicine, Department of Cardiology, Isparta

⁸Erciyes University Faculty of Medicine, Department of Cardiology, Kayseri

⁹Dicle University Faculty of Medicine, Department of Cardiovascular Surgery, Diyarbakır

Objectives: There are few information on the clinical characteristics and factors related to in-hospital mortality in patients with active infective endocarditis (IE) (Native and Prosthetic valve) referred for surgery.

Methods: We evaluated the clinical outcomes of native and prosthetic valve endocarditis in 13 major tertiary referral centers in Turkey. The study population comprised 116 consecutive Turkish patients who underwent surgical treatment for infective endocarditis from 2005 to 2012.

Results: In-hospital mortality occurred in 33 patients (28%). Mortality occurred in 23 patients (29%) native valves and in 8 patients (33%) prosthesis valves. Native valve endocarditis was seen in 77 patients (66%), and prosthetic valve endocarditis was seen in 26 patients (22.4%), congenital heart disease in 8 patients (6.8%) and pacemaker endocarditis was observed in 4 patients (3.4%). In chi-Square analysis, mortality rate was higher in the presence of loss of weight ($p<0.001$), enterococcus infection ($p=0.002$), diabetes mellitus ($p<0.001$), embolic events ($p=0.003$), heart failure ($p<0.001$), chronic renal disease ($p=0.002$) and septicemia ($p=0.02$).

Conclusions: Mortality is still high in IE. Factors associated with hospital mortality were loss of weight, enterococcus infection, diabetes mellitus, embolic events, severe heart failure, chronic renal failure and septicemia.

Yağ dokusunda ESR1 gen promotör metilaşyonu ve obezite ile ilişkisi

Filiz Geyik¹, Turgay Ergineli², Nihan Ergineli Ünaltna¹

¹İstanbul Üniversitesi Deneysel Tıp Araştırma Enstitüsü, Genetik Anabilim Dalı, İstanbul

²S.B. İstanbul Eğitim ve Araştırma Hastanesi, Genel Cerrahi Kliniği, İstanbul

Amaç: Obezite, bireyin yağ dokusundaki trigliseriderin aşırı miktarında depolanması sonucu olur. Ligand bağımlı transkripsiyonel faktör olarak fonksiyon gösteren östrojen reseptör alfa (ESR1) yağ dokusundaki trigliseriderin depolanması ve yikiliminin düzenlenmesinde önemli rol oynar. ESR1, obezite için adı bir gendir. ESR1 knockout farelerde obezite geliştiği ve obez bireylerin yağ dokusunda ESR1 gen anlatımının azaldığı bilinmektedir. Bu bilgiler doğrultusunda yağ dokusunda, ESR1 promotör metilaşyon analizi yapılarak, obez bireyleerde gözlelenen azalmış ESR1 gen anlatımı üzerindeki etkisini belirlerek ve obezite ile ilişkilendirilmesi amaçlanmıştır.

Yöntem: Çalışmaya obezitesi olan ve olmayan 23 birey dahil edildi. Bu bireylerin subkutan/omenal yağ dokularından ve periferik kan örneklerinden DNA ve RNA izolasyonu yapıldı. ESR1 geninin A, C, E2 ve F promotör bölgeleri Metilasyon-Spesifik-PZR yöntemi ile analiz edildi. Total ERα mRNA düzeyi ve promotörlerin özgü transkript seviyeleri Kuantitatif-PZR yöntemi ile incelendi.

Bulgular: Obez bireylerin yağ dokusunda ESR1 gen promotör bölge metilaşyonlarının incelenmesi sonucunda, promotör C'de %33.3, promotör F'de %100 oranında metilaşyon tespit edilirken, promotör F'de metilaşyon gözlemlenmemiştir. Yağ dokusunda ESR1 gen E2 promotör bölge metilaşyon oranı tüm gruplarda %100 olarak belirlenmiştir. Obez bireylerin periferik kan örneklerinde ise promotör F bölgesinde metilaşyon oranı %100 bulunmuştur. Obez bireylerin yağ dokusunda ESR1 mRNA düzeyinin anlamlı derecede azaldığı saptanmıştır ($p<0.05$). Yağ dokusunda ESR1 promotör metilaşyonu gözlelenen obez bireyleerde ESR1 mRNA düzeyi azalmaktadır fakat istatistiksel olarak anlamlı bir ilişki bulunmamıştır.

Sonuç: Bu çalışmada kapsamlı yağ dokusunda ESR1 gen promotörünün metilaşyon durumu ilk olarak.incelenmiştir. Bulgularımız obezite ile birlikte, yağ dokusundaki ESR1 mRNA seviyesinin anlamlı düzeyde azaldığı ve bundan ESR1 geninin promotör C bölgesinin metilaşyonunun sorumlu olabileceği yönündedir. Bu çalışma, yağ doku hücre kültüründe DNMT inhibitörler varlığında ESR1 promotör C metilaşyonunu araştırarak obezite için yeni bir tedavi yaklaşımının belirlenebilmesini için bir basamak oluşturmaktadır. Çalışma hasta sayısı artırılarak devam etmektedir.

Koroner kalp hastalıkları

Türkiye'de ayaktan tedavi edilen stabil koroner arter hastalarında istirahat kalp hızları ve kalp hızının hekimler tarafından algısı: PULSE çalışması

Oktay Ergene, Zehra İlke Akyıldız

İzmir Atatürk Eğitim ve Araştırma Hastanesi, II. Kardiyoloji Kliniği, İzmir

Giriş: Gündümüzde tüm dünyada koroner arter hastalığı en başta gelen ölüm nedenidir. Türkiye'de TEKHARF çalışmamasına göre koroner kalp hastalığı prevalansı %3.8'dir. Kardiyak iskemisinin sık rastlanan bulgularından biri stabil angina pectorisdir. Kararlı angina patofizyolojisinde kalp hızının (KH) önemli bir rolü olduğunu dair güçlü kanıtlar bulunmaktadır. Bu çalışmada, Türkiye'de üçüncü basamak sağlık hizmeti sunan kurumların polikliniklerinde ayaktan takip edilen stabil koroner arter hastalarında istirahat kalp hızı ve saptanın kalp hızının hekim tarafından algısı incelenmiştir.

Geçer-Yöntem: Girişimsel olmayan, ulusal, kesitsel ve çok merkezeli bir çalışma erişkin (>18 yaş) ayaktan takip edilen kronik iskemik kalp hastalarından, on dakikalık dinlenme sonrası çekilen standart 12 derivasyonlu elektrokardiyografide sinus ritmi saptananlar çalışmaya dahil edildi. Tek vizit öykü, fizik muayene ve mevcut laboratuvar bulguları kaydedildi.

Bulgular: Seksen üç merkezden 2919 hasta çalışmaya dahil edildi. Hastaların median yaşı 61(IQR=13) idi ve %73'ü erkeklerdi. Hastaların median kalp hızı 72 vuru/dk (IQR= 15) idi ve %62'inde kalp hızı >70 vuru/dk idi. İstirahat kalp hızının 70 vuru/dk ve üzeri olma oranı kadınlarda erkeklerde göre anlamlı derecede fazla idi (%67'ye karşılık 60; $p=0.002$). Angina olanlarında median kalp hızı 74 (IQR=18), olmayaçlılarında 70 (IQR=14) vuru/dak idi ($p<0.001$).

Hekimlerin kalp hızı algısı EKG'de saptanan kalp hızı karşılaştırması Tablo-I'dedir. Buna göre hekimler >70vuru/dk kalp hızını anlamlı derecede yüksek olarak algılamaktadır ($p<0.001$). Ancak hekimler kalp hızı >70vuru/dk olan hastaların yalnızca %64'ünde kalp hızını düşürmeye planlaşmışlardır. Kalp hızı >70 ve anginaya olanlarla ise bu oran %52.5 olarak saptanmıştır.

Sonuç: Kronik iskemik kalp hastalarında kalp hızının istenilen düzeyde olmadığı saptanmıştır. Angina olan hastalarda ise bu düzeyin daha yetersiz olduğu gösterilmiştir. Hekimler, kronik iskemik kalp hastalarında kalp hızını önemsemekle birlikte, bu istenilen ideal seviyeye ulaşmamaktadır.

Tablo 1.

EKG'de saptanan kalp hızı				
	< 70	≥ 70	Total	
Düştük	Sayı	27	3	30
	Yüzde	2.4	0.2	1.0
Normal	Sayı	1000	650	1650
	Yüzde	66.3	38.0	56.5
Yüksek	Sayı	77	1062	1139
	Yüzde	7.0	58.6	39.0
Çok yüksük	Sayı	3	97	100
	Yüzde	0.3	5.4	3.4
Toplam	Sayı	1107	1812	2919
	Yüzde	100.0	100.0	100.0

ESR1 gene promoter methylation in adipose tissue and relationship with obesity

Filiz Geyik¹, Turgay Ergineli², Nihan Ergineli Ünaltna¹

¹İstanbul University Deneysel Tıp Araştırma Enstitüsü, Genetik Anabilim Dalı, İstanbul

²Department of General Surgery, S.B. İstanbul Training and Research Hospital, İstanbul

Aim: Obesity occurs in individuals as a result of excessive amount triglyceride storage in adipose tissue. Estrogen Receptor Alpha (ESR1) which functions as ligand-dependent transcriptional factor takes a significant role in storage and degradation of triglyceride in adipose tissue. ESR1 is a candidate gene for obesity. It was known that, obesity is formed in ESR1 knockout mice and ESR1 gene transcription decreases in obese individuals. Based on this information, it was aimed to analyze methylation status of ESR1 promoter in adipose tissue to sign the effect of methylation on decreased ESR1 gene transcription in obese individuals and to indicate the relationship with obesity.

Method: The study consisted of obese and normal 23 individuals totally. DNA and RNA are extracted from subcutaneous/omental adipose tissue and peripheral blood samples. A, C, E2 and F promoter regions of ESR1 gene was analyzed by Methylation-Specific PCR. Total ESR1 mRNA level and promoter specific transcription levels are studied by Quantitative-PCR method.

Results: As a result of the examination of ESR1 gene promoter region's methylation status in adipose tissue among obese individuals, methylation is detected as %33.3 in promoter A and %100 in promoter C despite no methylation in promoter F. %100 methylation is defined in ESR1 gene E2 promoter region in adipose tissue in all groups. Methylation rate in promoter F region in peripheral blood samples of obese individuals is detected as %100. It was determined that ESR1 mRNA level decreases significantly in adipose tissue of obese individuals ($p<0.05$). Although ESR1 mRNA level decreases in adipose tissue in obese individuals whose ESR1 promoter is methylated, no significant association is detected.

Conclusion: In this study, methylation status of ESR1 gene promoter in adipose tissue is examined. Due to our findings, we assume that ESR1 mRNA level in adipose tissue decreases significantly depending on methylation status of ESR1 gene promoter C region in obesity. This study is the stepping stone for another study about researching the methylation status of ESR1 promoter C in cell culture of adipose tissue in the presence of DNMT inhibitors which could bring a new approach to obesity therapy. The study continues with increasing number of samples.

Coronary heart diseases

Resting heart rate in outpatients with stable coronary artery disease and physician perceptions on heart rate in Turkey: PULSE study

Oktay Ergene, Zehra İlke Akyıldız

2nd Cardiology Department, İzmir Atatürk Training and Research Hospital, İzmir

Objective: To evaluate resting heart rate in outpatients with stable coronary artery disease at tertiary care centers and physician perceptions on heart rate in Turkey.

Methods: Adult outpatients (≥ 18 years of age) with chronic ischemic heart disease were included in this non-interventional national cross-sectional multicenter study, if they were diagnosed with normal sinus rhythm in a standard 12-lead ECG performed after resting for 10 minutes. Data on medical history, physical examination and current laboratory findings were collected at a single study visit.

Results: A total of 2919 patients from 83 centers were included in the present study. The median age was 61 years (interquartile range [IQR] = 13), and 73% of the study population was male. The median resting heart rate was 72 beats/min (bpm) (IQR=15), and 62% of patients had a resting heart rate of ≥ 70 bpm. Females more frequently had a resting heart rate ≥ 70 bpm compared with males (67% vs. 60%; $p=0.002$). The median (IQR) resting heart rate was significantly higher in patients with angina than in those without (74 bpm [18%] vs. 70 bpm [14%], $p<0.001$). Comparison of data on heart rate with respect to perception of physicians and interpretation of ECG findings (Table 1) revealed significantly higher perception of heart rates ≥ 70 beats/min by physicians ($p<0.001$). However, a treatment plan for heart rate reduction was evident only in 64% of these patients with heart rates of ≥ 70 bpm and in 52% of patients with heart rates of ≥ 70 bpm accompanied with angina.

Conclusion: The resting heart rate of outpatients with stable coronary artery disease was not within the level recommended by the guidelines. Perception of RHR as a risk factor and as a treatment target for coronary artery disease was not a sufficient priority among cardiologists.

Table 1. Resting heart rate and physician perception

Heart rate based on physician perception	Heart rate (beats/min) detected in ECG		
	< 70	≥ 70	Total
Low	27 (2.4)	3 (0.2)	30 (1.0)
Normal	1000 (90.3)	650 (55.9)	1650 (56.5)
High	77 (7.0)	1062 (58.6)	1139 (39.0)
Very high	3 (0.3)	97 (5.4)	100 (3.4)
Total	1107 (100.0)	1812 (100.0)	2919 (100.0)

Türkiye'de ayaktan tedavi edilen stabil koroner arter hastalarında tedaviye uyumu azaltan nedenler: PULSE çalışması

Zehra İlke Akyıldız, Oktay Ergene

İzmir Atatürk Eğitim ve Araştırma Hastanesi, II. Kardiyoloji Kliniği, İzmir

Giriş: Günümüzde tüm dünyada koroner arter hastalığı en başta gelen ölüm nedenidir. Türkiye'de TEKHARF çalışmasına göre koroner kalp hastalığı prevalansı %3,8'dir. Bu hastalarda uygun tıbbi tedavinin düzenlenmesi ve idamesi önemlidir. Ancak hastaların önemli bir bölümünde ilaç dozları istenilen terapötik dozlarla çırklamamaktadır. Bu çalışmada, Türkiye'de üçüncü basamakta sağlık hizmeti sunan kurumların polikliniklerinde ayaktan takip edilen stabil koroner arter hastalarında ilaç tedavisi uyumsuzluğun nedenleri incelendi.

Gereç-Yöntem: Girişimsel olmayan, ulusal, kesitsel ve çok merkezli bu çalışmaya erişkin (≥ 18 yaş) ayaktan takip edilen kronik iskemik kalp hastalarından, on dakikalık dinlenme sonrası çekilen standart 12 derivasyonlu elektrokardiografide sinus ritmi saptananlar çalışmaya dahil edildi. Tek vizitte ötüklü, fizik muayene ve mevcut laboratuvar bulguları kaydedildi.

Bulgular: Seksen üç merkezden 2919 hasta çalışmaya dahil edildi. Hastaların median yaşı 61(IQR=13) idi ve %73'ü erkekti. Son bir yıl içerisinde 363 hasta (%12) toplamda 449 adet ilaç bırakılmıştı. Bu, tüm hastaların kullandığı toplam ilaç sayısının %6'i idi.

İlaç bırakma nedenleri Tablo-I'dedir. Hastaların %54,1'i hekimin yönlenmesi ile ilaç bırakırken, %44,8'i kendi karar ile ilaç bırakmıştır. Her iki durumda da en çok ilaç bırakma nedeni yan etkidir. En sık görülen yan etki nedenleri ise sırasıyla söyle idi: % 3,2'sinde başağrısı, %2,1'inde hipotansiyon, %1,6'sında halsizlik, %1,2'sinde impotans, %1,0'inde bronkospazm, %0,6'sında periferik ödem, %0,2'sinde yüzde kızarma, %0,1'inde refleks taşışındır. Hastaların ilaç uyumunda öğrenim düzeyi, obstruktif akciğer hastalığı varlığı anlamlı derecede etkili bulunmuşken ($p<0,01$); yaş, cinsiyet, periferik arter hastalığı etkili bulunmuştur ($p>0,05$).

Sonuç: Kronik iskemik kalp hastalarında tedaviye uyum yüksek oranda saptanmıştır. En sık uyumsuz nedeni yan etkilidir. Öğrenim düzeyi ve obstruktif akciğer hastalığı varlığı tedaviye uyumu etkileyen faktörlerdir.

Tablo 1.

	Sayı (n)	Yüzde (%)
İlaç bırakınca bırakıldı	243	54,1
Yeterli etki	64	26,3
Kontrendikasyon	21	8,6
Yan etki	158	65,0
İlaç hasta kendisi bırakı	201	44,8
Yeterli etki	65	32,3
Yan etki	136	67,7
İlaç bırakma nedeni belli olmamış	5	1,1
Total	449	100,0

Türkiye'de ayaktan tedavi edilen stabil koroner arter hastalarında angina sıklığı ve tedavi kalıpları: PULSE çalışması

Zehra İlke Akyıldız, Oktay Ergene

İzmir Atatürk Eğitim ve Araştırma Hastanesi, II. Kardiyoloji Kliniği, İzmir

Giriş: Günümüzde tüm dünyada koroner arter hastalığı en başta gelen ölüm nedenidir. Türkiye'de TEKHARF çalışmasına göre koroner kalp hastalığı prevalansı %3,8'dir. Kardiyak iskeminin sık rastlanan bulgularından biri stabil angina pektorisidir. Bu hastaların medikal tedavisinde çeşitli antianginal ilaçlar kullanılmaktadır. Bu çalışmada, Türkiye'de üçüncü basamakta sağlık hizmeti sunan kurumların polikliniklerinde ayaktan takip edilen stabil koroner arter hastalarında angina prevalansı ve tedavi kalıpları incelendi.

Gereç-Yöntem: Girişimsel olmayan, ulusal, kesitsel ve çok merkezli bu çalışmaya erişkin (≥ 18 yaş) ayaktan takip edilen kronik iskemik kalp hastalarından, on dakikalık dinlenme sonrası çekilen standart 12 derivasyonlu elektrokardiografide sinus ritmi saptananlar çalışmaya dahil edildi. Tek vizitte ötüklü, fizik muayene ve mevcut laboratuvar bulguları kaydedildi. Angina şiddeti Kanada Kardiyovasküler Derneği (KKD) sınıflaması ile değerlendirildi.

Bulgular: Seksen üç merkezden 2919 hasta çalışmaya dahil edildi. Hastaların median yaşı 61(IQR=13) idi ve %73'ü erkekti. Hastaların %50'sinde angina olduğunu saptandı. Angina oranı kadınlarda (%55) erkeklerden (%48) anlamlı derecede daha fazla idi ($p=0,001$). Angina şiddetti hastaların başında KKD Sınıf-I (%41) ve II (%45) idi. Hastaların %67'si antianginal ilaç kullanmaktadır. Angina olanağında düzenli ilaç kullanımı oranın daha yüksek (%90'a karşılık 84); $p<0,001$; istirahet kalp hızı $>=70$ vuru/dak olanlarında ise daha düşüktür (%84'e karşılık 91; $p<0,001$). Angina varlığında göre kullanılan ilaçlar Tablo-I'dedir. En sık kullanılan ilaçlar sırası ile beta bloker, antiplatelet, nitrat, lipid düşürücü ve ACEI'leridir.

Sonuç: Kronik iskemik kalp hastalarında angina önemli bir oranda saptanmıştır. Angina varlığında düzenli ilaç kullanımı olmasına rağmen kalp hızında yeterli kontrolün sağlanmadığı olgularda antianginal ilaç kullanımı yeterli değildir. Hastaların tedavi planında angina önemli bir rol oynamaktadır.

Tablo 1

	Angina (+)	Angina (-)	P değeri
Antiplateletler	883 (96,0)	747 (93,2)	<0,001
Oral antiangidalan	3 (9,2)	3 (9,2)	0,508
Beta blokeler	1010 (98,8)	1033 (97,0)	0,465
Kalitonin kanal blokörleri	131 (9,2)	126 (9,6)	0,714
Dihidro	91 (9,6)	55 (9,6)	0,932
Nitrohdika	600 (94,2)	426 (92,0)	<0,001
Nitrat	37 (9,2)	3 (9,6)	<0,001
Terabrederin	123 (9,6)	109 (9,6)	0,517
Betaagonistler	123 (9,6)	90 (9,6)	0,517
Lipid düşürücü ilaçlar	547 (92,8)	424 (92,0)	<0,001
ACEI	349 (92,8)	343 (92,8)	0,772
ARB	172 (91,8)	110 (91,8)	<0,001
Digoksin	150 (91,8)	108 (91,8)	0,005
Betaantagonistik ilaçlar	4 (9,2)	11 (9,6)	0,071
Diureticler	180 (91,8)	108 (91,8)	0,009
Kardiyotoksik ilaç sayısı (median IQR)	3±2	2±1	<0,001
Antianginal ilaç sayısı (median IQR)	1±1	1±1	<0,001
Kalp hızı düşürücü ilaç sayısı (median IQR)	1±0	1±0	0,012

Reasons for drug non-compliance of outpatients with stable coronary artery disease in Turkey: PULSE study

Zehra İlke Akyıldız, Oktay Ergene

2nd Cardiology Department, İzmir Atatürk Training and Research Hospital, İzmir

Objective: To evaluate the reasons for drug non-compliance of outpatients with stable coronary artery disease at tertiary care centers in Turkey.

Methods: Adult outpatients (≥ 18 years of age) with chronic ischemic heart disease were included in this non-interventional national cross-sectional multicenter study, if they were diagnosed with normal sinus rhythm in a standard 12-lead ECG performed after resting for 10 minutes. Data on medical history, physical examination and current laboratory findings were collected at a single study visit

Results: A total of 2919 patients from 83 centers were included in the present study. Median age was 61 (interquartile range-IQR=13) years where 73 % of the study population was male. Drug non-compliance was reported in 363 patients for a total of 449 drugs (6,0% of overall medications) within the last year. Drug non-compliance (Table 1) was attributed to decisions based on the guidance of the physician in 54 % of cases while the personal decision of patients in 45 %. Adverse events were the most commonly encountered reason for the dropout in either case. Most commonly reported adverse events were headache (3,2%), hypotension (2,1%), fatigue (1,6%), impotence (1,2%), bronchospasm (1,0%), peripheral edema (0,6%), flushing (0,2%) and reflex tachycardia (0,1%). Educational level and the presence of obstructive pulmonary disease were determined to be associated with the dropout rate ($p<0,01$) while the factors including age, gender and peripheral artery disease were determined to be insignificant.

Conclusion: A good therapeutic compliance was determined in most of patients with chronic ischemic heart disease. Adverse events composed the most common reason for drug non-compliance while educational level and the presence of obstructive pulmonary disease were the significant determinants of therapeutic compliance.

Table 1. Reasons for drug non-compliance of patients

Decision by	n (%)	Reason for drug non-compliance	n (%)
Physician	243 (54)	Ineffectiveness	64 (28)
		Contraindication	21 (9)
		Adverse event	158 (65)
Patient	201 (45)	Ineffectiveness	65 (32)
		Adverse event	136 (68)
Unknown	5 (1)	-	-
Total	449 (100)	-	-

Frequency of angina attacks and treatment patterns in outpatients with stable coronary artery disease in Turkey: PULSE study

Zehra İlke Akyıldız, Oktay Ergene

II. Kardiyoloji Kliniği, İzmir Atatürk Training and Research Hospital, İzmir

Objective: To evaluate frequency of angina attacks and treatment patterns in outpatients with stable coronary artery disease at tertiary care centers in Turkey.

Methods: Adult outpatients (≥ 18 years of age) with chronic ischemic heart disease were included in this non-interventional cross-sectional national multicenter study, if diagnosed with normal sinus rhythm in a standard 12-lead ECG performed after resting for 10-min. Data on medical history, physical examination and current laboratory findings were collected at a single study visit. Severity of angina was determined based on Canadian Cardiovascular Society Classification (CCSC).

Results: A total of 2919 patients from 83 centers were included in the present study. Median age was 61 (interquartile range-IQR=13) years where 73% of the study population was male. Angina was identified in 50% of patients. Angina was determined to be significantly more common among females compared to males (55,0 vs. 48,0%; $p<0,001$). In most of patients, severity of angina was determined to be CCSC class I (41 %) or II (45 %). The percent of patients receiving antiangiinal drugs was 87%. Regular use of medications was determined to be significantly higher in patients with angina (90 vs. 84 %; $p<0,001$) while to be lower in patients with resting heart rate of ≥ 70 beats/min (84 vs. 91%; $p<0,001$). Evaluation of prescribed medications with respect to presence of angina (Table 1) revealed beta-blockers, anti-platelets, nitrates, lipid lowering drugs and angiotensin-converting-enzyme inhibitors (ACEIs) to be the most commonly used medications in order of decreasing frequency.

Conclusion: The frequency of angina in patients with stable coronary artery disease is considerable. The use of antiangiinal drugs in the presence of angina seems not to be sufficiently effective in patients lacking appropriate control of the heart rate despite the regular use of medications. Angina plays a substantial role in the treatment planning.

Table 1. Distribution of prescribed medications according to presence of angina

	Angina (+)	Angina (-)	P
Antiplatelets	883 (96,0)	763 (52,2)	<0,001
Oral anticoagulants	5 (0,3)	3 (2,2)	0,506
Beta blockers	1010 (99,4)	1033 (70,6)	0,465
Calcium channel blockers:			
dihydropyridines	131 (9,0)	126 (8,6)	0,714
non-dihydropyridines	61 (4,2)	55 (3,8)	0,552
Nitrates	600 (41,2)	425 (29,0)	<0,001
Ivabradine	37 (2,5)	9 (6,6)	<0,001
Terazosin	125 (8,4)	90 (6,7)	0,377
Lipid lowering drugs	569 (39,0)	424 (30,0)	<0,001
ACEI	348 (23,9)	343 (23,4)	0,772
Angiotensin receptor blockers	172 (11,8)	110 (7,5)	<0,001
Digoxin	150 (10,3)	108 (7,3)	0,005
Antiarrhythmics	4 (0,3)	11 (0,8)	0,071
Diuretics	150 (10,3)	108 (7,4)	0,005
Median (interquartile range)			
Number of cardiovascular drugs	3 (2)	2 (1)	<0,001
Number of antianginal drugs	1 (1)	1 (1)	<0,001
Number of heart rate lowering drugs	1 (0)	1 (0)	0,012

Koroner arter hastalığının yaygınlığı ve şiddeti ile serum leptin düzeyi ve leptin rs 7799039 (-2548 G/A) gen polimorfizmi arasındaki ilişki

Füsun Behramoğlu¹, Uzay Görmüş², Veysel Sabri Hançer³, Cem Balci⁴, Yelda Tayyareci¹, Ömer Yıldız⁵, Fatma Can¹, Şükran Erdem¹, Selen Yurdakul⁵, Saide Aytekin⁵, Nuran Yazıcıoğlu⁵, Çavlan Çiftçi¹

¹İstanbul Bilim Üniversitesi Florence Nightingale Hastanesi, Kardiyoloji Anabilim Dalı, İstanbul
²Florence Nightingale Hastanesi, Biyokimya Laboratuvarı Bölümü, İstanbul

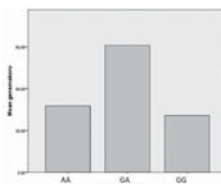
³İstanbul Bilim Üniversitesi Tıp Fakültesi, Tibbi Biyoloji ve Genetik Anabilim Dalı, İstanbul
⁴İstanbul Bilim Üniversitesi Florence Nightingale Hastanesi, Radyoloji Anabilim Dalı, İstanbul
⁵Florence Nightingale Hastanesi, Kardiyoloji Bölümü, İstanbul

Amaç: Koroner arter hastalığının (KAH) yaygınlığı ve şiddetinin değerlendirilmesinde, serum leptin düzeylerinin klasik risk faktörleri arasındaki olası yerini ve leptin rs7799039 (-2548G/A) gen polimorfizminin KAH'ın öngörürütücü etkisini araştırmayı amaçladık.

Metod: Çalışmaya, KAH koroner anjiyografi ile kanıtlanmış 152 hasta (51 adet akut koroner sendrom: AKS, 51 adet kronik koroner kalp hastalığı: KKAH) ve 50 kontrol (anjiyografik olarak NKA) hastası alındı. Tüm grupları kardiyovasküler risk faktörleri, serum leptin seviyeleri, batın bilgisayarlı tomografisi ile viseral ve subkutan yağ alanları, batın ultrasonografisi ile hepatosteatozun varlığı ve şiddeti ve karotin intima kalınlığı (KIMK) incelendi. Ayrıca KAH grubunda, Gensini skoru ile KAH'ının yaygınlığı ve şiddeti değerlendirildi.

Bulgular: Serum leptin düzeyleri AKS, KKAH ve NKA gruplarında benzer bulundu ($p>0.05$) AKS ve KKAH grubunda, KIMK, total ve visseral yağ alan, hepatosteatozun derecesi, NKA grubuna göre istatistiksel anlamlı artırmadı ($p<0.05$). Serum leptin seviyesi ile, subklank ateroskleroz göstergesi olan KIMK ($r=0.034$, $p=0.7$) arasında ve KAH yaygınlığı gösteren Gensini skoru ($r: 0.053$, $p: 0.55$) arasında ilişkili saptanmadı. Gen polimorfizminin serum total leptin düzeyi ile ilişkisine bakıldığıda LEP rs 7799039 gen varyantları arasında anlamlı bir fark olmadı ($p=0.12$). Yine her 3 hastalık grubuna göre incelenliğinde de genotipi göre leptin seviyeleri arasında fark görülmeli ($p>0.05$). AA genotipi ile hiperlipidemi arasında anlamlı ilişki bulundu ($X^2=6.828$; $p=0.033$). Gensini skoru ile leptin düzeyleri arasında direkt olarak ilişkili bulunmamasına rağmen, Genotipi AA ve GG olanların Gensini skorundan yükseltti ($p=0.004$). (Şekil 1) Yine tutulan damar sayısı açısından incelenildiğinde, GA genotipi sıklığı, 2 damar hastalığı olanlarında %61,3; 3 ve üstü damar hastalığı olanlarında ise %60,0 olup diğer genotiplerden anlamlı bir şekilde yüksek saptanmıştır ($X^2=16,190$; $p=0.013$). Genotipleme ile KIMK, abdominal ve visseral yağ alanları ve hepatosteatoz derecesi arasında ilişkili saptanmadı.

Sonuç: Çalışmamızda tek başına leptin kardiyovasküler riski öngörmekte bulunmamıştır. Ancak leptin gen polimorfizminin aterosklerozun yaygınlığı ve şiddeti ile ilişkili olabileceğini sonucuna varılmıştır. Literatürde bu konuda yetki çalışma olmadığından LEP rs 7799039 gen polimorfizminin genetik marker olarak kullanılabilirliği için henüz erken olduğu düşünülmektedir.



Gensini skorunun leptin genotiplerine göre dağılımı

Kapak hastalıkları

Romatizmal kapak hastalığı bulunan hastalarda kapak cerrahisi öncesi koroner arter hastalığı sıklığı

Enver Atalar¹, Hikmet Yorgun¹, Hamza Sunman¹, Uğur Canpolat¹, Alper Kepez², Uğur Kocabas³, Necla Özer¹, Kenan Övünç¹, Serdar Aksöyek¹, Ferhan Özmen¹

¹Hacettepe Üniversitesi Tıp Fakültesi, Kardiyoloji Anabilim Dalı, Ankara

²Marmara Üniversitesi Tıp Fakültesi, Kardiyoloji Anabilim Dalı, İstanbul

³İzmir Atatürk Eğitim ve Araştırma Hastanesi, Kardiyoloji Kliniği, İzmir

Association of serum leptin levels and leptin rs 7799039 (2548 G/A) gene polymorphism with the extent and severity of coronary artery disease

Füsun Behramoğlu¹, Uzay Görmüş², Veysel Sabri Hançer³, Cem Balci⁴, Yelda Tayyareci¹, Ömer Yıldız⁵, Fatma Can¹, Şükran Erdem¹, Selen Yurdakul⁵, Saide Aytekin⁵, Nuran Yazıcıoğlu⁵, Çavlan Çiftçi¹

¹Department of Cardiology, İstanbul Bilim University Florence Nightingale Hospital, İstanbul

²Florence Nightingale Hospital, Biyokimya Laboratuvarı Bölümü, İstanbul

³İstanbul Bilim University Faculty of Medicine, Tibbi Biyoloji ve Genetik AD, İstanbul

⁴Department of Radiology, İstanbul Bilim University Florence Nightingale Hospital, İstanbul

⁵Department of Cardiology, Florence Nightingale Hospital, İstanbul

Valvular heart diseases

Prevalence of coronary artery disease prior to valvular surgery in patients with rheumatic valvular disease

Enver Atalar¹, Hikmet Yorgun¹, Hamza Sunman¹, Uğur Canpolat¹, Alper Kepez², Uğur Kocabas³, Necla Özer¹, Kenan Övünç¹, Serdar Aksöyek¹, Ferhan Özmen¹

¹Department of Cardiology, Hacettepe University Faculty of Medicine, Ankara

²Department of Cardiology, Marmara University Faculty of Medicine, İstanbul

³Department of Cardiology, Ataturk Training and Research Hospital, Izmir

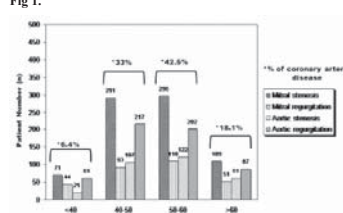
Background: Although many patients with valvular heart disease have concomitant coronary artery disease (CAD), there is limited data regarding the association between rheumatic valvular disease (RVD) and CAD. In this study, we aimed to investigate the prevalence of CAD in a group of patients having RVD and undergoing coronary angiography prior to valvular surgery.

Methods: In this retrospective analysis, we enrolled a total of 1075 patients (658 female, 61.2%; mean age: 53.2 ± 9.9 years) who underwent coronary angiography for the evaluation of CAD before valvular surgery between January 2003 and May 2010.

Results: The overall prevalence of significant CAD was 11.1%. Patients with significant CAD were older than patients without significant CAD (55.16 ± 10.4 vs 51.45 ± 9.1 , $p<0.001$). Additionally, hypertension, smoking, diabetes mellitus and dyslipidemia were more prevalent among patients with significant CAD ($p<0.05$). After adjustment for several risk factors, only aortic stenosis remained the predictor of significant CAD (OR: 1.66; 95% CI: 1.26-2.19; $p<0.001$). However, aortic regurgitation was inversely associated with the presence of CAD (OR: 0.56; 95% CI: 0.21-1.01; $p<0.001$).

Conclusion: The overall prevalence of CAD in our population with RVD was low. Rheumatic aortic stenosis is associated with increased prevalence of CAD whereas the prevalence of CAD is lower in those patients with aortic regurgitation.

Fig 1.



S-158

Aterosklerozda rol alabilecek yeni bir aday genin fonksiyonel analizi ve bu genin kardiovasküler hastalıklar ile ilişkisi

Neslihan Coban, Çağrı Güleç, Bilge Özsaat, Nihan Erginel Ünaltna

İstanbul Üniversitesi Deneysel Tip Araştırma Enstitüsü, Genetik Anabilim Dalı, İstanbul

Amaç: Toplumumuzda genel halk sağlığını etkileyen en önemli sorunlar arasında kalp damar hastalıkları gelmektedir. Bu hastalıkların altında yatan moleküler mekanizmalar henüz tam olarak bilinmemektedir. Bu nedenle, kalp-damar hastalıklarının anlaşılması ve bu hastalıkların tedavileri için yeni aday genlerin tanımlanması büyük önem kazanmaktadır. Bu grupta yer alabilecek hedef genler arasında bir transkripsiyon faktörü olan ROR-Alfa'nın regulé ettiği genler de sayılabilir. ROR-Alfa'nın, karaciğer üzerindeki iltihabi yanıtı, kolesterol ve koagülasyonu etkileyebilmesi nedeniyle, ateroskleroz gelişiminde önemli rolü olabileceği düşünülmektedir. Bu çalışmada, ROR-Alfa'nın, ateroskleroz gelişiminde rol oynayan hücrelerdeki hedef genlerinin belirlenmesi amaçlı yapılmış araştırma projesinin sonuçlarına göre üç aday gen (ABCA1, CYP19A1 ve MIF) seçilerek bu hücrelerdeki rollerini incelenmiştir.

Yöntem-Bulgular: Bu çalışmada, biyoinformatic analizlere göre ABCA1 ve CYP19A1 aday genleri seçilmiş ve ROR-Alfa antikor kullanılarak elde edilen ChIP-DNA'sında olası ROR-Alfa tamama dizerlerine özgü PCR yapılmıştır. Seçilen bu genlerin monosit ve endotel hücrelerinde ROR-Alfa'nın hedef genleri oldukları belirlenmiştir. ROR-Alfa hedef geni olduğu anlaşlan MIF geni de hedef gen olarak seçilip, fonksiyonel çalışmalarına dahil edilmiştir. Daha sonra, fonksiyonel analizler kapsamında endotel ve monosit hücrelerine ROR-Alfa yapay ligandları eklenerek, seçilen bu üç hedef genin ekspresyon düzeyleri karşılaştırılmıştır. Ayrıca, makrofaj hücrelerinde kolesterol sentez inhibitör ilaçlarının ROR-Alfa aktivitesine bağlı olarak seçilen hedef genlerin ekspresyon düzeylerine etkileri incelenmiştir. Statinlerin, bakılan hedef genlerin ekspresyonunu baskınlığı ve bu baskınlamanın ROR-Alfa ligandları tarafından kısmen engellendiği belirlenmiştir. Sonuç olarak, aterosklerotik hücrelerde ABCA1, CYP19A1 ve MIF gen ekspresyonlarının ROR-Alfa'nın kontrolü altında olduğu ve ROR-Alfa uyarularından etkilenikleri belirlenmiştir.

Sonuçlar: Aktivitesi yapay ligandlar aracılığıyla değiştirilebilir bir transkripsiyon faktörü üzerinden, ateroskleroz patogenezinde rol oynayan genlerin kontrol edilebileceğini gösteren bu çalışma, kalp-damar hastalıklarının tedavisi için potansiyel bir hedef sunmaktadır.

S-158

Functional analysis of a new candidate gene which may play role in atherosclerosis, and it's relationship with cardiovascular diseases

Neslihan Coban, Çağrı Güleç, Bilge Özsaat, Nihan Erginel Ünaltna

İstanbul University Deneysel Tip Araştırma Enstitüsü, Genetik Anabilim Dalı, İstanbul

Aim: Cardiovascular diseases are one of the most important public health problems of our population. Molecular mechanisms underlying these diseases are not known completely. Therefore, it is important to identify new candidate genes for these diseases and their treatment. Within such group of genes, there are RORα target genes, as well. Because of its ability to act on cholesterol, coagulation and inflammatory response through the liver, RORα is supposed to play crucial role in the development of atherosclerosis. Since the target genes of RORα in the monocyte and endothelial cell which play role in atherosclerosis, are not known yet, another project was started to identify RORα target genes, and some of these genes (ABCA1, CYP19A1 and MIF) were studied in this thesis study.

Methods-Results: In the first stage of this study project, two candidate target genes were selected and their RORα binding motifs were analyzed by ChIP-PCR. The selection was done depending on the results obtained from the bioinformatics analyses. These selected genes were defined to be target genes of RORα in monocytes and endothelial cells. Another candidate gene, MIF, was selected depending on the results obtained from the bioinformatics analyses of the entry chip-array results in monocytes and endothelial cells. In the scope of the functional analyses, endothelial and monocyte cells were treated with ligand specific to RORα. Furthermore, after activating of RORα, the expression of the target gene were analyzed. In addition, the relationship between three of the RORα target genes and atherosclerosis were investigated in macrophage cell culture with statin drugs. It was observed that statin represses the expression of the subjected target genes, and that this repression was partially prevented by RORα ligands. We found that some of target genes had differentiated expression.

Conclusion: Demonstrating that the genes which play role in pathogenesis of atherosclerosis could be controlled by a transcription factor, activity of which can be changed through synthetic ligands, this study offers a potential therapeutic target for cardiovascular diseases.

S-159

Arteryel yol kullanılmadan transvenöz prosedürle kapatılan PDA olgularının değerlendirilmesi

Ali Baykan, Nazmi Narin, Abdullah Özyurt, Mustafa Argun, Özge Pamukçu, Sertaç Onan, Saadettin Sezer, Kazım Üzüm

Erciyes Üniversitesi Tip Fakültesi, Pediatri Kardiyoloji Anabilim Dalı, Kayseri

Giriş: Transkatereter PDA oklütisyonda standart uygulama retrograd olarak arteriel yolu kullanılmıştır ya da femoral arter anjiyogramlarının reberlinde özellikle bazı cihazlar için tek yol olan transvenöz prosedürün kullanılmıştır. Ancak femoral arterine giremeye veya arteriel yolu kullanılmamının kontraadıktive olduğu hastalarda alternatif metodları ihtiyaç vardır. Seçilmiş hastalarda transtoraksik ekokardiyografi ve pulmoner arter enjeksiyonunu dönüs fazındaki aortogramların reberlinde sadece femoral yolu kullanılarak kapatılan PDA'lı olgular geriye dönük değerlendirildi ve işlem başarıları, komplikasyonlarıyla kullanıcıları bir yöntem olup olmadığını idrəkledi.

Material-Metod: 2001 yılından beri 400'e yakın transkatereter PDA oklütisyonda yapılan merkezimizde 2005-2012 yılları arasında sadece femoral yolu kullanılarak girişim yapılan 20 hastanın demografik özellikleri, işlem öncesi ve takipteki ekokardiyografi bulguları, anjiyokardiyografi-prosedür bilgileri retrospektif olarak incelenmiştir.

Bulgular: Girişim yapılan 20 hastanın demografik özellikleri, kullanılan cihazın özellikleri ve anjiyokardiyografi verileri tablo 1'de özetlenmiştir. Pulmoner arter basıncı (PAP) ortalaması 15 (%75) hasta 20 mmHg'ye yükseldi. Ortalama Qp/Qs 2.2±1.5 (1.2-6.69), PVR 1.91±1.16 (1-5.6), skopi süresi 13.3±5.4 dakika (7-27), prosedür süresi 43.5±9.1 (29-64), izlem süresi 21.7±14.6 ay (7-78) olarak belirlendi. PDA çapıyla ortalaması PAP vs Qp/Qs arasında istatistiksel olarak anlamlı ilişkili bulunmuştur (p sırasıyla 0.164 ve 0.317), PDA çapıyla kateter salomonu kapama oranları arasında ters ilişkili vardı (p=0.051), (figür 1). İşlem PAP çok yüksek olan ve işlem sırasında oklütisyonu toler etmediği için ebazi geri alınmak suradına kalınan 1 hasta dışında tüm hastalarda başarılı oldu (%95). Komplikasyon gözlemedi. Kapama oranları kateter salomonunda 14/19 (%74), 24. Saatte 17/19 (%89), 1. Ayda ise 19/19 (%100) olarak belirlendi.

Tartışma: Transkatereter PDA kapatılmasında antegrad prosedürin uygulandığı çok merkezi geniş çalısmalarla ilave arteriel yolu kullanılmıştır. Arteriel yolu kullanımına bağlı femoral arter komplikasyonları %11'e kadar bildirilmiştir. Literatürde arteriel yolu kullanılmadan transvenöz prosedürlerde yapılan köpek ve koynu çalışmaları, işlem başarısının ve komplikasyon oranlarını standart prosedürle oklütisyon yapılan insan çalışmalarına yakın olduğunu göstermiştir. Ancaq literatür taramasında arteriel yolu kullanılmaksızın sadece venöz kapamanın uygulandığı geniş insan çalışmasına rastlanmadı.

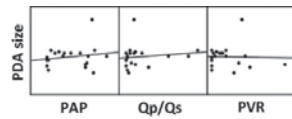
Sonuç: PDA kapama planlanan hastalarda arteriel yolu kullanılmadığı durumlarda deneyimi merkezler tarafından sadece venöz yolu kullanılarak ekokardiyografi reberlinde uygulanacak PDA kapama prosedürünün, işlem başarısını olumsuz etkilemeyeceği, periferik arter komplikasyonları gibi istenmeyen durumları ortadan kaldıracağı düşünüldüğünde seçilmiş hastalarda standart prosedür alternatif bir metod olarak kullanabilecegi kanaatindeyiz.

S-159

Evaluation of PDA closure cases with transvenous procedure w/o arterial route

Ali Baykan, Nazmi Narin, Abdullah Özyurt, Mustafa Argun, Özge Pamukçu, Sertaç Onan, Saadettin Sezer, Kazım Üzüm

Department of Pediatric Cardiology, Erciyes University Faculty of Medicine, Kayseri



Figür 1. PDA çapıyla hemodinamik veriler arasındaki ilişki

Tablo 1. Arteryel yol kullanılmadan sadece femoral arter yolu kullanılarak kapatılan PDA olgularının klinik demografik ve prosedür özellikleri

Demografik Özellikler	Prosedür Özellikleri
Yaş (yıl)	PAP (mmHg)
İzlem Süresi (ay)	Qp/Qs
Skopi Süresi (dakika)	PVR
Genitaller (erkek-kız)	
İşlem Başarılı (%)	
Komplikasyon (x)	
Kapama (x)	
Çap (mm)	

Multipl kardiyak anomalileri olan 3 yaşında hastada sinus valsalva anverizma rüptürüne vasküler plug-4 ile retrograd kapatılması

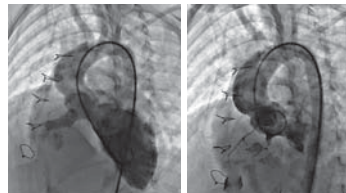
Nazmi Narin, Abdullah Özçurt, Ali Baykan, Mustafa Argun, Özge Pamukçu, Kazım Üzüm

Erciyes Üniversitesi Tip Fakültesi, Pediatri Kardiyoloji Anabilim Dalı, Kayseri

Giriş: Sinüs Valsalva anevrizması (SVA) konjenital veya edinsel nedenlerle ortaya çıkan nadir bir malformasyondur. Anevrizma banyo boyutuyle çevre dokulara rüptüre olabilir. Bu durum hastalığın klinik belirti/bulgularıyla прогнозunu belirler. Geleneksel tedavi cerrahıdır. Ancak rezidü kaçaklar, aort yetersizliğinin ve fistülün tekrarlanması, sternotomi ihtiyacı cerrahının dezavantajlarındır. Diğer tarafından SVA rüptürü olan çocuk ve yetişkin hastalarda çeşitli cihazlar kullanılarak transkaveter kapama başarıyla gerçekleştirilmektedir. Vakaların cogunda snare katererlerle arteriovenöz loop oluşturularak antegrade yoldan kapama uygulanmıştır. Burada ise SVA rüptürü retrograd yaklaşımla, vasküler plug-4 kullanılarak kapatılan ve ilave multipl kardiyak malformasyonları olan 3 yaşında kız olgu sunuldu.

Oluştu: Yenidogan döneminde üfürün nedeniyle yapılan transtorasik ekokardiyografik incelemesinde malalignment VSD, ASD, çift odacıklı sağ ventrikül ve buna bağlı subpulmonik darlık, mitral ve trikuspit yetersizliği belirlendi. Antikonjestif tedaviyle 9 ay izlenen hastanın anjiyokardiyografisi yapıldı. Ciddi pulmoner hipertansiyonu olduğu için interatrial septumda küçük bir açıklık bırakılarak VSD yama ile katıldı. Ameliyatın sona erdirilmesiyle birlikte, sonraki dönemde aort yolu rekonstrüksiyonu yapıldı. Sonraki ekokardiyografi takiplerinde non-koroner sinus'te anevrizma belirlenmiş, hastanın 3 yaşında yapılan transtorasik ekokardiyografisinde sağ ventrikül ile non-koroner sinus arasında rüptüre bağlı devamlı akım ölçülmüştür. Aort kökü enjeksiyonunda 14 mm uzunluğunda ve 6.8 mm çapında anevrizma tepeşinden sağ ventrikülde doğru fistül gösterildi (resim 1). Sağ koroner katererle retrograd olarak fistül girdili. 8 mm vasküler plug-4 kullanılarak defekt kapatıldı (resim 2). İşlem sonrası kontrol aortogramda defekt içinden minimal rezidüel şant belirlendi. Ekokardiyografik incelemelerinde önesiz rezidü santi devam etti. Prosedür sonrası var olan eser aort ve orta derece trikuspit rejüritasyonu düzeldi. Çabuk yorulma ve kilo alamama şikayetleri geriledi. Hastalar düzenli poliklinik izleniminde opere VSD, opere subaortik ridge, rezidü subaortik darlık (20 mmHg), opere çift odacıklı sağ ventrikül, subpulmonik darlık (45 mmHg), 1° mitral rejüritasyonu tanımlarıla izlenmektedir.

Sonuç: Vakaların büyük bir kısmında antegrade yaklaşım kullanılmıştır. Bu yöntemde rüptürüne fromen retrograd girişler defekte ilişkili boşlukta snare ile yakalanan tel femoral veden çıkarılır ve böylece aterio-venöz loop oluşturularak. Antegrade olarak ilerletilen cihazla da defekt kapatılır. Olgumuzda yeni geliştirilmiş cihazlardan olan vasküler plug kullanılarak anevrizma retrograd olarak kapatıldı. Bu yöntemde daha kisa florasopi zamanı kullanılarak cihaz anevrizmaya yerleştirildi. Olgumuzda olduğu gibi seçilmiş vakalarda retrograd yaklaşımla daha kisa sürede güvenli ve etkili anevrizma kapatılmasının uygun bir seçenek olacağı kamışındayız.



Figür 1. Sol ventrikül anjiyografinde 14 mm uzunluğunda, 6.8 mm çapında non-koroner sinus'ta anevrizması ve anevrizmanın sağ ventrikül fistülü

Figür 2. Anevrizma içinde serbestleştirilen 8 mm vasküler plug-4. Kontrol aort enjeksiyonunda cihaz içinden hafif rezidüel şant izleniyor

Retrograde closure of rupture of sinus Valsalva aneurysm with vascular plug-4 in a 3 year old case with multiple cardiac anomalies

Nazmi Narin, Abdullah Özçurt, Ali Baykan, Mustafa Argun, Özge Pamukçu, Kazım Üzüm

Department of Pediatric Cardiology, Erciyes University Faculty of Medicine, Kayseri

The quality of life in children with congenital heart disease after surgery

Hava Yazıcı, Timur Meşe, Önder Doksoz, Rahmi Özdemir, Yılmaz Yozgat, Savaş Demirpençe

Dr. Behçet Uz Çocuk Hastalıkları ve Cerrahisi Eğitim ve Araştırma Hastanesi, İzmir

Congenital heart disease is one of the most common pediatric chronic illnesses that have an impact on the lives of affected children and their families. Assessment of the children's quality of life began at the 1980's and nowadays it is widely used in the daily clinical practice for comparison of treatment options and evaluation of their effectiveness.

Methods: In our study, the ConQoL questionnaire is applied to 52 children between 8-16 years old, with congenital heart disease and underwent an intervention at Dr. Behçet Uz Children's Hospital, Pediatric Cardiology Unit between at April 2011 -June 2011.

Results: The ConQoL Index Score were not showed significant difference at group of among 8-11 years old patients and control group. We found significant difference about being picking on and teasing by other children, being able to run about and allowed to do sports and exercise, keeping up with friends. The ConQoL Index Score were found significant between 12 – 16 year old Patients and control groups. In this group we found significant difference against to Control group in the questions about being allowed to do sports and exercise, being Able to do keep up with friends, being able to go to clubs / do activities outside of School.

Conclusion: The quality of life in children with congenital heart disease is affected by especially reduced physical activity.

Konjenital kalp hastalıklarında cerrahi sonrası hayat kalitesi

Hava Yazıcı, Timur Meşe, Önder Doksoz, Rahmi Özdemir, Yılmaz Yozgat, Savaş Demirpençe

Dr. Behçet Uz Çocuk Hastalıkları ve Cerrahisi Eğitim ve Araştırma Hastanesi, İzmir

Akut koroner sendromla başvuran koroner seyir anomalili pediyatrik olguda koroner stent uygulaması

Ali Baykan¹, Mehmet Güngör Kaya², Özge Pamukçu¹, Abdullah Özyurt¹, Mustafa Argun¹, Kazım Üzüm¹, Ali Ergin², Ertuğrul Mavili³, Nazmi Narin¹

¹Erciyes Üniversitesi Tip Fakültesi, Pediatri Kardiyoloji Anabilim Dalı, Kayseri

²Erciyes Üniversitesi Tip Fakültesi, Kardiyoloji Anabilim Dalı, Kayseri

³Erciyes Üniversitesi Tip Fakültesi, Radyoloji Anabilim Dalı, Kayseri

Amaç: Koroner arter anomalileri konjenital kalp hastalıklarının nadir formlarından birisi olup, genelde ani ölüme bulgu vermektedir. Hastaların çoğu otopsi ile tanılmaktadır. Gelişmiş görüntüleme yöntemleriyle hastalara tani koymak kolaylaşmıştır. Biz de çok kesiti tomografi ile tanı konulan intavasküler stent ile kliniği düzelttilen koroner arter seyir anomalili bir vakayı sunmak istedik.

Ölgu: Oniki yaşında kız hasta okulda beden eğitimi sırasında koşarken aniden göğüs ağrısı sonrası bilinc kaybı ile acil servise getirildi. Öyküsünde gözlerde kayma ya da kasılma yoktu. Son 3 yıl içerisinde toplam 5 kez benzer şekilde bayılma öyküsünün olan hastanın bayılma öncesi efor ve göğüs ağrısı ve üriner inkontinansı olması nedeniley nörolojinin yönünden tetik edildiği fakat herhangi bir patolojije rastlanmadığı öğrenildi. Fizik muayenesinde herhangi bir özellik saptanmamıştır. Hastanın acil servise katıldığı çekilen EKG' sinde DI, V1 ve V2'de ST-T elevasyonu, II, III ve V6'da ST çökmesi mevcuttur. Tetiklerde troponin: 0,006, ekokardiyografi incelenmesinde sol atriyumda genişleşme, 2° mitral yetmezlik belirlendi. Miyokard fonksiyonları normaldir. Akeiger filminden yaygın infiltrasyonlar olan hastanın takibinde tansiyonun düşmesi, ortopnesinin artması, oksijen saturasyonun düşmesi nedeniyle entube edilerek intropik destek başlandı. Gelişinde normal olan kardiyak enzimler ve ProBNP değerleri giderek yükseldi (CK: 4854, CK-MB: 472, troponin >50000, ProBNP: 7012). Takiplerinde sol ventrikül EF ve FS' de azalma olması üzerine hastaya çok kesiti tomografi çekildi. Tomografide her iki koroner arterin de sol koroner sinüsün ölçüleri, sol koroner arterin aorta arkasından dolanarak ana pulmoner arter ve aorta arasında basıya uğradığı raporlandı (Figure 1). Hastanın takibinde ventriküler taşkardisi gelişmesi, genel durumun bozulması, genel durumunun cerrahi için uygun olmaması nedeniyle acil olarak koroner anjiyografi yapılarak sol koroner arterine stent yerleştirildi. Takibinde miyokard fonksiyonları düzelen hastanın introp ihtiyaç ortadan kaldırılmış ve hasta ekstube edilerek 5. gününde taburecü edildi. Hastaya ileri dönemde cerrahi planlandı.

Sonuç: Koroner arter anomalilerinin varlığı ve anomal damarların seyrinin gösterilmemesinde çok kesiti koroner BT Anjiyografi güvenilir ve kullanılış bir yöntemdir ve koroner anomalilerin değerlendirilmesinde ilk seçenek olarak kullanılabilir. Koroner anomalisi olan vakalarda kesin tedavi cerrahi olup cerrahının mümkün olmadığı durumlarda, koroner stent uygulaması, cerahiyeye vakıt kazandırmak için hayat kurtarıcı palatif bir girişim olabilir.



Çok Kesiti tomografide Sol Koroner arterin aorta ve pulmoner arter arasındaki anormal seyri

Kalp damar cerrahisi

İzole ve kombine cerrahi prosedürlerde aortik biyoprotez kapak replasmanı sonuçları

Sabit Sarıkaya, Eray Aksoy, Fuat Büyükbayrak, Serpil Gezer Taş, Özge Altaş, Mehmet Dedemoglu, Hasan Erdem, Kaan Kiralı

Kartal Koşuyolu Yüksek İhtisas Eğitim ve Araştırma Hastanesi, İstanbul

Giriş: Aort stenozunun cerrahi tedavisinde biyoprotez kapaklar giderek artan sıklıkta tercih edilmektedir. İleri yaş grubunda aortik biyoprotez kapaklar mekanik protez kapaklara nazaran daha sık tercih edilmekte birlikte, yine bu hasta grubunda kombine cerrahi girişimi gerektiğiinde prosedürsel zorluk oluşturacağı duşüncesiyle daha az tercih edilmektedir. Bu çalışmada aortik biyoprotez kapakları kombine prosedürlerde güvenle kullanılabileceğini göstermeye amaçladık.

Gereçler ve Yöntem: Klinikümüzde son 10 yıl içerisinde aort stenozuna yönelik 47 hastaya uygulanan aortik biyoprotez kapak replasmanına ait veriler retrospektif olarak değerlendirilmiştir. Ortalama yaşı 71.89 ± 7.13 yıl (52 - 86) idi. Hastaların 21'i kadın (%44.7), 26'sı erkek (%55.3), 25 hastaya (%53.2) izole aortik biyoprotez kapak replasmani uygulanırken 21 hastaya (%44.7) ilave-ten koroner arter bypass grefflemeye ve 1 hastaya (%2.1) CABG dişi ek kardiyak girişimler uygulandı. Tüm hastaların 27'sinde stentsiz (%57.4), 20'inde stentli (%42.6) biyoprotez kapak kullanıldı. Aortik biyoprotez kapak replasmanı 1 hastada (%2.1) ikinci girişimdi. Darlık seviyesi 9 hastada (19.1%) leaflet dokusuya sınırlıken, 38 hastada (80.9%) leaflet tutulumuna annulus tutulumu da eşlik etmektedir. Postoperatif verilerin değerlendirilmesi için hastalar kombine ve izole aortik biyoprotez kapak replasmanı olacak şekilde iki gruba ayrıldı. Verilerin gruplar arasında dağılımının analizinde normal dağılan veriler için Ki kare ve Fisher's exact test ve Student's T test kullanıldı. Normal dağılmayan sayısal verilerin grupalarası dağılımında Mann Whitney U testi kullanıldı.

Sonuçlar: Kombine grubun kross klemp süresi izole grubu kıyasla (118.13 ± 51.15 'e karşın 92.72 ± 24.45 dakika) ve total perfüzyon süresi (148.09 ± 49.95 'e karşın 119.16 ± 22.21 dakika) anlamlı düzeyde daha yüksekti ($p<0.05$). Her iki grubun ameliyat sonrası ortalama ventilasyon süresi (18.27 ± 12.73 'e karşın 14.52 ± 6.48 saat, $p>0.05$) ve ortalama yoğun bakımda kalış süresi arasında fark olmadığı bulunmuştur (3.77 ± 2.79 'e karşın 3.40 ± 2.72 gün, $p>0.05$). Kombine ve izole grup arasında düşük kardiyak debi (%22.7'ye karşın %20.0), pulmoner komplikasyonlar (%64.5'a karşın %8), renal komplikasyonlar (%31.8'e karşın %16.0), atrioventriküler blok (%0'a karşın %16.0), kalıcı pace maker gerekliliği (%0 vs %4.0) dikkate alındığında istatistiksel olarak anlamlı fark görülmemiştir. Operatif mortalite 4 hastada (%8.5) görülmüş olup gruplar arasında anlamlı fark görülmemiştir (%9.1 vs %8.0, $p>0.05$).

Tartışma: Aortik biyoprotez kapak implantasyonu yapılan hastalarda kross klemp süresi ve total perfüzyon süresi kombine prosedürlerde izole prosedürlere kıyasla daha uzun olsa da, bu durum postoperatif dönemde olsumsuz sonuçlarla ilişkili değildir.

Coronary stent application in pediatric acute coronary syndrome case with coronary arterial anomaly

Ali Baykan¹, Mehmet Güngör Kaya², Özge Pamukçu¹, Abdullah Özyurt¹, Mustafa Argun¹, Kazım Üzüm¹, Ali Ergin², Ertuğrul Mavili³, Nazmi Narin¹

¹Department of Pediatric Cardiology, Erciyes University Faculty of Medicine, Kayseri

²Department of Cardiology, Erciyes University Faculty of Medicine, Kayseri

³Department of Radiology, Erciyes University Faculty of Medicine, Kayseri

Cardiovascular surgery

Outcomes of aortic bioprosthetic valve replacement in isolated and combined surgical procedures

Sabit Sarıkaya, Eray Aksoy, Fuat Büyükbayrak, Serpil Gezer Taş, Özge Altaş, Mehmet Dedemoglu, Hasan Erdem, Kaan Kiralı

Kartal Koşuyolu Yüksek İhtisas Training and Research Hospital, İstanbul

Kapak hastalıkları

S-164

Mitral kapak tamirinde 3 boyutlu rıjıt ring kullanımının erken ve orta dönem klinik sonuçları

Sabit Sarıkaya, Özge Altas, Onur Yerlikhan, Eray Aksoy, Taylan Adademir, Kaan Kiralı

Kartal Koşuyolu Yüksek İhtisas Eğitim ve Araştırma Hastanesi, İstanbul

Giriş: Günümüzde birçok mitral kapak hastalıklarında mitral kapak onarımı genellikle en çok tercih edilen cerrahi yöntemdir. Piyasada çok şekilli mitral anüloplasti halkaları vardır. Mitral kağına 3 boyutlu dinamik davranışını ve eyer şeklinde olması anüloplasti ringi tasarımlarının geliştirilmesinde dikkate alınmıştır. Biz semi-flexible ringlere üstünliğinden dolayı, subvalvuler apart etkileyen bazı romatizmal hastalıklar hariç mitral kapak patolojilerinin coğulluğu için 3 boyutlu eyer şeklinde rıjıt anüloplasti halkasını tercih ettiğiz.

Gereçler ve Yöntem: Ekim.2009 – Mart.2012 tarihleri arasında 39' u erkek, 38'i kadın olmak üzere toplam 77 hastaya kapak yetmezliği nedeniyle 3 boyutlu eyer şeklinde sert anüloplasti ring (St. Jude Medical® Rigid Saddle Ring with EZ Suture™ Cuff) implanté ettik. Hastaların yaş ortalaması $59,55 \pm 12,90$ idi. Mitral yetmezlik etyolojisi, 35 hastada dejeneratif, 32 hastada iskeletik ve 10 hastada romatizmal idi. Bu hastaların %31,1 (n = 24)'inde orta, %69,2 (n = 53)'inde ciddi mitral yetersizliği vardı. Ek cerrahi girişim olarak CABG, AVR, asandan aortaya greft interpozisyonu, David prosedürü ve Trikuspid kapak rekonstrüksiyonu uygulandı.

Sonuç: Onarım tüm hastalarda başarılı bir şekilde uygulandı. Düşük kardiyak debi sendromu, sepsis ve akut renal yetmezlik sebebiyle 7 (%9) hastane ölümü vardı. Takipler sırasında bir hastada ring ayırması sebebiyle reoperasyon haricinde %98,5 oranda diğer tüm hastalarda yeniden cerrahi gereksinimi olmadı. Uzun dönemde takiplerin tamamlanması yaşayan hastaların %97'sinde (n=68) gerçekleştirildi. Yerleştirilen anüloplasti ringinin ortalaması büyütüğü $31,01 \pm 1,9$ mm idi. İmplant sonrası yapılan ekokardiogramda, hastaların %92,3'ünde sıfır veya hafif, %15,3'ünde orta derece yetmezlik saptandı. Rutin kontrollerde hastalar klinik olarak iyi ve herhangi bir semptom göstermiyorlardı. Uzun dönemde ekokardiografi çalışmaları devam etmektedir.

Tartışma: Mitral anüloplasti halkalarının optimal şekil ve esnekliği hala tartışılmaktır. Eyer şeklindeki ringler, düz ringlere karşılaştırıldığında mitral anulus üzerinde düşük ve uniform güç dağılımına sebep olması ve leaflet gerilimini azaltarak onarım dayanıklığını artırmasının gibi mekanik yaralar sağlamaktadır. Bu çalışmada elde edilen bulgular, tatmin edici bir kapak işlevi ile düşük komplikasyon insadiansını göstermektedir. Halkaların dayanıklığını saptamada uzun dönemde takip süreçleri gerekmektedir.

Valvular heart diseases

S-164

Early and midterm clinical experience of 3-dimensional saddle shape rigid annuloplasty ring in mitral valve repair

Sabit Sarıkaya, Özge Altas, Onur Yerlikhan, Eray Aksoy, Taylan Adademir, Kaan Kiralı

Kartal Koşuyolu Yüksek İhtisas Training and Research Hospital, İstanbul

Objective: Mitral valve repair generally preferred as a surgical approach in most of the mitral valve disease. There are multiform mitral annuloplasty rings on the market. The 3D dynamic behavior and saddle shape of the mitral valve is taken into account at developing the annuloplasty ring designs. We preferred 3-dimensional saddle shape rigid annuloplasty ring depending on its benefits over semi-flexible ring for majority of the mitral pathologies except some cases with rheumatismal disorders affecting subvalvular apparatus.

Material and Methods: From October 2009 to March 2012, we implanted 3-D saddle shape rigid annuloplasty ring (St. Jude Medical® Rigid Saddle Ring with EZ Suture™ Cuff) for valvular regurgitation in 77 patients, 39 males and 38 females with a mean age of $59,55 \pm 12,90$ years. The etiology of mitral regurgitation was degenerative in 35 patients, ischemic in 32 patients and rheumatic in 10 patients. Of these patients, 31,1% (n=24) had moderate, 69,2% (n=53) had severe MR. Concomitant surgical procedures were CABG, aortic valve replacement (AVR), graft interposition to ascending aorta, David procedure and Trikuspid valve reconstructions.

Results: Repair was completed successfully in all patients. There were 7 (9%) hospital mortality due to low cardiac output syndrome, sepsis and acute renal failure. At follow up, freedom from reoperation was 98,5% with one patient who required reoperation for detachment of the ring. Complete follow-up was available in 97% (n=68) of survivors, ranging from 1 to 24 months. The mean size of inserted annuloplasty ring was $31,01 \pm 1,9$ mm. On the post-implant echocardiogram, 92,3% of the patients had nil or mild, 15,3% of all had moderate regurgitation. In routine controls, the patients were doing well clinically and had no symptoms. Long-term echocardiographic studies are still going on.

Conclusions: The optimal shape and flexibility of mitral annuloplasty rings are still controversial. Saddle shaped annuloplasty rings provide a mechanical benefit to the valve through a low and uniform force distribution of the mitral annulus and reduction in leaflet strains to improve repair durability compared with flat rings. The findings from this study indicated a low incidence of complication with a satisfactory valvular function. Long term follow-up is required to obtain the durability of this ring.

Kardiyak görüntüleme

S-165

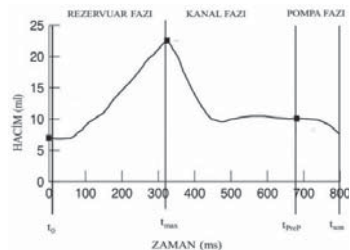
Diastolik disfonksiyon derecesine göre sol atriyal doluş sürelerinin iki boyutlu speckle tracking yöntemi ile değerlendirilmesi

Uğur Küçük¹, Atilla İlyaso¹, Hilal Olgun Küçük², Şevket Balta¹, Sait Demirkol¹

¹GATA Ankara Kardiyoloji Anabilim Dalı, Ankara

²Gazi Üniversitesi Tip Fakültesi, Kardiyoloji Anabilim Dalı, Ankara

Sol atriyal fonksiyonlar, tüm kardiyak döngü boyunca ventriküler fonksiyonlarla yakın ilişkilidir. Sol atriyum fonksiyonlarındaki değişiklikler, sol ventrikül dolus bozukluğunun ilerleyen derecelere göre detaylandırılabilir. Elli diastolik disfonksiyonu olan koroner arter hastası ile birlikte 56 kişilik kontrol grubu değerlendirilmeye alındı. Sol atriyumun fonksiyonlarının değerlendirilmesinde hacimsel indekslere ilavə olarak sol atriyal doluş süreleri farklı olabileceği hipotezi ile speckle tracking ile elde edilen hacim-zaman grafiğinden doluş sürelerini hesaplandı (Şekil 1 Sol atriyum hacim-zaman grafiği). Sol atriyum doluş süresi diastolik disfonksiyon grubundan artmış olarak bulundu (Kontrol= $0,411 \pm 0,042$, Diastolik Disfonksiyon= $0,563 \pm 0,061$, $p<0,001$). Elde ettigimiz değerlerin E/E' ile korelasyonunu incelediğimizde özellikle sol atriyum doluş süresinin iyi derecede pozitif korelasyonu dikkat çekmiştir ($p<0,001$ $r=0,741$). Bildiğimiz kadarylla iki boyutlu speckle tracking ile elde edilen atriyum hacim zaman eğrisi üzerinden doluş süreleri analizi ilk kez bu çalışma ile yapıldı. Yapılan çalışmaları incelediğimizde aynı doppler parametrelerine sahip hastalarda sol atriyumun morfolojik ve elektriksel yeniden şekillenmesi farklı bulmuştur. Buradan yola çıkararak hastaların doluş sürelerinin anlamlı olarak farklı olacağını hipoteze ettiğim. Bu parametrenin E/E' ile korelasyonunu baktığımızda yüksek korelasyon gösterdiğini gördük ($p<0,001$ $r=0,741$). Diastolik fonksiyonları etkileyen etmenlerin çokluğu hastaları değerlendirmede yeni parametreler arayışına imtedik. Yapılığımız bu çalışmada bu alana yeni bir oyuncu kazandırdığımızı düşünüyoruz.



Sol atriyal hacim-zaman grafiği ve doluş süresinin hesaplanması

Cardiac imaging

S-165

Quantification of left atrium filling time with 2D speckle tracking echocardiography at different diastolic dysfunction grades

Uğur Küçük¹, Atilla İlyaso¹, Hilal Olgun Küçük², Şevket Balta¹, Sait Demirkol¹

¹Department of Cardiology, GATA, Ankara

²Department of Cardiology, Gazi University Faculty of Medicine, Ankara

Pulmoner hypertansiyonlu hastalarda pulmoner arter sistolik basıncının hesaplanmasında bilgisayarlı tomografinin yeri

Sabahattin Gündüz¹, Nesrin Gündüz², Ertuğrul Zencirci³

¹S.B. Tuzla Devlet Hastanesi, Kardiyoloji Bölümü, İstanbul

²İskenderun Devlet Hastanesi, Radyoloji Bölümü, İskenderun

³S.B. Ümraniye Eğitim ve Araştırma Hastanesi, Kardiyoloji Kliniği, İstanbul

Amaç: Pulmoner hypertansiyon (PH) tanısında, pulmoner arter sistolik basıncının (sPAB) Doppler ekokardiografi ile triküsپit yetersizliği jeti üzerinden tahmini olarak hesaplanması en sık kullanılan tarama yöntemidir. Kronik obstruktif akciğer hastalığı, obezite veya göğüs deformitesi gibi durumlarda kötü ekokardiografi pencelesi nedeniyle ya da triküsپit yetersizliği jetinin minimal olması durumunda tahmini sPAB ekokardiografi ile güvenilir şekilde hesaplanamayabilir. Bilgisayarlı tomografi (BT) ise PH varlığında önemli ipuçları verebilen bir tetkiktir. Bu çalışmada tahmini sPAB'ın hesaplanmasında BT'nin yeri ekokardiografi ile karşılaştırılmış olarak araştırıldı.

Yöntemler: Çeşitli nedenlerle hastanede yatırlarak veya ayaktan takip edilmekte olan ve trans-toraks ekokardiografi ile sPAB > 35 mmHg olduğu tespit edilmiş ve ekokardiografi ile tıç gün içerisinde kontrastlı 64-kesilli toraks BT yapılmış olan hastalar retrospektif olarak analiz edildi. BT gemiciliği analiz için yeterli düzeyde olan 57 hasta (37 kadın, 20 erkek) çalışmaya dahil edildi. Tüm hastalar BT analizi sonucunda ana pulmoner arter (PA), sağ ve sol pulmoner arterler, sağ desendan pulmoner arter (SağDPA), sol desendan pulmoner arter, sağ ve sol ventrikül serbest duvar kalınlıkları ile kavite çapları, toraks çapları (TC), asendan aorta (AA) ile desendan aorta (DA) çapları elde edildi. Bunlara ek olarak, PA/DA, PA/AA ve PA/TC oranları hesaplandı. Tüm bu BT parametreleri içinden ekokardiografik sPAB ile orta veya yüksek düzeyde ilişkili olanlar korelasyon analizi ile belirlendi.

Bulgular: Ortancı ekokardiografik sPAB 45 mmHg (35-80 arasında) idi. Dana Point sınıflamasına göre 3 (%53) hastada Grup I PH, 17 (%29.8) hastada Grup II PH, 28 (%49.1) hastada Grup III PH, 8 (%1.6) hastada Grup IV PH ve 1 (%1.8) hastada Grup V PH mevcuttu. Korelasyon analizi sonucunda sPAB ile orta düzeyde korelasyon gücüne sahip BT parametrelerini PA/DA oranı ($R=0.57$, $p<0.001$) ve SağDPA ($R=0.33$, $p=0.015$) olduğu gözlenenken, yüksek korelasyon gücüne sahip parametre saptanmadı. Çok değişkenli regresyon analizi sonucunda PA/DA ve SagDPA'daki değişimin sPAB'taki değişimine etkisi formüle edildi. Buna göre sPAB'ı tahmin edebilmek için en uygun denklemin sPAB = $13.66 + PA/DA \times 24.06 + SagDPA \times 3.82$ ($R=0.54$, $p<0.001$) olduğunu saptandı. Alt grup analizde prekapiller PH (Dana Point Grup I, III, IV, V PH hastaları) olan 40 (%70.2) hastada, PA/DA ve SağDPA ekokardiografik sPAB ile yüksek düzeyde korelasyon bulundu. Ancak bu iki parametre postkapiller PH (Dana Point Grup II PH hastaları) hastalarında sPAB ile ilişkili değildi.

Sonuç: Kontrastlı toraks BT ile heterojen bir PH hasta grubunda sPAB tahmini olarak hesaplanabilir. Bu durum özellikle ekokardiografının yetersiz veya kısıtlılıklarının olduğu durumlarda PH taraması için önem kazanabilir. Bu veriler, daha yüksek serili ve sağlam kriterizasyonunun kullanıldığı, spesifik PH alt grupperinin dahil edildiği çalışmalarla desteklenmelidir.

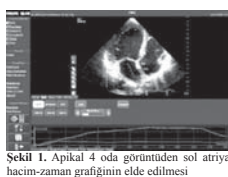
Koroner arter hastalarında sol atrium mekanik fonksiyonlarının iki boyutlu speckle tracking yöntemi ile değerlendirilmesi

Ügur Küçük¹, Atilla İlyisoy¹, Hilal Olgun Küçük², Şevket Balta¹, Sait Demirkol¹, Sinan İşcen¹

¹GATA Ankara Kardiyoloji Anabilim Dalı, Ankara

²Gazi Üniversitesi Tip Fakültesi, Kardiyoloji Anabilim Dalı, Ankara

Koroner arter hastalarında sol ventrikül diastolik disfonksiyonunun derecesi prognoza direkt olarak ilişkilidir. Sol atrium fonksiyonları sol ventrikül diastolik disfonksiyonunda daha öncem kazanır. Sol atrium işlevlerinin nicel değerlendirilmesi, koroner arter hastalarında prognostik risk belirlemeye ek bilgiler verebilir. Çalışmamızın amacı, 2-boyutlu speckle tracking ekokardiografi (2BSTE) kullanarak, koroner arter hastalarında sol atrial (LA) hacim ve fonksiyonları ileri değerlendirilmesidir. Eller koroner arter hastası ile birlikte 56 kişilik kontrol grubu değerlendirilmeye alındı. Çalışmamızın katılan hastaların ekokardiografik değerlendirilmesi Philips I33 sistemi (Andover MA USA) ve, SS-1 3.5 MHz prob kullanılarak yapıldı. Sol atrium fazik fonksiyonlarının sol atrium minimum(LAV Min), maksimum(LAV maX) ve atrial kontraksiyon öncesi sol atrium hacmi (LAV Pre P) üzerinden Tablo 1 ve Şekil 1'de belirtildiği şekilde hesaplandı. Sol atrium rezervuar fonksiyonları diastolik disfonksiyon ilerledikçe bozulmaktadır($p<0.001$). Sol atrium kanal fonksiyonları kontrol grubu ile karşılaştırıldığında diastolik disfonksiyon tüm evrelerinde azalmış olarak bulundu($p<0.001$). Sol atrium pompa fonksiyonu evre I ve II'de artmış evre III'de ise azalmış olarak bulundu($p<0.001$). Sol atrium fazik fonksiyonlarının diastolik disfonksiyon derecesine göre değişimini Şekil 2'de gösterilmiştir. Çalışmamızda sol atrial fazik fonksiyonlarını diastolik disfonksiyon evrelerinde analiz ettiğimizde, evre I diastolik disfonksiyon patogenezinde bozulmuş ve yavaşlamış sol ventrikül gelişmesi vardır. Bozulmuş gelişmenin sonucunda geç diastolde transmitral pasif boşalma gradiyenti azaltılır. Evre I diastolik disfonksiyonda rezervuar ve kanal fonksiyonları kontrol grubuna göre azalmış olarak bulundu ($p<0.001$). Evre I diastolik disfonksiyonda bozulmuş sol ventrikül gelişmesi erken diastolik fazları (rezervuar ve kanal fazları) daha fazla etkilemiştir. Kontrol grubu ile karşılaştırıldığında evre I diastolik disfonksiyonda güçlendirilmiş pompa fonksiyonlarını artmış olarak bulundu ($p<0.001$). Sol atrium pompa fonksiyonunu artırarak rezervuar ve kanal fonksiyonlardaki azalma telsiz etmektedir. Evre II diastolik disfonksiyonda kontrol grubu ile karşılaştırıldığında rezervuar ve kanal fonksiyonlarında azalma olmaktadır ($p=0.001$). Pompa fonksiyonu ise evre I'e oranla azalsa da kontrol grubuna göre artmıştır ($p<0.001$). Diastolik disfonksiyon ilerleyen evrelerinde artmış sol atrial miyokardiyumun gerilmesi sonucu kompanzasyon bir noktaya kadar sağlanabilmiştir. Kompanzatorya mekanizmaların yetersiz kalması ile diastolik disfonksiyonun son evresi başlar. Bu evrede kontrol grubu ile karşılaştırıldığında sol atriumun tüm fazik fonksiyonları azalmıştır (tüm değerler için $p<0.001$). Evre III'te azalan atrial pompa fonksiyonlarının nedeni restriktif sol ventrikül dolusuna bağlı artmış atrial önyük ve atrial miyopatidir.



Şekil 1. Apikal 4 oda görüntüsünden sol atrial hacim-zaman grafiğinin elde edilmesi



Tablo 1. Sol atrium fazik fonksiyonları analizinde kullanılan formüller

The role of computed tomography in the calculation of pulmonary artery systolic pressure in patients with pulmonary hypertension

Sabahattin Gündüz¹, Nesrin Gündüz², Ertuğrul Zencirci³

¹Department of Cardiology, S.B. Tuzla State Hospital, İstanbul

²Department of Radiology, İskenderun State Hospital, İskenderun

³Department of Cardiology, S.B. Ümraniye Training and Research Hospital, İstanbul

Background and Objective: Doppler echocardiography derived systolic pulmonary artery pressure (sPAP) is the most used screening tool in the assessment of pulmonary hypertension (PH). Because of suboptimal echocardiographic image quality in patients with chronic obstructive pulmonary disease, obesity, and thoracic deformities, or in the setting of trivial tricuspid regurgitation, sPAP may not be calculated accurately with echocardiography. Chest computed tomography (CT) is a valuable diagnostic tool in patients with PH. In this study we investigated the role of CT in the estimation of sPAP in comparison with echocardiography.

Materials-Methods: Those patients who had been hospitalized or under follow-up on an outpatient basis for different diagnoses with a sPAP > 35 mmHg as assessed with Doppler echocardiography, and who had been undergone contrast-enhanced chest 64-section CT within three days of echocardiographic examination were retrospectively analyzed. 57 patients (37 female, 20 male) with adequate CT scan quality were included in the study. After analyzes of CT scans of all patients, the diameters of main pulmonary artery (PA), right and left pulmonary arteries, right descending pulmonary artery (RDPA), left descending pulmonary artery, wall thicknesses and diameters of right and left ventricles, thoracic diameters (TD), and diameters of ascending aorta (AA) and descending aorta (DA) were obtained. Additionally, the ratios of PA/DA, PA/AA ve PA/TD were calculated. The CT parameters which were moderately or strongly related to echocardiographic sPAP were assessed with correlation analysis.

Results: Median echocardiographic sPAP was 45 mmHg (between 35-80). According to Dana Point classification, there were 3 (5.3%) pts with Group I PH, 17 (29.8%) pts with Group II PH, 28 (49.1%) pts with Group III PH, 8 (14%) pts with Group IV PH, and 1 (1.8%) pt with Group V PH. Correlation analyzes revealed that PA/DA ($R=0.57$, $p<0.001$) and RDPA ($R=0.33$, $p=0.015$) were moderately related to sPAP and none of the CT parameters had strong relationship with sPAP. The effect of the change in PA/DA and RDPA to the change in sPAP was assessed with multivariate regression analysis. The best fit equation for the estimation of sPAP was $sPAP = 13.66 + PA/DA \times 24.06 + SagDPA \times 3.82$ ($R=0.54$, $p<0.001$). Subgroup analysis of 40 (70.2%) patients with pre-capillary PH (Dana Point Group I, III, IV, V PH patients) revealed that PA/DA and RDPA were strongly related to sPAP. These parameters were not related to sPAP in patients with postcapillary PH (Dana Point Group II PH patients).

Conclusion: sPAP can be calculated with contrast enhanced thorax CT in a group of patients with heterogeneous PH etiologies. This calculation may especially be important for screening of PH in patients with limited echocardiographic image quality. These data should be supported by further studies including higher number of patients undergoing right heart catheterization including specific PH subgroups.

Assessment of left atrium mechanical functions of coronary artery disease patients with 2D speckle tracking echocardiography

Ügur Küçük¹, Atilla İlyisoy¹, Hilal Olgun Küçük², Şevket Balta¹, Sait Demirkol¹, Sinan İşcen¹

¹Department of Cardiology, GATA, Ankara

²Department of Cardiology, Gazi University Faculty of Medicine, Ankara

Ciddi karotid arter darlığı olan ve asemptomatik olan hastalarda optikli tomografi yöntemi ile plaqin karakterize edilmesi

Mehmet Cilingiroglu¹, Mark Wholey²

¹Mehmet Cilingiroglu, MD, FSCAI, FACC, FESC

²Mark Wholey, MD, FSCAI, FACC

Use of optical coherence tomography (OCT) for characterization of carotid plaque in patients with severe asymptomatic carotid stenosis

Mehmet Cilingiroglu¹, Mark Wholey²

¹Mehmet Cilingiroglu, MD, FSCAI, FACC, FESC

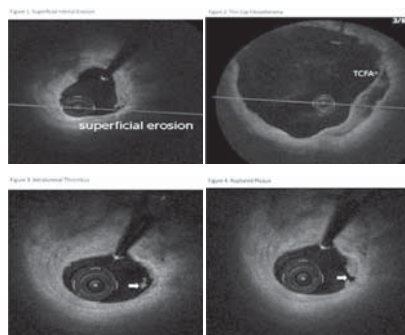
²Mark Wholey, MD, FSCAI, FACC

Purpose: Carotid artery related stroke is mainly an embolic disease that has been associated with inflammation, plaque rupture, and thrombus formation in “vulnerable” atherosclerotic plaque. Almost, two-thirds of these strokes affect patients who are previously asymptomatic. Estimation of the degree of stenosis in a carotid lesion based on angiography is a poor predictor of clinical outcome. We propose that stroke risk may be best predicted by plaque morphology in these asymptomatic lesions using OCT with its unique fine imaging resolution.

Methods: We have performed OCT imaging of carotid plaques in 22 consecutive asymptomatic patients with severe carotid artery stenosis. Detailed analysis showed various features of high-risk vulnerable plaque such as thin-cap fibroatheroma, plaque rupture, intraluminal thrombus, calcifications in some (n=13) while the remaining had none of these features (n=9). Periprocedural events rates were compared between two groups.

Results: Patients with high-risk vulnerable plaque features (Figure 1-4) had more periprocedural events, while the patients without these features had no events.

Conclusion: OCT can be used safely and effectively to identify high-risk vulnerable plaque features in asymptomatic patients with severe carotid artery stenosis for further risk stratification and optimal treatment strategy such as carotid artery stenting versus carotid endarterectomy.



Kardiyak görüntüleme

Kalp yetersizliğinin nadir görülen bir nedeni: Behçet hastalığına sekonder gelişmiş sağ ventrikül endomiyokardiyal fibrozisi

Ali Buturak¹, Özlem Saygılı², Özden Sila Ulus², Melike Kalfa³, Selçuk Görmez⁴, Hasan Karabulut⁵, Cem Alhan⁶, Sinan Dağdelen¹

¹Acıbadem Üniversitesi Tip Fakültesi, Kardiyoloji Anabilim Dalı, İstanbul

²Acıbadem Hastanesi, Radyoloji Bölümü, İstanbul

³Ege Üniversitesi Tip Fakültesi Dahiliye Anabilim Dalı, İzmir

⁴Acıbadem Hastanesi, Kardiyoloji Bölümü, İstanbul

⁵Acıbadem Üniversitesi Tip Fakültesi, Kalp ve Damar Cerrahisi Anabilim Dalı, İstanbul

Behçet Hastalığı kardiyovasküler sistemi de tutabilen multisistemik ve kronik inflamatuar bir hastalıktır. Behçet hastalığının kardiyak tutulumunun çok nadir görülen bir formu olan endomiyokardiyal fibrozis; endokard, miyokard ve kapak yapılarını tutarak kalp yetersizliğine yol açabilir. Behçet'e sekonder endomiyokardiyal fibrozis tanısının ilk kez otoskop ile doğrulandığı 1977 yıldan bu yana, toplam yarımca onbeş vaka bildirilmiştir. Sunacağımız olgu, literatürde bu tanyı alan onaltıncı olgudur. 26 yaşında, erkek ve dört yıldır Behçet tanısı ile takip edilen hasta son bir yıldır siddetli giderken artan nefes darlığı ve çabuk yorulma şikayetleri ile başvurdu. Özgeçmişinde dört yıl önce geçirilmiş transient iskemik atak ve dural sinus trombozu dışında özellik olmayan ve kolaison kullanın hastanın fizik muayenesinde boyun venöz dolgunluğu, asit ve hepatomegalı gibi sağ kalp yetersizliği bulguları mevcuttu. Yapılan transtorasik ekokardiografsinde; interventrüküler septum ile yapışık, hiperekojen ve fibröz bir kitlenin sağ ventrikül kavitesinioblitere ettiği, trikuspit kapak septal ve anterior yaprakçıkların Ebstein anomalisini andırır şekilde apikal bölge itilmiş olduğu ve sağ ventrikül sistolik ve diyalostik fonksiyonlarının belirgin azalmış olduğu izlendi (Şekil 1). Takiben yapılan transöfägeal ekokardiografide ve kardiyak kateterizasyonda; sağ ventrikül içi kitleye bağlı kavite obliterasyonu, sağ atriyum ve pulmoner arterlerde masif genişleşme saptandı (Şekil 2,3). Kitlenin ayrıca tanısı, kardiyak yapıtları ilişkisi ve sağ ventrikül fonksiyonlarının tayıni için hastaya kardiyak MR görüntüleme yapıldı. Aksiyal spin turbo, sine ve geç faz gadolinium MR görüntüleme sonucunda hastada endomiyokardiyal fibrozis saptandı. Kardiyak MR'da ayrıca sağ ventrikül masif kavite obliterasyonu ile birlikte sağ ventrikül sistolik fonksiyonlarında ileyeri azalma testi edildi (Şekil 4,5,6). Hastalığın nüks olasılığının yüksek olması, yüksek cerrahi mortalitesi ve literatürdeki bildirilmiş vakalar ile ilgili tedaviye ilişkin net bir önerinin olmaması nedeniyle hasta cerrahi konseyce değerlendirildi. Kalp yetersizliği semptomlarının varlığında uzun dönem sonuçlar tartışmalı olsa da akut mortalite riskinin artması ve cerrahi tedavinin faydalı olabileceğini bildiren veriler de dikkate alınarak hasta için cerrahi tedavi kararı alındı. Operasyon ile sağ ventriküldeki kitle çıkarılara kapak restore edildi. Biyopsi materyalinin patolojik incelemesi ile endomiyokardiyal fibrozis tanısı doğrulandı (Şekil 7). Hasta komplikasyonus olarak postoperatif yedinci gündünde taburcu edildi. Ameliyat sonrası romatoloji takibinde hastaya immun supresif ve sitostatik ilaç tedavisi başlandı. Altı kür kemoterapi alan hastada fonksiyonel kapasite belirgin arttı, kalp yetersizliği semptomları tamamen geçti, ekokardiyografik takiplerde sağ ventrikül fonksiyon hale geldi. Hasta altıncı ay kontrolunu problemsiz olarak tamamladı.

Cardiac imaging

An unusual cause of heart failure: right ventricular endomyocardial fibrosis secondary to Behcet's disease

Ali Buturak¹, Özlem Saygılı², Özden Sila Ulus², Melike Kalfa³, Selçuk Görmez⁴, Hasan Karabulut⁵, Cem Alhan⁶, Sinan Dağdelen¹

¹Department of Cardiology, Acıbadem University Faculty of Medicine, İstanbul

²Department of Radiology, Acıbadem University, İstanbul

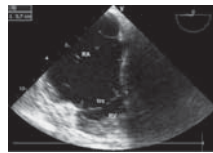
³Department of Internal Medicin, Ege University Faculty of Medicine, İzmir

⁴Department of Cardiology, Acıbadem University, İstanbul

⁵Department of Cardiovascular Surgery, Acıbadem University Faculty of Medicine, İstanbul



Sekil 1. Transtoraksik ekokardiografi: sağ ventrikül içi hiperdens kitle, trikuspit kapakta apikal itilme



Sekil 2. Transozefagyal ekokardiografi: masif sağ atriyum, sağ ventrikül kavite obliterasyonu, trikuspit kapak septal ve anterior leşelerde Ebstein anomalisini benzenen yer değiştirmeye, sağ ventrikül içi fibrotik yapıda kitle



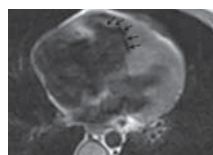
Sekil 3. Sağ ventrikulografi görüntüsünden sağ ventriküler obliterasyon, sağ atriyumda ve ana pulmoner arterde masif dilatasyon izlenmektedir.



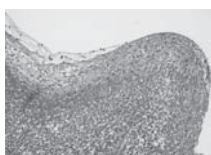
Sekil 4. FSE T1 weighted axial MR görüntü: sağ ventrikül endomyokardiumda, dökük sinyal yoğunluğu (oklar) endomyocardial fibrosis göstermektedir.



Sekil 5. Dört boşluk sim MR, trikuspit kapak apikal bölgeye doğru yer değiştirmeyi gösteren, bulgu Ebstein anomalisini takip etmektedir.



Sekil 6. Geç faz kısa aks MR görüntülemede: sağ ventriküler subendokardiyal hiperehancement (oklar). Bulgu fibrozisi işaret etmektedir.



Sekil 7. Kitlenin mikroskopik incelemesi: endomyokardiyal fibrozis

Lipit

S-170

Koroner arter hastlığında statin kullanımının sağ atriyal miyosit apoptozisi ve proliferasyonu üzerine etkileri

Fuat Büyükbayrak¹, Fatma Dağıstanlı², Eray Aksoy¹, Oğuz Konukoğlu¹, Sabit Sarıkaya¹, Melek ÖzTÜRK², Kaan Kıraklı¹, Hızır Mete Alp¹

¹Kartal Koşuyolu Yüksek İhtisas Eğitim ve Araştırma Hastanesi, İstanbul

²İstanbul Üniversitesi Cerrahpaşa Tip Fakültesi, Biyokimya Anabilim Dalı, İstanbul

Amaç: Statinlerin antiinflamatuar ve antioksidan etkilerinin apoptozis baskıluyıcı mekanizmalarla ilişkili olabileceğini deneyelikçe çalışmalar gösterilmiştir. Sağ atriyal miyosit apoptozisinin kacıci atriyal fibrilsasyona ilişkisi yakın zamanda gösterilmiştir. Bu çalışmanın amacı koroner arter bypass cerrahisi geçiren hastalarda statin kullanımının sağ atriyal miyosit apoptozis üzerine etkisini incelememesidir.

Gereçler ve Yöntem: Klinigimize koroner arter bypass cerrahisi geçiren ardışık 29 hasta çalışmaya dahil edildi. Hastalar statin almayan 17 hasta (14 erkek, 3 kadın, ortalama yaşı 58.94 ± 10.43 , dağılım 37 – 76 arası) ve statin alan 12 hasta (10 erkek, 2 kadın ortalama yaşı 60.41 ± 9.62 , dağılım 46 – 78) olacak şekilde iki gruba ayrıldı. Tüm hastalarda sağ atriyal doku örnekleri kardiyopulmoner bypass'a girilmeden önce alındı. Epikard, miyokard ve endokard dokusunda apoptotik hücre varlığı TUNEL metod ile, proliferasyon indeksi PCNA antikor kullanılarak immunhistokimyasal metot ile tespit edildi. Hastaların her birinden alınan üç farklı doku örneklerinde apoptotik indeks ortalamalarının karşılaştırılmasında Freideman testi ve post hoc analizde Wilcoxon testi kullanıldı. Gruplararası indeks değerlerinin ortalamalarının karşılaştırıldığında Mann Whitney U testi kullanıldı. Çalışma lokal etik komite tarafından onaylandı.

Bulgular: Sağ atriyuma ait üç ayrı dokudan elde edilen örneklerde apoptotik indeks ortalamalar arasında istatistiksel olarak anlamlı düzeyde fark olduğu bulundu. (endokard %6.4 ± 6.14, miyokard 2.4 ± 1.91, epikard 5.12 ± 3.6, p = 0.006). Yapılan post hoc analizde, farklılığın miyokardiyal dokudan alınan örneklerden kaynaklandığı görüldü. Sağ atriyal miyosit apoptozis indeks ortalaması, endokard ve epikarddan alınan örneklerde statin kullanmayan grupta anlamlı düzeyde yüksek bulunurken (endokardiyal dokuda %7.95'e karşın %4.23, p = 0.045 ve perikardiyal dokuda %6.4'e karşın %3.27, p = 0.01), miyokarddan alınan örneklerde gruplar arasında anlamlı fark görülmemi (%2.66'ya karşın %2.22, p = 0.35). PCNA ile değerlendirilen mitotik proliferasyon indeks ortalamaları arasında gruplar arasında fark görülmedi (endokardiyal dokuda %0.7'ye karşın %0.01, p = 0.13, miyokardiyal dokuda %15.6'ya karşın %12.1, p = 0.26, perikardiyal dokuda %2.3'e karşın %0.41, p = 0.16).

Sonuç: Çalışmamızın sonuçları koroner arter hastalarında apoptozun yoğun olarak endokardda ve epikardda gözlemini, miyokardın görece daha az etkilendiğini göstermektedir. Ayrıca bu çalışma koroner arter bypass cerrahisi öncesi statin kullanımının endokardiyal ve epikardiyal atriyal miyosit ölümünü engellediğini ve miyosit yaşamını koruduğunu göstermiştir.

Lipid

S-170

Effects of statine use in right atrial myocyte apoptosis and proliferation in patients with coronary artery disease

Fuat Büyükbayrak¹, Fatma Dağıstanlı², Eray Aksoy¹, Oğuz Konukoğlu¹, Sabit Sarıkaya¹, Melek ÖzTÜRK², Kaan Kıraklı¹, Hızır Mete Alp¹

¹Kartal Koşuyolu Yüksek İhtisas Training and Research Hospital, İstanbul

²Department of Biochemistry, İstanbul University Cerrahpaşa Faculty of Medicine, İstanbul

S-171

VVIR ve DDDR modunda sağ ventrikül apikal kahci pacemaker implant edilen hastaların işlem öncesi, 24.saat ve 2. ayda sol ventrikül ile sol atriyum fonksiyonlarının ekokardiyografik speckle tracking yöntemiyle analiz edilmesi

Bünyamin San, Birol Özkan, Gökhan Alıcı, Mustafa Bulut, Mehmet Vefik Yazıcıoğlu, Göksel Acar, Sinem Çakal, Atilla Koyuncu, Beytullah Çakal, Ali Metin Esen

Kartal Koşuyolu Yüksek İhtisas Eğitim ve Araştırma Hastanesi, Kardiyoloji Bölümü, İstanbul

Amaç: Güncel çalışmalar sağ ventriküler pace edilmesinin sol ventrikül sistolik fonksiyonunu bozduğu ve bazı hastalarda hastaneye yatış, kalp yetersizliği ve ölüm riskini artttırılmıştır. Bu bulgular sağ ventriküler pace edilmesinin kardiyak fonksiyonları üzerindeki etkilerini daha iyi anlamayı önemlerinin gerekliğini ortaya koymaktadır.

Metod: Çalışmada 42 hasta edildi. Hastaların %50'sinde DDD R, %50'sinde VV1 R pacemaker mevcut idi. Pacemaker takılma endikasyonları tam AV blok (%69), sinus nodu disfonksiyonu (%31) idi. Çalışmaya dahil olan tüm hastaların yapılan rutin ekokardiyografik incelemeleri sonucunda; korunmuş sol ventrikül ejeksiyon fraksiyonu'na (SV-EF>=50) sahip oldukları görüldü. Tüm hastalara iki boyutlu ve Doppler ekokardiyografi yapıldı. Tüm hastaların sol ventrikül ile atriyal longitudinal deformasyon parametreleri ölçüldü. Transtorasik ekokardiyografik görüntülemede apikal 4.-2.-3.-boşluk longitudinal peak sistolik strain aritmetik ortalama sol ventrikül global strain değeri olarak alındı.

Bulgular: DDD R grubundan sol ventrikül global strain ölçütleri arasındaki değişimler istatistiksel olarak anlamlı bulunmuştur($p<0,05$). İşlem öncesi göre 1. gün ölçütlerinde istatistiksel olarak anlamlı değişim gözlemlenmemekten ($p>0,05$), işlem öncesi göre 2. ay ölçütlerindeki ortalamalar $0,64\pm0,92$ birimlik düşüş istatistiksel olarak anlamlıdır ($p<0,05$). İşlem öncesi göre 2. ay ölçütlerin sol atriyum global strain ölçütlerinin ortalamaları arasındaki $2,17\pm2,13$ birimlik düşüş istatistiksel olarak anlamlı düzeye anlaşılmıştır ($p<0,01$). VV1 R grubundan işlem öncesi gör. 1. Gün sol ventrikül global strain ölçütlerinde istatistiksel olarak anlamlı değişim gözlemlenmemekten ($p>0,05$), işlem öncesi göre 2. ay ölçütlerindeki ortalamalar $0,84\pm0,76$ birimlik düşüş istatistiksel olarak anlamlıdır ($p<0,01$). Takiplere göre sol atriyum global strain ölçütleri arasındaki değişimler istatistiksel olarak anlamlı değişildi ($p>0,05$).

Sonuç: VV1 R grubundan belirgin olmaz üzere sol ventrikül ve DDD R grubunda sol ventrikül ile sol atriyum sistolik longitudinal mekaniklerinde erken dönemde bozulma olabileceğini düşinebilir. Speckle tracking yönteminin kulanımıyla sistolik ve diastolik parametrelerde bozulmanın kaydedilip, ejeksiyon fraksiyonuna bakarak konvansiyonel olarak sistolik fonksiyonları değerlendirgiimizde yeni yöntemlerin mekanik disfonksiyonların erken saptanmasına ve böylece tedavi sürecine erken başlamasına olanak sağlayabileceğini söyleyebiliriz. Aneak bu yöntemlerin pacemaker takılan hastaların klinik yönetiminde kullanılması için yeterince kantı yoktur.

Tablo 1. Pacemaker türnine göre LV global strain ölçütleri

LV GS	DDD R OrtaSD	VVI R OrtaSD	*p
Pre	-17,11±9,44	-16,14±2,18	0,652
1. Gün	-16,88±9,35	-16,08±2,18	0,706
2. Ay	-16,52±8,52	-15,30±2,02	0,530
+#	0,124	0,001**	
++Pre: 1. Gün	0,572	0,549	
++Pre: 2. Ay	0,341	0,001**	
++1. Gün: 2. Ay	0,453	0,001**	

*Student's T test = Reparameter Measures test (ekberi ölçütlerde varyans analizi) ++ = Adjusted Bonferroni test **p<0,05 ***p<0,01

Tablo 2. Pacemaker türnine göre sol atriyal global strain ölçütleri

LA GS	DDD R OrtaSD	VVI R OrtaSD	*p
Pre	38,77±5,07	35,63±3,41	0,025*
1. Gün	38,51±5,10	35,28±3,43	0,021*
2. Ay	36,58±5,56	34,59±4,04	0,174
+#	0,001**	0,10	
++Pre: 1. Gün	0,332	0,423	
++Pre: 2. Ay	0,001**	0,110	
++1. Gün: 2. Ay	0,001**	0,303	

*Student's T test = Reparameter Measures test (ekberi ölçütlerde varyans analizi) ++ = Adjusted Bonferroni test *p<0,05 **p<0,01

S-171

The assessment of left atrium and left ventricular functions using echocardiographic speckle training method preprocedurally, and, after the first day and the second month of the procedure in patients who underwent implantation of right ventricular sided permanent pacemaker with VVIR and DDDR mode

Bünyamin San, Birol Özkan, Gökhan Alıcı, Mustafa Bulut, Mehmet Vefik Yazıcıoğlu, Göksel Acar, Sinem Çakal, Atilla Koyuncu, Beytullah Çakal, Ali Metin Esen

Kartal Koşuyolu Yüksek İhtisas Training and Research Hospital, İstanbul



Figure. (A) Venography via right subclavian vein shows LPSVC and absence of right SVC and; (B,C) anteroposterior and lateral view of chest x-ray shows right atrial and right ventricular leads and epicardially implanted left ventricular lead.

LPSVC:left persistent superior vena cava; SVC:superior vena cava

İmplante edilebilir cihazı bulunan kalp yetmezliği hastalarında kalp hızı değişkenliği ve turbülansı

Ügur Arslan¹, Mustafa Mücahit Balci², İbrahim Kocaoglu²

¹Samsun Mehmet Aydin Eğitim ve Araştırma Hastanesi, Samsun

²Ankara Türkiye Yüksek İhtisas Hastanesi, Kardiyoloji Bölümü, Ankara

Amaç: Kardiyo resenkronizasyon tedavisi (CRT) kalp yetmezliği (KY) hastalarında kalp hızı değişkenliği (HRV) ve kalp hızı turbülansı (HRT) düzelttiği bilinmemektedir. Bu çalışmada amacımız CRT'ın fonksiyonel kapasitesini düzeltmekle olusturduğu HRT ve HRT düzelmisinin üzerine olası ek faydasını inclemektedir. Bu amaçla intrakardiyak cardioverte defibrillator (ICD) olan KY hastalarındaki HRV ve HRT parametrelerini CRT'lı hastalarla karşılaştırdık.

Yöntemler: Ejeksiyon fraksiyonu <935 olan sistolik kalp yetmezliği (NYHA sınıfı 2 ve 3) hastalar çalışmaya dahil edildi. Bu hastalarla ya ICD ya da CRT cihazı implante edilmişti. 24 saatlik Holter EKG kayıtları toplanan hastaların HRV ve HRT parametreleri karşılaştırıldı.

Bulgular: Çalışmaya alınan 105 hastanın 55'inde CRT, 50'sinde ICD cihazı mevcuttu. Hastaların bazal özellikleri benzerdi. SDNN, SDANN, SDNN indeks, ve LFnu her 2 grupta farklılık göstermedi. RMSSD, pNN50, HFnu, LF/HF oranı, turbülans eğimi ve her ne kadar anamlılığı ulaşmasa da turbülans başlangıcı CRT grubunda daha iyi idi (Tablo 1). Fonksiyonel kapasitelerine göre hastalar karşılaştırıldığında fonksiyonel kapasitesi sınıf 2 olan hastalarla daha iyi HRV ve HRT parametreleri vardı. Fonksiyonel kapasitenin HRV ve HRT parametrelerine etkisi azaltmak için yapılan kovarians analizi sonrası parasympatik aktivite ile daha ilişkili olan RMSSD, pNN50, HFnu, LF/HF ratio, turbülans başlangıcı ve turbülans eğimi CRT grubunda yine daha iyi bulundu (Tablo 2).

Sonuçlar: CRT'ın özellikle parasympatik sistem üzerinde olumsuz otomotik fonksiyonar üzerinde olumlu etkisi, CRT ile düzelen fonksiyonel kapasitenin HRV ve HRT parametreleri üzerinde etkili oldukları tespit edilmiştir. Bu sonuçlar CRT'lı hastaların CRT ile iyileşen prognoza katkıda bulunabilir.

Table 1. Heart rate variability and heart rate turbulence parameters in 2 groups			
Variable	Poor CRT patients (n=50)	CRT patients (n=55)	p value
Mean heart rate (bpm)	68.6±10.8	68.6±10.8	NS
SDNN (ms)	10.3±3.0	10.3±3.0	NS
SDANN (ms)	9.3±2.8	9.3±2.8	NS
SDNN index	0.9±0.1	0.9±0.1	NS
RMSSD (ms)	27.7±9.8	29.3±10.8	<0.001
pNN50 (%)	10.1±3.8	10.1±3.8	NS
HFnu (%)	12.0±3.7	12.0±3.7	NS
LF/HF ratio	0.45±0.15	0.45±0.15	NS
Turbulence slope (ms/m)	-0.01±0.01	-0.01±0.01	NS
Turbulence onset (ms)	26.5±1.8	26.5±1.8	NS
HFnu ratio	4.4±1.8	4.4±1.8	NS
Mean heart turbulence parameters	4.4±1.8	4.4±1.8	NS
Total	36.3±10.3	36.3±10.3	NS
SDNN	36.8±9.8	36.8±9.8	NS
LF/HF ratio	4.4±1.8	4.4±1.8	NS
Total heart turbulence parameters	4.4±1.8	4.4±1.8	NS
Turbulence onset (ms)	26.5±1.8	26.5±1.8	NS
Turbulence slope (ms/m)	-0.01±0.01	-0.01±0.01	NS
HFnu ratio	4.4±1.8	4.4±1.8	NS
Total heart turbulence parameters	4.4±1.8	4.4±1.8	NS

NS: Non significant.

Table 2. Heart rate variability and heart rate turbulence parameters in 2 groups after adjustment for functional status of the patients			
Variable	Poor CRT patients (n=50)	CRT patients (n=55)	p value
Mean heart rate (bpm)	68.6±10.8	68.6±10.8	NS
SDNN (ms)	10.3±3.0	10.3±3.0	NS
SDANN (ms)	9.3±2.8	9.3±2.8	NS
SDNN index	0.9±0.1	0.9±0.1	NS
RMSSD (ms)	27.7±9.8	29.3±10.8	<0.001
pNN50 (%)	10.1±3.8	10.1±3.8	NS
HFnu (%)	12.0±3.7	12.0±3.7	NS
LF/HF ratio	0.45±0.15	0.45±0.15	NS
Turbulence slope (ms/m)	-0.01±0.01	-0.01±0.01	NS
Turbulence onset (ms)	26.5±1.8	26.5±1.8	NS
HFnu ratio	4.4±1.8	4.4±1.8	NS
Mean heart turbulence parameters	4.4±1.8	4.4±1.8	NS
Total	36.3±10.3	36.3±10.3	NS
SDNN	36.8±9.8	36.8±9.8	NS
LF/HF ratio	4.4±1.8	4.4±1.8	NS
Total heart turbulence parameters	4.4±1.8	4.4±1.8	NS
Turbulence onset (ms)	26.5±1.8	26.5±1.8	NS
Turbulence slope (ms/m)	-0.01±0.01	-0.01±0.01	NS
HFnu ratio	4.4±1.8	4.4±1.8	NS
Total heart turbulence parameters	4.4±1.8	4.4±1.8	NS

NS: Non significant.

Non-invazif aritmî

Daha önce miyokard enfarktüsü geçirmemiş hastalarda koroner kollateral dolaşımının T dalga değişkenliği üzerine etkisi

Köksal Ceyhan, Turgay Burucu, Hasan Kadi, Ataç Çelik, Fatih Koç, Fatih Altunkaş

Gaziosmanpaşa Üniversitesi Tip Fakültesi, Kardiyoloji Anabilim Dalı, Tokat

Heart rate variability and heart rate turbulence in systolic heart failure patients with implantable devices

Ügur Arslan¹, Mustafa Mücahit Balci², İbrahim Kocaoglu²

¹Samsun Mehmet Aydin Training and Hospital, Samsun

²Department of Cardiology, Ankara Türkiye Yüksek İhtisas Hospital, Ankara

Background: Cardiac resynchronization therapy(CRT) improves heart rate variability(HRV) and heart rate turbulence (HRT) parameters. Herein, our aim was to compare these parameters with intracardiac cardioverter defibrillator(ICD) patients with similar functional status to detect a possible additional benefit of CRT on autonomic functions.

Methods: Patients who had systolic HF (NYHA class II and III) with an ejection fraction<35% were enrolled in the study. These patients were implanted either an ICD or a CRT device. A 24-hour Holter recording was obtained to assess HRV and HRT parameters in 2 groups.

Results: Of 105 patients included in the study; 55 had CRT and 50 had ICD device. The baseline characteristics of the patients were similar in both groups. SDNN, SDANN, SDNN index, and LFnu were similar in both groups; however RMSSD, pNN50, HFnu, LF/HF ratio, turbulence slope and albeit to a non-significant value turbulence onset were better in CRT group (Table 1). When the HRV and HRT parameters were compared according to functional status, patients in functional class II had significantly better HRV and HRT parameters when compared to the ones in class III. After the covariance analysis to eliminate the effects of functional status on HRV and HRT parameters; the parameters mostly related with the parasympathetic system activity, namely RMSSD, pNN50, HFnu, LF/HF ratio, turbulence onset and turbulence slope were still better in CRT group (Table 2).

Conclusions: The benefit of CRT on autonomic functions especially on the parasympathetic system in addition to the improvement of the HRV and HRT parameters in discordant with recovered functional capacity may contribute to the improved prognosis in HF patients.

Noninvasive arrhythmia

Impact of coronary collateral circulation on T-wave amplitude variability in patients without prior myocardial infarction

Köksal Ceyhan, Turgay Burucu, Hasan Kadi, Ataç Çelik, Fatih Koç, Fatih Altunkaş

Department of Cardiology, Gaziosmanpaşa University Faculty of Medicine, Tokat

Objective: The aim of this study was to assess a possible effect of coronary collateral circulation on T-wave amplitude variability in coronary artery disease.

Introduction: Coronary collateral circulation (CCC), an alternative way of supplying blood to the ischemic area distal to the occluded vessel. Several studies have demonstrated that the presence of collaterals in coronary artery disease (CAD) have a directly protective effect on the risk of future cardiovascular events. A recent study indicated that QT prolongation during myocardial ischaemia was reduced in the presence of a well-developed coronary collateral circulation. Microvolt T-wave amplitude variability (TWW) is a beat-to-beat variation in T-wave amplitude related to spatial and/or temporal variations of ventricular repolarization. Several studies have shown that the TWW is associated with increased vulnerability to ventricular arrhythmias and sudden cardiac death (SCD). Although numerous studies have assessed the influence of the ischaemic/non-ischaemic cardiac diseases on TWA, the effect of CCC on TWA have not been investigated so far.

Method: Study subjects consisted of 108 patients who had at least 1 completely occluded major artery with no history of previous MI. Collateral circulation was graded according to Rentrop's classification (10). Patients were classified as having poor CCC (Rentrop grades 0 to 1) or good CCC (Rentrop grades 2 to 3). Digital ECG recordings were sampled at 200 Hz with a resolution of 2.5 µV, using orthogonal X, Y, Z lead configuration for a period of 20 minutes. Variance of the T-wave amplitude (TAV in µV²) was assessed on the 60 consecutive sinus beats using the SyneTA 3.10b software (Ela Medical, Sorin group). Mean TAV and Max TAV were defined as the average TAV and maximum TAV from 50-ms T-wave segments 1 to 8 respectively. QTc interval (corrected by Bazett's formula) and the standard deviation of normal RR intervals (SDNN) was calculated in the same tracings.

Results: We prospectively studied 108 patients who had at least 1 totally occluded major coronary artery. 50 patients had poor CCC and 58 patients had good CCC. There were no significant difference in baseline characteristics between two groups. SDNN was similar in both groups. The poor CCC group had significantly higher QTc than the good CCC group ($p=0.02$). Mean TAV ($p=0.01$) and Max TAV ($p=0.01$) were higher in the poor CCC group compared with good CCC group. Mean TAV and QTc were significantly correlated with collateral score ($r=0.245$, $p=0.001$ and $r=0.286$, $p=0.004$ respectively).

Conclusion: In this study we found that poor coronary collateral development is associated with an increased T-wave amplitude variability and QT interval. This result may possibly be explained by myocardial ischaemia resulting from poor collaterals. T-wave amplitude variability and QT interval were correlated with Rentrop collateral score. Further studies are needed to examine the reproducibility of these results.

Table 1. Baseline demographic, clinic and laboratory characteristics in the poor and the good CCC group

Variable	Poor CCC n=50	Good CCC n=58	p
Total occluded LAD, n (%)	20 (40)	28 (48)	0.214
Total occluded RCA, n (%)	23 (46)	21 (36)	0.158
Total occluded CX, n (%)	12 (24)	8 (14)	0.062
Number of diseased vessels, mean(SD)	1.86 (0.67)	1.84 (0.74)	0.102
CCG: Coronary collateral circulation; SD: Standard deviation			

Table 2. Coronary angiographic findings in the poor and the good CCC group

Variable	Poor CCC n=50	Good CCC n=58	p
Age, year (mean±SD)	59.9±10.2	62.6±10.1	0.172
Male, n (%)	35 (70)	43 (74)	0.053
Hypertension, n (%)	23 (46)	21 (36)	0.124
Diabetes, n (%)	14 (28)	21 (36)	0.192
Obesity, n (%)	26 (52)	32 (55)	0.877
Smoking, n (%)	22 (44)	22 (38)	0.732
BMI, mean±SD	25.4±4.3	26.2±3.6	0.155
Family history, n (%)	18 (36)	15 (26)	0.222
Hyperlipidemia, n (%)	20 (40)	21 (36)	0.823
High blood pressure, n (%)	18 (36)	14 (24)	0.441
Tobacco, n (%)	18 (36)	14 (24)	0.441
High density lipoprotein, (mean±SD), mg/dL	121.2±34.4	123.6±35.3	0.742
Low density lipoprotein, (mean±SD), mg/dL	101.7±34.2	102.8±35.3	0.938
Mean of segmental repolarization times, n (%)	5 (10)	7 (12)	0.762
Mean of QTc, ms (mean±SD)	417.7±41.2	424.8±41.5	0.538
Mean of RR interval, ms (mean±SD)	321.1±40.7	319.8±39.7	0.636
Mean of QTc/RR, % (mean±SD)	32 (16)	30 (18)	0.644
Mean of QTc/QT, % (mean±SD)	35 (70)	42 (72)	0.644

CCC: Coronary collateral circulation; LAD: Left anterior descending artery; RCA: Right coronary artery; CX: Circumflex artery; SD: Standard deviation

Mean values ± Standard deviation

Variable	Poor CCC	Good CCC	p
Mean TAV (μ V ²)	26±4	18±6	0.01
Max TAV (μ V ²)	38±12	27±9	0.01
QTc (ms)	434±24	402±22	0.02
SDNN (ms)	129±15	136±18	NS

Arseniğe mesleki maruziyette EKG değişiklikleri

Ömer Çağlar Yılmaz¹, Engin Tutkun¹, Hınc Yılmaz¹, Vugar Aliyev², Sühendan Adıgüzel¹, Fatma Yılmaz⁴

¹Sağlık Bakanlığı Ankara Meslek Hastalıkları Hastanesi

²Ankara Üniversitesi, Adli Tıp Enstitüsü, Ankara

³Türkiye Halk Sağlığı Kurumu, Çalışan Sağlığı ve Güvenliği Daire Başkanlığı

⁴Yıldırım Beyazıt Üniversitesi Tıp Fakültesi Biyokimya Anabilim Dalı, Ankara

Giriş: Kardiyovasküler hastalıklara bağlı ölüm, dünyada en sık rastlanan ölüm nedenidir. Birçok çalışmada; QT dispersionının ventriküler arımı gibi kardiyovasküler hastalıklarla ilişkili olduğunu gösterilmiştir. Periferik vasküler hastalıklar, hipertansiyon, iskelemik kalp hastalıkları, cerebrovasküler hastalıklar, kardiak aritmiler arsenik maruziyetine ilişkilendirilmiştir ve geçmişte, endemik bölgelerde içme suyuyla arsenik maruziyetin yaygın olarak çalışılmıştır. Mekanizma tam olarak bilinmemekte birlikte, oksidatif stres ve kronik inflamasyonla karakterize olduğu için arsenik maruziyetinde oksidatif ve inflamatuar durum değişiklikleri, aterosklerozun onde gelen nedeni olarak vurgulanmaktadır. Bu çalışmada; mesleki olarak maruziyet yaşayan işçilerde arsenik ve QT dispersionu ilişkisini inceledik.

Materyal ve Metod: Ankara Meslek Hastalıkları Hastanesi'ne başvuran 207 metal madeni içtiği çalışma dahil edilmişdir. Kontrol grubu 207 sağlıklı bireyden oluşanmadır. EKG değişikliğine neden olabilecek kardiak patolojiyi da hastalığı ve hipertansiyonu olan ve ilaç alan bireyler çalışma dışa bırakılmışlardır. Her iki grupta demografik özellikler benzerdi.

Sonuçlar: Tablo 1'de; hastalar ve sağlıklı kontrol grubunda QTmax'daki pozitif korelasyon gösterilmektedir ($p=0.039$). Benzer şekilde, anamlı pozitif ilişki, QT dispersionu ile saç arsenik düzeyleri arasında da belirlenmiştir ($p=0.002$ ve $p=0.001$). Tablo 2'de, saç arsenik konsantrasyonları ile QTc-max ve QTdis parametreleri arasında, çok anamlı bir korelasyon saptanmıştır ($r=0.788$; $p<0.01$ ve $r=0.214$; $p<0.01$, sırasıyla). Benzer ilişki, QTc ve QTdisp parametreleri arasında da bulunmuştur ($r=0.211$; $p<0.01$).

Tartışma: Arsenik maruziyeti Tip 2 DM ve aterosklerozda etyolojik faktör olarak kabul edilmektedir. İçme suyuyla maruziyet iyi bilinen bir durum gibi birlikte, tozla mesleki maruziyet nadir saptanın bir durumdur. QT intervali, ventriküler depolarizasyon ve repolarizasyon temsil etmektedir ve bu nedenle ortalamalı ventriküler akson potansiyeli zamanının belirlenmesine yardımcı olmaktadır. Pratikte, düzeltilebilir QT (QTc), kalp hızından bağımsız olarak QT intervalının değerlendirilmesine olanak sağlar. QTc disp heterojenliğin göstergesidir ve ventriküler topikalama zamanda dengesizliğinin bulunduğu kardiak patolojelerde sık rastlanır. Çalışmamızda arsenik maruziyetinde QT dispersionu gibi EKG değişiklikleriley ilişkili görülmüştür. Bu, mesleki arsenik maruziyetinde, kardiak aritmiler ve ani kardiaik ölüm için olası bir neden olabilir. Hem çevreSEL hem de mesleki maruziyet yaygın toplumlarda artmış kardiaik riskin varlığını belirleyebilmek için daha ileri kardiyolojik çalışmalar gereksinim vardır.

Grup	Gr. max	Gr. disp	As (ug/g)
Hastalar (n=207)	0,820±0,524	0,514±0,313	1,21±0,23
Controll (n=207)	0,321	0	0,01
	Maximum	0,454	0,503
	Minimum	0,154	0,394
Patient (n=207)	0,387±0,326	0,524±0,341	1,10±0,23
	Maximum	0,527	0
	Minimum	0,148	29,711
Hastalar (n=207)	0,820±0,524	0,514±0,313	1,21±0,23
Total (n=414)	0,321	0	0,01
	Maximum	0,465	0,413
	Minimum	0,143	25,71
P	0,039*	0,002**	0,001**

Table 1
Correlation between QTc-max between patients and healthy group

Grup	QTc max	QTdisp	As (ug/g)
QTc max	1		
QTc min	0,788**		
QTdisp	0,214**	1	
As (ug/g)	0,062	0,062	1

Table 2
Relationship between hair arsenic concentrations and QTc-max and QTdisp

Brugada sendromu hastalarında sodyum kanal blokeri uygulaması öncesi ve sonrası ölçülen T dalga alternansının klinik önemi

Kıvanc Yalın, Erhan Teker, Ebru Golcuk, Mustafa Ozan Çakır, Ekrem Bilal Karaayvaz, Samim Emet, Ahmet Kaya Bilge, Kamil Adalet

İstanbul Üniversitesi İstanbul Tıp Fakültesi, Kardiyoloji Anabilim Dalı, İstanbul

Giriş: Brugada Sendromu (BS) yapısal olarak normal kalplerde ani ölüm riskinin arttığı genetik bir hastalıktır. T dalga alternansı (TWA) BS hastalarında özellikle sodyum kanal blokerine bağlı kalmalarından gösterilmiştir. Biz bu çalışmada BS hastalarında basal T dalga alternansı sıklığının, sodyum kanal blokeri olan propafenon infüzyonu sonrası gelişen mikrovolt T dalga alternansının sıklığının belirlenmesini; TWA oluşumunu ile hastaların klinik özelliklerini ve spontan VF gelişimi olasılıklarını karşılaştırılmıştır.

Hasta Özellikleri ve Metod: On üç BS hastası ve on bir sağlıklı erişkin çalışmaya katıldı. Hastaların 10 tanesi senkop, kalan 3 tanesi defibrilasyon gerektiren ani ölüm ile prezente olmuştu. Yedi hastada spontan tip 1 Brugada EKG paterni mevcuttu. Altı hasta defibropafenon ile tip 1 EKG oluştu. On iki hastada elektrofizyolojik tetkik uygulandı; bunların 6'sında ventriküler aritmii indüklendi. Sekiz hasta ICD implantasyonu uygulandı. Hastalarla sağlıkli kontrol grubuna 'time domain modified moving average' metodu ile T dalga alternansı çalışması yapıldı. Basal çalışma sonrasında 1mg/kg dozunda propafenon 5 dakika süreyle IV infüze edildi ve TWA çalışması tekrarlandı. Basal ve infüzyon sonrası her iki test için: (1) 12 leadin değerlendirildiği, (2) prekordiyal 6 leadin değerlendirildiği, (3)V1-3 leadlerinin değerlendirildiği TWA sonuçları alındı.

Bulgular: Basal TWA değerleri arasında BS grubu ile kontrol grubu arasında anamlı fark saptanmadı. Propafenon infüzyonu hem hasta grubunda hem de kontrol grubunda TWA sonucunu değiştirmemişti. Hasta ve kontrol grubunun tümü basal ve propafenon infüzyonu sonrası TWA açısından negatif idi. 22+-8 aylık takip süresince 3 hastada ICD şoku kura nedeni olan ventriküler aritmii izlendi. İki hastada uygunsuz şok (biri sinus taşikardisi, biri ise T dalgası oversensingi nedeniyle) görüldü. Kontrol grubunda aritmik olay izlenmedi.

Sonuç: Hem basal hem de sodyum kanal blokeri uygulaması sonrası ölçülen TWA BS hastalarında aritmik riski belirlemek için uygun bir test değildir.

Electrocardiographic changes in occupational exposure to arsenic

Ömer Çağlar Yılmaz¹, Engin Tutkun¹, Hınc Yılmaz¹, Vugar Aliyev², Sühendan Adıgüzel¹, Fatma Yılmaz⁴

¹Ankara Occupational Diseases Hospital, Ankara

²Ankara University, Forensic Institute, Ankara

³Public Health Agency of Turkey, Employee Health and Safety Department

⁴Department of Biochemistry, Yıldırım Beyazıt University Faculty of Medicine, Ankara

Introduction: Cardiovascular disease is the most frequent cause of death in the world. In many studies, it has been shown that QT dispersion is related to various cardiac diseases like ventricular arrhythmias. Peripheral vascular disease, hypertension, ischemic heart disease, cerebrovascular disease, cardiac arrhythmias have been correlated with arsenic exposure and in the past, ingestion of inorganic arsenic via drinking water in endemic areas has been widely studied. Although the mechanism is obscure, changes in oxidative and inflammatory state is predominantly emphasized to be the leading cause of atherosclerosis in arsenic exposure as it is characterized by oxidative stress and chronic inflammation. In this study, we investigated the relationship between arsenic and QT dispersion in occupationally exposed workers.

Materials-Methods: 207 metal mine workers who applied to Ankara Occupational Diseases Hospital were included in the study. Control group was composed of 207 healthy subjects. Subjects diagnosed having cardiac pathologies and disturbances, hypertension or taking any medications that could affect ECG findings were excluded from the study. Demographic properties were similar in both groups.

Results: Table 1 provides a positive correlation between QTc-max between patients and healthy group ($p=0.039$). A similar meaningful positive association between QTdisp and hair arsenic concentrations were detected ($p=0.002$ and $p=0.001$). In Table 2, relationship between hair arsenic concentrations and QTc-max and QTdisp were given. Among QTc-max and QTdisp parameters, a very meaningful positive correlation was found ($r=0.788$; $p<0.01$ and $r=0.214$; $p<0.01$, respectively). Similar associations were detected between QTc and QTdisp parameters ($r=0.211$; $p<0.01$).

Discussion: Arsenic exposure is accepted as an etiological factor in Type 2 diabetes mellitus, atherosclerosis etc. Exposure via drinking water is a known entity but occupational exposure with dust is rare. The QT interval represents the duration of both ventricular depolarization and repolarization and therefore it helps to estimate the average ventricular action potential period. In practice, corrected QT (QTc) provides an assessment of QT interval that is independent of heart rate. QTc disp is an index of inhomogeneity and frequently seen in cardiac pathologies in which disparity of ventricular recovery times is present. In our study, arsenic exposure seems to be associated with ECG changes, such as QT dispersion. This can be a probable causal factor for cardiac arrhythmias and sudden cardiac death in occupational exposure to arsenic. Advanced cardiac investigation is mandatory to reveal the presence of increased cardiac risk in both occupationally and environmentally-exposed populations.

Grup	Gr. max	Gr. disp	As (ug/g)
Control (n=207)	0,820±0,524	0,514±0,313	1,21±0,23
As (ug/g)	0,062	0,062	1
Hastalar (n=207)	0,321	0	0,01
Maximum	0,454	0,053	0,34
Minimum	0,154	0,394	
Patient (n=207)	0,387±0,326	0,524±0,341	1,10±0,23
As (ug/g)	0,062	0,062	1
Hastalar (n=207)	0,820±0,524	0,514±0,313	1,21±0,23
Total (n=414)	0,321	0	0,01
Maximum	0,465	0,413	29,711
Minimum	0,143	0	0,00
P	0,039*	0,002**	0,001**

Grup	QTc max	QTdisp	As (ug/g)
QTc max	1		
QTc min	0,788**		
QTdisp	0,214**	1	
As (ug/g)	0,062	0,062	1

Table 2
Relationship between hair arsenic concentrations and QTc-max and QTdisp

Table 1
Correlation between QTc-max between patients and healthy group

Clinical significance of microvolt T-Wave Alternans before and after sodium channel blocker administration in patients with Brugada syndrome

Kıvanc Yalın, Erhan Teker, Ebru Golcuk, Mustafa Ozan Çakır, Ekrem Bilal Karaayvaz, Samim Emet, Ahmet Kaya Bilge, Kamil Adalet

Department of Cardiology, İstanbul University İstanbul Faculty of Medicine, İstanbul

Introduction: Brugada Syndrome (BS) is a genetic disease that has an increased risk of sudden cardiac death with a structurally normal heart. T wave alternans (TWA) has been shown in patients with BS particularly following exposure to sodium channel blockers. We investigated the prevalence of microvolt TWA after the administration of propafenone and the association between the occurrence of TWA and clinical characteristics in patients with BS, focusing on the association between spontaneous VF occurrence and TWA after propafenone administration.

Methods: Thirteen BS patients and eleven healthy subjects were enrolled. Patients presented with either syncope ($n=10$) or aborted sudden cardiac death requiring defibrillation ($n=3$). There were spontaneous type I Brugada ECG in seven patients. Type I ECG was unmasked by propafenone in six patients. Twelve of patients underwent an electrophysiologic study; 6 of them ventricular arrhythmias have been induced. An ICD was implanted to eight patients. TWA was assessed with the time-domain modified moving average method. After baseline TWA study, we administered propafenone intravenously at a dose of 1 mg/kg over a 5-minute period in all of the subjects and the TWA study was repeated. Three values were considered for each test; basal and post propafenone: (1) derived from the analysis of all 12 leads, (2) derived from the analysis of the 6 precordial leads only, (3) derived from the analysis of the V1-3 leads only. These three values were reobtained after propafenone infusion.

Results: There was no significant difference between controls and patients for all measurements. Propafenone did not differ TWA in patients and controls. Both patients and controls were not positive for TWA neither at basal state nor after propafenone infusion. During follow up of median of 22+-8 months, three of ICD patients had ventricular arrhythmia requiring ICD discharge, two of patients had inappropriate shocks (one was due to sinus tachycardia, one was due to T wave oversensing). In these patients both basal and postinfusion TWA tests were negative. In the control group there were no arrhythmic events.

Conclusions: Both basal and post Na channel blocker infusion TWA is not an appropriate test to detect arrhythmic risk in patients with BS.

Koroner arter hastalığı bulunmayan tip 2 diyabet hastalarında fragmente QRS sıklığı artmıştır

Köksal Ceyhan, Turgay Burucu, Hasan Kadi, Ahmet Öztürk, Fatih Koç, Fatih Altunkaş, Ataç Çelik

Gaziosmanpaşa Üniversitesi Tip Fakültesi, Kardiyoloji Anabilim Dalı, Tokat

Frequency of fragmented QRS is increased in type 2 diabetic patients without coronary artery disease

Köksal Ceyhan, Turgay Burucu, Hasan Kadi, Ahmet Öztürk, Fatih Koç, Fatih Altunkaş, Ataç Çelik

Department of Cardiology, Faculty of Medicine, Gaziosmanpaşa University, Tokat

Objective: The aim of our study was to investigate of frequency of fQRS on ECGs in normotensive diabetic patients without coronary artery disease.

Introduction: Diabetes mellitus (DM) causes diffuse microscopic fibrosis in the myocardium on histological examination. DM is also known to be associated with LV dysfunction even after hypertension and coronary artery disease (CAD). Thus, this situation is defined as diabetic cardiomyopathy. Regional myocardial fibrosis is associated with alteration in QRS morphology, leading to terminal conduction delay on ECG. In this way, myocardial fibrosis and scarring causes the fragmentation of QRS complexes (fQRS) on 12-lead ECGs. We hypothesized that the frequency of fQRS could be more common in diabetic patients than in control subjects.

Method: 62 diabetic patients and 44 control subjects were prospectively recruited into the present study. All diabetic patients and control subjects had normal arterial blood pressure ($<130/85$ mm Hg or less). CAD was excluded by normal results on coronary angiography in all participants. Standard echocardiographic assessment included myocardial tissue velocities (average of basal lateral and septal peak systolic (Sm) and peak early diastolic (Em) velocity) was performed after coronary angiography. The fQRS was defined as the presence of an additional R wave or notching of R or S wave or the presence of fragmentation in two contiguous ECG leads corresponding to a major coronary artery territory. Patients with CAD (coronary angiographic stenosis diameter $>40\%$), hypertension, valvular or congenital heart disease, previous surgical or percutaneous revascularization, pathological Q-wave or history of MI, typical bundle branch block (BBB) and incomplete right BBB were excluded from study.

Results: A total of 62 diabetic patients were compared with 44 age and gender-matched control subjects for fQRS. Sixteen patients (25.8%) in the DM group had fQRS, while three patients in the control group (6.8%) had fQRS ($p = 0.001$). The duration of diabetes was significantly longer in the fQRS (+) group ($p=0.005$). Multivariate logistic regression analysis revealed that duration of DM was associated with the presence of fQRS ($B = 1.8$, odds ratio = 2.7 , $p = 0.01$, 95% confidence interval = $1.9-8.6$). Mean Sm and Em were significantly lower in DM group compared with control subjects. ($p=0.02$ and $p=0.01$ respectively). Em, an index of diastolic myocardial function, but not Sm was significantly lower in e fQRS (+)diabetics compared with fQRS (-) diabetics ($p=0.04$).

Conclusion: In this study we found that fQRS ECG was more common in patients with DM than in age- and gender-matched control subjects. Moreover, the duration of DM was significantly longer in the fQRS (+) group. fQRS (+) diabetic patients had also lower diastolic tissue velocities. We believe that the fragmented QRS in diabetic patients may be related with interstitial myocardial fibrosis which is closely related to the duration of disease.

Table 3. Characteristics of diabetic patients in the fQRS (+) and fQRS (-) groups

Variable	Control (n=44)	DM (n=62)	OR (95% CI)	p
LAD (mm)	39 ± 5	36 ± 5	NS	
LVEDV(milliliter/m²)	62 ± 8	91 ± 8	NS	
LVESVI(milliliter/m²)	22 ± 4	24 ± 6	NS	
EF (Simpson) (%)	62 ± 5	54 ± 6	NS	
Fractionsal shortening (%)	38 ± 8	38 ± 6	NS	
LVED (gr/m²)	108 ± 12	102 ± 20	NS	
E (m/s)	75 ± 12	78 ± 10	NS	
A (m/s)	1.2 ± 0.2	1.1 ± 0.2	NS	
BT (ms)	190 ± 22	212 ± 26	NS	
MeanEm (cm/s)	6.5 ± 1.2	5.9 ± 1.2	0.02	
MeanSm (cm/s)	7.9 ± 1.0	6.8 ± 1.6	0.01	
fQRS (+), %	6.7	25.8		0.001

LAD=Left atrial diameter (mm); LVEDV=Left ventricular end-diastolic volume index; LVESVI=Left ventricular end-systolic volume index; EF=ejection fraction; LVEDV=Left ventricular mass index; E=mitral early peak velocity; A=mitral late peak velocity; E-E'=mitral early peak to late peak diastolic transmural flow velocity; DT=Deceleration time; MeanSm= mean basal peak systolic velocity; MeanEm= mean basal peak early diastolic velocity.

Table 1. Clinical characteristics in each group

Variable	Control (n=44)	DM (n=62)	p
Age (yr)	52 ± 10	59 ± 11	NS
Male, %	68	65	NS
Body mass index (kg/m²)	27.2 ± 4.3	27.4 ± 3.7	NS
Hypertension (mmHg)	122 ± 9	72 ± 8	NS
Smoking (mmHg)	122 ± 8	126 ± 10	NS
Diabetes (mmHg)	72 ± 8	73 ± 7	NS
Duration of diabetes (years)	7 ± 12	-	
Family history glucose (mg/dl)	88 ± 8	102 ± 10	0.001
HbA1c, %	-	7.7 ± 1.4	
Cholesterol (mg/dl)	190 ± 42	186 ± 40	NS
LDL-cholesterol (mg/dl)	112 ± 28	117 ± 26	NS
HDL-cholesterol (mg/dl)	54 ± 14	54 ± 13	NS
Triglycerides (mg/dl)	168 ± 54	185 ± 60	NS
fQRS (+), %	6.7	25.8	0.001

Table 2. Standard echocardiographic characteristics and Myocardial tissue velocities in each group

Variable	Control (n=44)	DM (n=62)	p
LAD (mm)	39 ± 5	36 ± 5	NS
LVEDV(milliliter/m²)	62 ± 8	91 ± 8	NS
LVESVI(milliliter/m²)	22 ± 4	24 ± 6	NS
EF (Simpson) (%)	62 ± 5	54 ± 6	NS
Fractionsal shortening (%)	38 ± 8	38 ± 6	NS
LVED (gr/m²)	108 ± 12	102 ± 20	NS
E (m/s)	75 ± 12	78 ± 10	NS
A (m/s)	1.2 ± 0.2	1.1 ± 0.2	NS
BT (ms)	190 ± 22	212 ± 26	NS
MeanEm (cm/s)	6.5 ± 1.2	5.9 ± 1.2	0.02
MeanSm (cm/s)	7.9 ± 1.0	6.8 ± 1.6	0.01
fQRS (+), %	6.7	25.8	0.001

Hastanede yatan medikal hastalara yönelik VTE profilaksi uygulamalarının "Standart medikal hastalar VTE risk risk araştırma modeli - MERAM" aracılığı ile değerlendirilmesi: MERAM çalışması - kardiyoloji sonuçları

Zeki Öngen¹, Gül Öngen², Muzaffer Demir³, Nil Molinas⁴, Birsen İnce⁵

¹Istanbul Üniversitesi Cerrahpaşa Tip Fakültesi, Kardiyoloji Anabilim Dalı, İstanbul

²Istanbul Üniversitesi Cerrahpaşa Tip Fakültesi, Göğüs Hastalıkları Anabilim Dalı, İstanbul

³Trakya Üniversitesi Tip Fakültesi, Hematoloji Anabilim, Edirne

⁴Istanbul Üniversitesi Cerrahpaşa Tip Fakültesi, Onkoloji Anabilim, İstanbul

⁵Istanbul Üniversitesi Cerrahpaşa Tip Fakültesi, Nöroloji Anabilim Dalı, İstanbul

Giriş: Uygun tromboprofilaksi ile önlenemediği takdirde, akut bir hastalık sonucu hastaneye yatırılan medikal hastaların venöz tromboemboli (VTE) için yüksek risk altında oldukları kabul edilir. Burada, hastanede yatan medikal hastalara yönelik VTE profilaksi uygulamalarının belirlenmesi ve hekimin eğitimini VTE profilaksi farkındalığını artırma konusundaki etkinliğinin "Standart Medikal Hastalar VTE Risk Risk Araştırma Modeli - MERAM" aracılığı ile değerlendirildiği MERAM çalışmasının Kardiyoloji kolundan elde edilen sonuçları sunulur.

Yöntem: Bu ulusal çok-merkezli girişimsel olmayan kayıt çalışmasına dahil olan toplam 607 yatan hastanın, kardiyoloji kliniklerinde yataklar takibi yapılan hastalar, iki ardışık kesitsel vizitte değerlendirildi. Bu kliniklerde görev yapan hekimler iki viziti arasında VTE profilaksi uygulamalarının belirlenmesi ve değerlendirme araçları konulu eğitim aldılar. Hekimlerden ayrıca klinik uygulamalarında halihazırda gerçekleştirilen VTE risk değerlendirme yöntemi ve MERAM dahil olmak üzere herhangi bir risk araştırma modelinin kullanımına sundular.

Sonuçlar: Çalışmaya katılan Kardiyoloji kliniklerinde, birinci ve ikinci vizitte sırasıyla 53 (ortalaması(SS) yaşı: 65.8(15.2) yaıl, %54.7'si erkek) ve 59 (ort(S) yaşı: 67.6(13.6) yaıl, %50.8'i erkek) patient hasta değerlendirildi. Strasifla birinci ve ikinci viziti için, ort(S) sistolik kan basıncı (KB) 111.8(15.8) ve 120.0(20.7) mmHg'dan ve diastolik KB 70.0(10.9) ve 69.5(12.4) mmHg'dan olarak bulundu. Düşük molekül ağırlıklı heparin (DMAH; %71.4 ve %76.3) ve asetil salisilik asit (ASA; %60.4 ve %71.2) en sık uygulanan profilaksi ajanları idi. Kardiyoloji-disi kliniklerde DMAH kullanımını birinci ve ikinci vizitte %32.1 ve 42.7% idi. VTE profilaksi alan hasta oranı birinci vizitte %94.3 ve ikinci vizitte %94.9 olarak belirlendi. Risk değerlendirme, profilaksi alan bu hastaların ilk vizitte %69.8'inde yapılmamışken, ikinci vizitte hastaların sadece %13.6'da risk değerlendirme yapılmadığı tespit edildi ($p<0.01$). Kronik kalp yetmezliği (%79.2 ve %79.7) ve uzamış immobility(%69.8 ve %64.4) her iki vizitte de en sık rastlanan risk faktörleri idi. VTE profilaksi uygulayan hekim oranı ise ilk vizitte %80.0 iken ikinci vizitte %98.1'e yükseldi ($p=0.047$). Kardiyoloji disindaki kliniklerde ise bu oranlar sırasıyla %67.5 ve %96.8 idi ($p<0.01$). Profilaksi uyguladığı belirlenen bu hekimler risk değerlendirme yöntemleri kullanıldığında sorgulandırdı, ilk vizitte hiçbirinin MERAM formu kullanmadığı, ikinci vizitte MERAM formu kullanım oranın %36.0 olduğu saptandı ($p<0.01$).

Tartışma: Bulgularımız Kardiyoloji alanında hekimlerin tromboprofilaksi konusunda diğer dahili branşların toplamında daha bilinçli oldukları; ek olarak risk değerlendirme yöntemlerini de içeren eğitimini, farklılığı iyileştirdiğini; risk araştırma modelini esas alan uygun VTE profilaksi uygulamasına geçişlerinde etkin rolü olduğunu ortaya koymaktadır.

Evaluation of the practice pattern of medical patients' VTE prophylaxis with a standard risk assessment model (RAM) form: MERAM study- cardiology results

Zeki Öngen¹, Gül Öngen², Muzaffer Demir³, Nil Molinas⁴, Birsen İnce⁵

¹Department of Cardiology, Istanbul University Cerrahpaşa Faculty of Medicine, İstanbul

²Department of Chest Diseases, Istanbul University Cerrahpaşa Faculty of Medicine, İstanbul

³Department of Hematology, Trakya University Faculty of Medicine, Edirne

⁴Department of Hematology, Istanbul University Cerrahpaşa Faculty of Medicine, İstanbul

⁵Department of Neurology, Istanbul University Cerrahpaşa Faculty of Medicine, İstanbul

Objective: Hospitalized acutely-ill-medical patients are at high risk for venous thromboembolism (VTE) unless prevented via appropriate thromboprophylaxis. Herein, we present results related to Cardiology arm of MERAM study which was conducted to determine VTE prophylaxis practices in hospitalized patients in medical wards in Turkey and to evaluate the impact of physicians' training via a modified "Standard Medical Patients' VTE Risk Assessment Model -MERAM".

Methods: A total of 607 hospitalized patients included in this national multi-center non-interventional observational registry were evaluated in terms of demographics, VTE risk and VTE preventive measures at two consecutive cross-sectional study visits. Physicians who were trained between two visits were asked to complete a questionnaire for a correct verification on the current method of VTE risk assessment at the selected clinical setting and use of any risk assessment models including MERAM.

Results: A total of 53 (mean(S) age: 65.8(15.2) years, 54.7% were males) and 59 (mean(SD) age: 67.6(13.6) years, 50.8% were males) patients hospitalized in the cardiology wards included in the study were evaluated at the first and second visits, respectively. Mean(SD) systolic blood pressure (BP) was 111.8(15.8) and 120.0(20.7) mmHg while diastolic BP was 70.0(10.9) and 69.5(12.4) mmHg at the first and second visits, respectively. Low molecular weight heparin (LMWH; 71.4 and 76.3%) and acetylsalicylic acid (ASA; 60.4 and 71.2%) were determined to be the most frequently administered prophylactic agents. LMWH administration was identified in 32.1 and 42.7% of patients hospitalized in non-cardiology clinics at the first and second visits, respectively. VTE prophylaxis was determined to be received by 94.3 and 94.9% of patients, at the first and second visits, respectively. The absence of risk evaluation was decreased from 69.8% at the first visit to 13.6% at the second visit ($p<0.01$). The most common risk factors were chronic heart failure (79.2 and 79.7%) and prolonged immobilization (69.8 and 64.4%) at both visits. The percent of physicians using VTE prophylaxis was 80.0% at the first visit while increased to 98.1% at the second visit ($p=0.047$). In in-patient clinics other than cardiology, VTE prophylaxis rate was 67.5% and 96.8% at the first and second visit, respectively ($p<0.01$). Evaluation of risk assessment methods used by physicians administering VTE prophylaxis revealed that MERAM form was used by none of the physicians at the first visit, while the use of the form increased to 36.0% at the second visit ($p<0.01$).

Conclusion: Our findings indicate that cardiology physicians are more conscious about thromboprophylaxis compared to cumulative value of other internal medicine specialties, while the training including risk assessment methods improves physicians' awareness and contributes significantly to transition to the risk assessment based VTE prophylaxis in the clinical practice.

S-179

Sıkı kalp hızı kontrolü valvüler kökenli olmayan kalıcı atriyal fibrilasyon hastalarında trombosit aktivitesini azaltır

Doğan Erdoğan¹, Bayram Ali Uysal¹, Fatih Aksoy¹, Selçuk Kaya², Atilla İçli¹, Betül Mermi Ceyhan², Mehmet Özaydin¹

¹Süleyman Demirel Üniversitesi Tıp Fakültesi, Kardiyoloji Anabilim Dalı, Isparta

²Süleyman Demirel Üniversitesi Tıp Fakültesi, Klinik Mikrobiyoloji Anabilim Dalı, Isparta

S-179

Strict heart rate control decreases platelet activity in patients with non-valvular permanent atrial fibrillation

Doğan Erdoğan¹, Bayram Ali Uysal¹, Fatih Aksoy¹, Selçuk Kaya², Atilla İçli¹, Betül Mermi Ceyhan², Mehmet Özaydin¹

¹Department of Cardiology, Suleyman Demirel University Faculty of Medicine, Isparta

²Department of Clinical Microbiology, Suleyman Demirel University Faculty of Medicine, Isparta

Background: The underlying mechanisms of increased risk of thrombo-embolism in atrial fibrillation (AF) are not completely understood; however, substantial evidence supports that AF is associated with a prothrombotic state. Accordingly, we hypothesized that strict rate control could attenuate platelet activity and thrombotic state in patients with non-valvular AF.

Methods: The 75 patients with non-valvular AF were divided into two groups based on heart rate: (1) normal ventricular rate (34 patients, 18 female); (2) high ventricular rate of these 30 patients (16 female) were successfully followed. Thirty-three sex and age matched subjects in sinus rhythm were included as control group. Markers of platelet function were measured at baseline evaluation and repeated 1-month after adequate rate control in AF patients with high ventricular rate.

Results: Serum fibrinogen level significantly higher in AF patients with high ventricular rate than that in controls. Mean platelet volume, soluble CD40L and β -Thromboglobulin were significantly higher in AF patients with high ventricular rate than those were in both AF patients with normal ventricular rate and controls. Soluble CD40L and β -Thromboglobulin were significantly higher in AF patients with normal ventricular rate than those were in controls. In AF patients with high ventricular rate, 1-month after adequate rate control serum fibrinogen, soluble CD40L and β -Thromboglobulin levels significantly decreased (from 2.26 ± 1.02 , 85.01 ± 37.05 , 3.10 ± 0.90 to 1.55 ± 1.08 , 66.34 ± 33.72 , 2.71 ± 0.53 ; $p < 0.001$, $p = 0.002$, $p = 0.03$, respectively) (Table).

Conclusions: AF patients with high ventricular rate had increased platelet activity and thrombotic state. Furthermore, strict rate control significantly decreased thrombotic state and platelet activity in those patients.

Tablo

	Group I: Normal ventricular rate (n=34)	Group II: High ventricular rate (n=30)	Group III: Control (n=33)	Comparison with Group III	P _I	P _{II}
Age (years)	57.2 ± 10.5	57.4 ± 10.5	57.1 ± 10.5	57.1 ± 10.5	0.88	0.88
Male gender	18 (53%)	18 (60%)	18 (55%)	18 (55%)	0.32	0.36
Mean heart rate (bpm)	60.0 ± 10.8	88.0 ± 10.8	60.0 ± 10.8	60.0 ± 10.8	0.00	0.00
Mean fibrinogen (mg/dL)	2.26 ± 1.02	85.01 ± 37.05	2.26 ± 1.02	2.26 ± 1.02	0.00	0.00
Mean platelet volume (fL)	7.0 ± 0.1	7.0 ± 0.1	7.0 ± 0.1	7.0 ± 0.1	0.88	0.88
Mean soluble CD40L (ng/mL)	3.10 ± 0.90	66.34 ± 33.72	3.10 ± 0.90	3.10 ± 0.90	0.00	0.00
Mean β -Thromboglobulin (ng/mL)	2.71 ± 0.53	2.71 ± 0.53	2.71 ± 0.53	2.71 ± 0.53	0.88	0.88
Mean platelet count (10 ⁹ /L)	261.0 ± 10.0	261.0 ± 10.0	261.0 ± 10.0	261.0 ± 10.0	0.88	0.88
Mean MPV (fL)	7.0 ± 0.1	7.0 ± 0.1	7.0 ± 0.1	7.0 ± 0.1	0.88	0.88
Mean sCD40L (ng/mL)	3.10 ± 0.90	66.34 ± 33.72	3.10 ± 0.90	3.10 ± 0.90	0.00	0.00
Mean β -TGB (ng/mL)	2.71 ± 0.53	2.71 ± 0.53	2.71 ± 0.53	2.71 ± 0.53	0.88	0.88
Mean platelet count (10 ⁹ /L)	261.0 ± 10.0	261.0 ± 10.0	261.0 ± 10.0	261.0 ± 10.0	0.88	0.88

Indices of thrombogenesis, platelet count, and indexes of platelet activation in patients with AF and control subjects in sinus rhythm. P_I: vs. Group II; P_{II}: vs. Group III baseline; *: P<0.05 vs. Group II; **: P<0.01 vs. Group II; †: P<0.05 vs. Group III; ‡: P<0.001 vs. Group III.

Non-invazif aritmİ

S-180

Üçüncü basamak bir hastanenin kardiyoloji polikliniğine başvuran non-valvüler atrial fibrilasyon hastalarında warfarin kullanımının prediktörleri: Gözlemləşir bir çalışma

Faruk Ertas, Hasan Kaya, Zuhal Arıtürk Atılgan, Mehmet Ali Erbey, Mesut Aydin, Mehmet Ata Akıl, Mustafa Oylumlu, Mehmet Siddik Ülgen

Dicle Üniversitesi Tip Fakültesi, Kardiyoloji Anabilim Dalı, Diyarbakır

Amaç: Non-valvüler atrial fibrilasyon (AF) hastalarında warfarin kullanımının prediktörlerini araştırmaktır. Bu çalışmada Türk populasyonunda yapılmış olan çalışmada değil.

Yöntem-Gereç: Eylül 2008-Ekim 2009 tarihlerini arasında polikliniğimize AF tanısı ile başvuran hastalar çalışmaya alındı. Hastalar AHA/ACC/ESC kılavuzunun non-valvüler AF hastalarında inme riskini belirlemek için önerdiği CHADS2 skorlamasına göre sınıflandırıldı. Warfarin kullanımını etkileyen olası değişkenler olarak yaşı, cinsiyet, gelir düzeyi, sağlık güvenliği, yaşım şekli, yaşadığı yer, AF sınıflaması, hipertansiyon, diabetes mellitus, koroner arter hastalığı, tiroksiz, kalp yetersizliği, sol ventrikül işlev bozukluğu, inme risk sınıflaması, inme veya sistemik emboli (SE) öyküsü alındı.

Bulgular: Çalışmaya alınan 570 hastadan 144'ü sağlıklı bilgi alınmama veya çalışmaya katılmayı reddetme nedeniyle, 101 hasta ise valvuler AF nedeniyle çalışma dışı bırakıldı. Değerlendirme 325 hasta (192 kadın, ortalama yaşı: 65±10) üzerinden yapıldı. CHADS2 skorlamasına göre hastaların %62,2'si yüksek riskli, %26,8'i orta riskli ve %11,1'i düşük riskliydi. Hastaların sadece %19,7'si warfarin kullanmaktadır. Lojistik regresyon analizinde, inme veya SE öyküsü, yüksek gelir düzeyi ve persistent-permanent AF varlığı warfarin kullanımını ile ilişkili pozitif prediktör iken ileri yaşı warfarin kullanımının negatif prediktördü.

Sonuç: Bu çalışmada inme veya SE öyküsü, yüksek gelir düzeyi, persistent-permanent AF varlığı ve ileri yaşın non-valvüler AF hastalarında warfarin kullanımının bağımsız prediktörleri olduktan过后

Noninvasive arrhythmia

S-180

Predictors of warfarin use in patients with non-valvular atrial fibrillation who presented to the cardiology outpatient clinic of tertiary hospital in Turkey: an observational study

Faruk Ertas, Hasan Kaya, Zuhal Arıtürk Atılgan, Mehmet Ali Erbey, Mesut Aydin, Mehmet Ata Akıl, Mustafa Oylumlu, Mehmet Siddik Ülgen

Department of Cardiology, Dicle University Faculty of Medicine, Diyarbakır

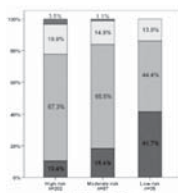


Table 1: Predictors of warfarin use in the multivariate regression analysis			
Clinical variables	Odds ratio	95% Confidence Interval	p value
Advanced age (n=177)	0.410	0.210-0.431	0.004
Persistent-permanent AF	2.109	1.043-4.200	0.039
Many or stroke or systemic embolism	2.812	1.418-5.279	0.004
High inactivity level	4.558	1.759-10.713	0.001

S-181

Atrial fibrilasyonda inme riski: CHA2DS2-VASc skorunun önemi

Sekib Sokolovic¹, A-Hamid Hakkı²

¹*Saraybosna Üniversitesi Klinik Merkezi, Kalp ve Romatizma Kliniği, Bosna Hersek*

²*Kalp Damar Enstitüsü, Florida, ABD*

S-181

Stroke risk in atrial fibrillation: focus on CHA2DS2-VASc score

Sekib Sokolovic¹, A-Hamid Hakkı²

¹*Heart and Rheumatism Clinic, University Clinical Center Sarajevo, Bosnia and Herzegovina*

²*Heart and Vascular Institute, Florida, USA*

Introduction: The CHA2DS2-VASc score is now widely used to assess the risk of cerebrovascular acute events in patients with atrial fibrillation. The score is an updated version of the CHADS2 score, by adding 3 other risk factors: female gender, age 65 to 74, and vascular disease (prior myocardial infarction, peripheral vascular disease and aortic plaque), with score range of 0 to 9, with annual stroke risk (SR) range of 0 to 15.2%. The objective of this paper is to test the given Scores and yearly risk for ischemic stroke in individuals with non-valvular atrial fibrillation, and propose a new score.

Material and Method: We tested CHA2DS2-VASc risk factors: Congestive heart failure/left ventricular dysfunction, Arterial Hypertension, Age categories from <65 years, 65-74 years, >=75 years, Diabetes mellitus, Stroke/TIA/Thromboemboli, Vascular disease defined as previous myocardial infarction, peripheral arterial disease or aortic plaque and gender Female/Male. All individual scores were compared with each other and the risk factor was increased by one with each calculation. Total of 42 set calculations were analyzed.

Results: Data obtained from this study have showed that SR using CHA2DS2-VASc score increases with increasing scores up to a score of 6 (SR of 9.8%), above which increasing scores have variable SR. For a score of 7 the SR goes down to 9.6, and for a score of 8, it goes down further to 6.7%. This falling SR with increasing scores is contradictory to the basis for the development of the CHA2DS2-VASc score. As for the CHADS2 score, increasing scores result in predictable increase in SR, however, it lacks the added risks of female gender, age 65 to 75, and vascular disease. A recently developed score (AFIB)2S4+PaF2 includes all risk factors of the CHA2DS2-VASc score, is easy to remember, requires no tables to calculate SR, and increases with increasing score (range 0-15). A is age 75 or more, F for heart failure or LV dysfunction, I for insulin deficiency or diabetes, B for high blood pressure or hypertension, S for prior stroke or TIA, P for previous myocardial infarction, peripheral arterial disease or aortic plaque, a for age 65 to 74, and F for female gender. Adding the scores gives the annual stroke risk without need for a table. To compare the 3 scores, CHADS2 score, CHA2DS2-VASc score, and (AFIB)2S4+PaF2, a patient scenario is illustrated. A 75 year old man with heart failure, diabetes, hypertension, and prior stroke has score of 6 (SR of 18.2%) by CHADS2, score of 7 (SR of 9.6%) by CHA2DS2-VASc and SR of 12% by (AFIB)2S4+PaF2. If this patient was a woman, she will have a score of 6 (SR of 18.2%) by CHADS2, a score of 8 (SR of 6.7%) by CHA2DS2-VASc and SR of 14% by (AFIB)2S4+PaF2.

Conclusion: The CHADS2 and CHA2DS2-VASc score have different stroke risk and CHA2DS2-VASc have contradictory and inaccurate annual stroke risk in patients with non-valvular atrial fibrillation. The more risk factors should have more risk for cerebrovascular acute ischemic events, and not vice versa. And the abbreviation of this score does not point clearly the problem. The newly proposed score (AFIB)2S4+PaF2 provides annual stroke risk without the need for tables, is easier to remember, incorporates all the risk factors of CHA2DS2-VASc, and stroke risk that increases with increasing risk factors.